

**สำนักหอสมุดกลาง พระจอมเกล้าลาดกระบัง**

**เครื่องปิดฝาหลอดใส่เลือด**

**CAPPING SPECIMEN TUBE MACHINE**

โดย

นายปฐมพงษ์ บุตรดี

นางสาวภริณี ตระกูลสว่างเหมาะ

นายเอกสิทธิ์ จิตรสุภาพ

๒พ.  
๒/๒๒๑  
๒๐๕๐

เลขที่.....  
เลขทะเบียน..... **83109**  
วัน,เดือน,ปี..... - 5 ส.ค. 2551

b. 119 b35bb  
i.

ปริญญานิพนธ์นี้เป็นส่วนหนึ่งของการศึกษาตามหลักสูตรปริญญาวิศวกรรมศาสตรบัณฑิต  
ภาควิชาวิศวกรรมระบบควบคุม สาขาวิชาวิศวกรรมแมคคาทรอนิกส์  
สถาบันเทคโนโลยีพระจอมเกล้าเจ้าคุณทหารลาดกระบัง  
ปีการศึกษา 2550

เอกสารนี้เป็นเอกสารที่สงวนไว้สำหรับการใช้งานเพื่อการศึกษาเท่านั้น ไม่อนุญาตให้นำไปใช้ประโยชน์ด้านการค้า  
ไม่ว่ากรณีใดๆ ทั้งสิ้น อีกทั้งห้ามมิให้ดัดแปลงเนื้อหา และต้องอ้างอิงถึงเจ้าของเอกสารทุกครั้งที่มีการนำไปใช้

ปริญญาานิพนธ์ปีการศึกษา 2550

ภาควิชาวิศวกรรมระบบควบคุม

สาขาวิชาวิศวกรรมเมคคาทรอนิกส์

คณะวิศวกรรมศาสตร์ สถาบันเทคโนโลยีพระจอมเกล้าเจ้าคุณทหารลาดกระบัง

เรื่อง เครื่องปิดฝาหลอดใส่เลือด

**CAPPING SPECIMEN TUBE MACHINE**

ผู้จัดทำ

นายปฐมพงษ์	บุตรดี	47010451
นางสาวอิทธิ	ตระกูลสว่างเหมาะ	47010940
นายเอกสิทธิ์	จิตรสุภาพ	47011015

  
.....อาจารย์ที่ปรึกษา  
(อาจารย์สองเมือง นันทขว้าง)

เอกสารนี้เป็นเอกสารที่สงวนไว้สำหรับการใช้งานเพื่อการศึกษาเท่านั้น ไม่อนุญาตให้นำไปใช้ประโยชน์ด้านการค้า  
ไม่ว่ากรณีใดๆ ทั้งสิ้น อีกทั้งห้ามมิให้ดัดแปลงเนื้อหา และต้องอ้างอิงถึงเจ้าของเอกสารทุกครั้งที่มีการนำไปใช้

เครื่องปิดฝาหลอดใส่เลือด  
CAPPING SPECIMEN TUBE MACHINE

โดย

นายปฐมพงษ์ บุตรดี	47010451
นางสาวอภิรดี ตระกูลสว่างเหมาะสม	47010940
นายเอกสิทธิ์ จิตรสุภาพ	47011015

อาจารย์ที่ปรึกษา

อาจารย์สองเมือง นันทขว้าง

บทคัดย่อ

ปริญญานิพนธ์ฉบับนี้นำเสนอการออกแบบเครื่องปิดฝาหลอดใส่เลือด รวมไปถึงเครื่องคัดเรียงฝาและหลอดใส่เลือด โดยมีขนาดเครื่องจักรที่กะทัดรัด ใช้ระบบไฟฟ้าขนาดไฟบ้านแทนการใช้ระบบนิวแมติกหรือไฮดรอลิก มีการทำงานแบบอัตโนมัติด้วยการจับตำแหน่งโดยเซนเซอร์อินฟราเรด และควบคุมการทำงานโดยไมโครคอนโทรลเลอร์ ปราศจากการสัมผัสจากมนุษย์สามารถปิดฝาได้อย่างน้อย 20 หลอดต่อ 1 นาที

เครื่องปิดฝาหลอดใส่เลือด  
CAPPING SPECIMEN TUBE MACHINE

โดย

นายปฐมพงษ์ บุตรดี	47010451
นางสาวอภิรดี ตระกูลสว่างเหมาะ	47010940
นายเอกสิทธิ์ จิตรสุภาพ	47011015

อาจารย์ที่ปรึกษา

อาจารย์สองเมือง นันทขว้าง

**ABSTRACT**

This thesis presents design of Capping Specimen Tube Machine including Covers and Tubes Arranging Machine. They are designed to be moved easily with suitable size. The system can work with home electrical system that instead of using pneumatic or hydraulics. They can work automatically - detect position of covers and tubes with infrared sensors. Each process is controlled with Microcontroller. Therefore; specimen tubes are not touched by human. This machine can make absolute tube at least twenty tubes per minute .

## กิตติกรรมประกาศ

ปริญญานิพนธ์ฉบับนี้สำเร็จได้ด้วยดี ผู้เขียนขอกราบขอบพระคุณ อาจารย์สองเมือง นันทขว้าง อาจารย์ที่ปรึกษาอย่างสูง ที่ให้คำปรึกษาแนวทางในการแก้ปัญหา ความคิดริเริ่ม ตลอดจนการฝึกฝนให้ผู้เขียนมีความสามารถในการทำวิจัยได้อย่างมีประสิทธิภาพ รวมถึงการสอบถามถึงความก้าวหน้าอย่างสม่ำเสมอ ทำให้ผู้เขียนทำงานอย่างมีระบบและใช้เวลาอย่างมีประสิทธิภาพ

ขอขอบคุณนายเลิศฤทธิ์ จิตรสุภาพ ที่ให้คำแนะนำวิธีคิดเรียงฝาและหลอด  
ขอขอบคุณชุมชนมุสลิมอุลิตทอนิกส์ที่ให้ใช้อุปกรณ์และเครื่องมือต่างๆของชุมชน  
ขอขอบคุณสโมสรนักศึกษา คณะวิศวกรรมศาสตร์ที่เอื้อเพื่อสถานที่ในการทำวิจัยและเก็บ  
ชิ้นงาน ตลอดจนอำนวยความสะดวก ให้แก่ผู้เขียนจนสามารถทำปริญญานิพนธ์นี้จนสำเร็จ  
ขอขอบคุณภาควิชาวิศวกรรมระบบควบคุม ที่ได้เอื้อเพื่อเงินทุนในการทำวิจัย  
และท้ายที่สุดขอกราบขอบพระคุณ คุณพ่อ คุณแม่ ที่รักและเคารพ ที่สนับสนุนให้โอกาส  
แก่ผู้เขียนได้เล่าเรียนจนถึงวันนี้ตลอดจนเพื่อนๆ พี่ๆ และน้องๆทุกคนที่คอยให้กำลังใจ คำปรึกษา  
แนะนำ และเป็นกำลังใจให้ด้วยดีเสมอมา จนสามารถนำสิ่งต่างๆที่ได้รับมานั้นจัดทำปริญญานิพนธ์  
ฉบับนี้ให้เสร็จสิ้นสมบูรณ์

คุณค่าและประโยชน์อันพึงมีจากปริญญานิพนธ์ฉบับนี้ผู้เขียนขอมอบแด่ผู้มีพระคุณทุก  
ท่าน

คณะผู้จัดทำ

นายปฐมพงษ์ บุตรดี

นางสาวอภิรดี ตระกูลสว่างเหมาะ

นายเอกสิทธิ์ จิตรสุภาพ

เอกสารนี้เป็นเอกสารที่สงวนไว้สำหรับการใช้งานเพื่อการศึกษาเท่านั้น ไม่อนุญาตให้นำไปใช้ประโยชน์ด้านการค้า  
ไม่ว่ากรณีใดๆ ทั้งสิ้น อีกทั้งห้ามมิให้ดัดแปลงเนื้อหา และต้องอ้างอิงถึงเจ้าของเอกสารทุกครั้งที่มีการนำไปใช้

# สารบัญ

	หน้า
บทคัดย่อภาษาไทย .....	I
บทคัดย่อภาษาอังกฤษ .....	II
กิตติกรรมประกาศ.....	III
สารบัญ .....	IV
สารบัญภาพ .....	VI
สารบัญตาราง .....	IX
บทที่ 1 บทนำ.....	1
1.1 ความเป็นมาและความสำคัญของปัญหา .....	1
1.1.1 Specimen Tube .....	1
1.1.1.1 ค้ำจับหรือกระบอจับ (holder).....	1
1.1.1.2 เข็ม (needle) .....	2
1.1.1.3 หลอดเก็บตัวอย่างเลือดสุญญากาศ (evacuated tube).....	2
1.2 ความมุ่งหมายและวัตถุประสงค์ของการศึกษา.....	4
1.3 ขอบเขตการศึกษา .....	4
บทที่ 2 ทฤษฎีและหลักการ .....	5
2.1 กลไกการปิด .....	5
2.1.1 4 Bar Linkage .....	5
2.1.2 ระดับอิสระในการเคลื่อนที่ (Degree of Freedom) .....	8
2.1.3 มุมส่งผ่านกำลัง .....	10
2.1.4 การวิเคราะห์ความเร็ว .....	11
2.1.5 การวิเคราะห์ความเร่ง.....	14
2.1.6 การวิเคราะห์แรง .....	17
2.1.7 จุดเซนทรอยด์ .....	18
2.1.8 เพลลา .....	22
2.1.9 คาน .....	23
2.1.10 การปิด.....	24
2.2 มอเตอร์ .....	25
2.2.1 มอเตอร์ไฟฟ้ากระแสตรง.....	25

เอกสารนี้เป็นเอกสารที่สงวนไว้สำหรับการใช้งานเพื่อการศึกษาเท่านั้น ไม่อนุญาตให้นำไปใช้ประโยชน์ด้านการค้า  
ไม่ว่ากรณีใดๆ ทั้งสิ้น อีกทั้งห้ามมิให้ดัดแปลงเนื้อหา และต้องอ้างอิงถึงเจ้าของเอกสารทุกครั้งที่มีการนำไปใช้

## สารบัญ (ต่อ)

	หน้า
2.2.2 สเตปป์มอเตอร์.....	26
2.3 เซนเซอร์อินฟราเรด.....	37
2.3.1 อินฟราเรด LED (Infrared LED).....	38
2.3.2 วงจรภาครับของระบบอินฟราเรด.....	39
2.3.3 โครงสร้างของไมโครคอนโทรลเลอร์ (PIC).....	43
<b>บทที่ 3 การคำนวณและการสร้าง.....</b>	<b>47</b>
3.1 การออกแบบกลไกการปิดและการลำเลียง.....	47
3.1.1 งานลำเลียงหลอด.....	47
3.1.2 งานลำเลียงฝา.....	47
3.1.3 กลไกการปิด.....	48
3.1.4 ออกแบบถังคัตเรียงฝา.....	49
3.1.5 ถังคัตเรียงหลอด.....	51
3.2 การออกแบบแบบโครงสร้าง.....	52
3.2.1 การเลือกวัสดุ.....	53
<b>บทที่ 4 การทดลองและผลการทดลอง.....</b>	<b>54</b>
4.1 ทดลองหาขนาดแรงที่ใช้ในการปิด.....	54
4.2 ทดลองหาขนาดมอเตอร์ที่ใช้ในการปิด.....	55
4.3 ทดลองการเรียงและลำเลียงฝา.....	56
<b>บทที่ 5 บทวิจารณ์และสรุป.....</b>	<b>58</b>
5.1 เครื่องปิดฝา.....	58
5.2 เครื่องคัตเรียงฝา.....	58
<b>ภาคผนวก ก แบบโครงสร้าง</b>	
<b>ภาคผนวก ข โปรแกรมควบคุมการทำงาน</b>	
<b>ภาคผนวก ค รายละเอียดอุปกรณ์ที่ใช้ในงานวิจัย (DATA SHEET)</b>	
<b>เอกสารอ้างอิง</b>	

เอกสารนี้เป็นเอกสารที่สงวนไว้สำหรับการใช้งานเพื่อการศึกษาเท่านั้น ไม่อนุญาตให้นำไปใช้ประโยชน์ด้านการค้า  
ไม่ว่ากรณีใดๆ ทั้งสิ้น อีกทั้งห้ามมิให้ดัดแปลงเนื้อหา และต้องอ้างอิงถึงเจ้าของเอกสารทุกครั้งที่มีการนำไปใช้

## สารบัญภาพ

รูปที่	หน้า
1.1 แสดงด้ามจับหรือกระบอกรอกจับ .....	1
1.2 แสดงเข็มเจาะเลือด .....	2
1.3 แสดงลักษณะหลอด.....	2
1.4 (ก) ลักษณะฝ่าที่ยังไม่ปิด (ข) ลักษณะฝ่าที่ปิดแล้ว .....	3
2.1 การเคลื่อนที่แบบ Crank-Rocker .....	5
2.2 การเคลื่อนที่แบบ Double Rocker.....	5
2.3 การเคลื่อนที่แบบ Drag Link.....	6
2.4 ซินต์อโยงที่มีลักษณะแบบ Four bar linkage .....	6
2.5 ลักษณะต่างๆ ของซินต์อโยงตามกฎของ Grashof criterion.....	8
2.6 ลักษณะการเชื่อมต่อและระดับอิสระในการเคลื่อนที่ของซินต์อโยง .....	9
2.7 มุมส่งผ่านกำลัง.....	10
2.8 การใช้จุดศูนย์กลางชั่วขณะในการวิเคราะห์หาความเร็วของกลไก.....	12
2.9 การวิเคราะห์ความเร็วโดยวิธีคณิตวิเคราะห์.....	13
2.10 การวิเคราะห์หาความเร่ง.....	14
2.11 ความเร่ง Coriolis ของซินต์อโยง .....	16
2.12 คานและแกนสะเทิน .....	23
2.13 มอเตอร์ไฟฟ้ากระแสตรงแบบอนุกรม .....	25
2.14 มอเตอร์ไฟฟ้ากระแสตรงแบบขนาน .....	26
2.15 มอเตอร์ไฟฟ้ากระแสตรงแบบผสม .....	26
2.16 สเตปป์มอเตอร์ และการใช้งาน.....	27
2.17 สเตปป์มอเตอร์ 4 เฟส แบบยูนิโพลาร์ (Uni-polar stepper motor).....	27
2.18 สเตปป์มอเตอร์ชนิด 4 เฟส .....	28
2.19 ลักษณะภายในของสเตปป์มอเตอร์ชนิด 4 เฟส.....	28
2.20 แผนผังสายไฟของสเตปป์มอเตอร์ชนิด 4 เฟส .....	29
2.21 ขดลวดของสเตปป์มอเตอร์ชนิด 2 เฟส และ 4 เฟส .....	29
2.22 จุดเชื่อมต่อและค่าที่สามารถอ่านได้จากสายไฟ 8 เส้นสำหรับสเตปป์ มอเตอร์ชนิด 4 เฟส .....	30

เอกสารนี้เป็นเอกสารที่สงวนลิขสิทธิ์สำหรับการใช้งานเพื่อการศึกษาเท่านั้น ไม่อนุญาตให้ผู้อื่นใช้หรือเผยแพร่โดยไม่ได้รับอนุญาต  
ไม่ว่ากรณีใดๆ ทั้งสิ้น อีกทั้งห้ามมิให้ตัดแปลงเนื้อหา และต้องอ้างอิงถึงเจ้าของเอกสารทุกครั้งที่มีการนำไปใช้

## สารบัญภาพ (ต่อ)

รูปที่	หน้า
2.23 จุดต่อร่วมจะทำให้สายไฟตกลงจากเดิม 8 เส้น เหลือ 5 หรือ 6 เส้น .....	30
2.24 จุดเชื่อมต่อและค่าที่สามารถอ่านได้จากสายไฟ 5 หรือ 6 เส้นของ สเตปป์มอเตอร์ชนิด 4 เฟส .....	31
2.25 ลำดับการป้อนพัลส์เพื่อขับสเตปป์มอเตอร์ชนิด 4 เฟสทั่วไป .....	32
2.26 ลำดับขั้นในการเปิด/ปิด และ ปิด/เปิด .....	32
2.27 แรงบิดของสเตปป์มอเตอร์ที่ได้จะมีค่าสูงขึ้นเมื่อความเร็วในการหมุนต่ำลง .....	34
2.28 ตัวตรวจจับวัตถุ เมื่อไม่มีวัตถุอยู่ในตำแหน่งที่ต้องการ .....	36
2.29 ตัวตรวจจับวัตถุ เมื่อมีวัตถุอยู่ในตำแหน่งที่ต้องการ .....	36
2.30 การจำกัดกระแสของแอลอีดีเบื้องต้น .....	37
2.31 โครงสร้างภายในของโฟโต้โมดูล .....	38
2.32 การต่อใช้งาน .....	39
2.33 ลักษณะสัญญาณแบบ โทนเบิร์ต .....	39
2.34 สัญญาณโทนเบิร์ตที่ออกจาก TXD เป็น 35H .....	40
2.35 แสดงขั้นตอนการเกิดสัญญาณ โทนเบิร์ต (ก)สัญญาณจากออสซิลเลเตอร์ความถี่ประมาณ 38KHz (ข)เมื่อนำสัญญาณทั้งคู่มารวมกันจะได้สัญญาณ โทนเบิร์ต .....	40
2.36 วงจรตัวส่งอินฟราเรด .....	41
2.37 สัญญาณที่ได้จากเอาต์พุตของอะสเตเบิลมัลติไวเบรเตอร์ .....	41
2.38 แสดงวงจร อะสเตเบิลมัลติไวเบรเตอร์ 38 kHz .....	42
2.39 กราฟแสดงความสัมพันธ์ของค่า R และ C และความถี่ .....	42
2.40 แสดงโครงสร้างไมโครคอนโทรลเลอร์ .....	44
3.1 แสดงงานลำเลียงหลอด .....	47
3.2 แสดงงานลำเลียงฝา .....	47
3.3 แสดงแท่งปิด .....	48
3.4 แสดงชิ้นยึดติดกับมอเตอร์ .....	48
3.5 แสดงถังคัดฝา .....	50
3.6 แสดงการลำเลียงฝา .....	50
3.7 แสดงลักษณะปลายหลอดน้ำ .....	51

เอกสารนี้เป็นเอกสารสงวนลิขสิทธิ์ การใช้งานเพื่อการศึกษาเท่านั้น ไม่อนุญาตให้ใช้ประโยชน์ด้านการค้า  
ไม่ว่ากรณีใดๆ ทั้งสิ้น อีกทั้งห้ามมิให้ดัดแปลงเนื้อหา และต้องอ้างอิงถึงเจ้าของเอกสารทุกครั้งที่มีการนำไปใช้

## สารบัญภาพ (ต่อ)

รูปที่	หน้า
3.8 แสดงลักษณะจุกยางนำ.....	52
3.9 แสดงดั่งคัดเรียงหลอด .....	52
3.10 แสดงโครงสร้างเครื่อง.....	53
4.1 แสดงการทดลองหาขนาดแรงที่ใช้ปิด.....	54



เอกสารนี้เป็นเอกสารที่สงวนไว้สำหรับการใช้งานเพื่อการศึกษาเท่านั้น ไม่อนุญาตให้นำไปใช้ประโยชน์ด้านการค้า  
ไม่ว่ากรณีใดๆ ทั้งสิ้น อีกทั้งห้ามมิให้ดัดแปลงเนื้อหา และต้องอ้างอิงถึงเจ้าของเอกสารทุกครั้งที่มีการนำไปใช้

## สารบัญตาราง

ตารางที่	หน้า
1.1 แสดงความหมายและสารที่บรรจุของฝาสี่ต่างๆ .....	3
2.1 แสดงการหาพิกัดจุดศูนย์กลางของรูปทรงต่างๆ .....	19
2.2 แสดงการกระตุ้นเฟสแบบต่างๆของสเตปป์มอเตอร์.....	35
4.1 แสดงการทดลองหาขนาดแรงที่ใช้ในการปิดฝา .....	54
4.2 แสดงการทดลองเลือกมอเตอร์ที่ใช้ในการปิดฝา .....	55
4.3.1 แสดงการทดลองการเรียงและลำเลียงฝา จำนวน 15 ฝา.....	56
4.3.2 แสดงการทดลองการเรียงและลำเลียงฝา จำนวน 20 ฝา.....	56
4.3.3 แสดงการทดลองการเรียงและลำเลียงฝา จำนวน 30 ฝา.....	57



เอกสารนี้เป็นเอกสารที่สงวนไว้สำหรับการใช้งานเพื่อการศึกษาเท่านั้น ไม่อนุญาตให้นำไปใช้ประโยชน์ด้านการค้า  
ไม่ว่ากรณีใดๆ ทั้งสิ้น อีกทั้งห้ามมิให้ดัดแปลงเนื้อหา และต้องอ้างอิงถึงเจ้าของเอกสารทุกครั้งที่มีการนำไปใช้

# บทที่ 1

## บทนำ

### 1.1 ความเป็นมาและความสำคัญของปัญหา

ในปัจจุบัน Specimen tube ได้เข้ามามีบทบาทมากในด้านการแพทย์ หลอดชนิดนี้จะเป็นหลอดตัวอย่างที่ใช้กับตัวอย่างเลือดหรือสารชีวภาพ โดยใช้หลักการสุญญากาศในการดูดสารและเนื่องจากเป็นหลอดที่เก็บตัวอย่างสารจากสิ่งมีชีวิตเพื่อนำไปตรวจสอบและวินิจฉัยคุณสมบัติหรือพฤติกรรมต่างๆของสารตัวอย่างจึงจำเป็นต้องมีกระบวนการผลิตหลอดที่สะอาด

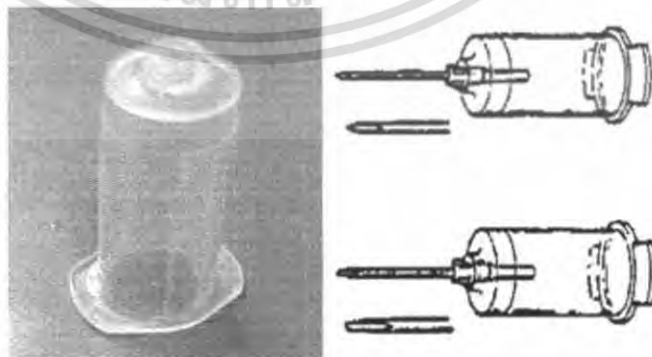
เนื่องจาก Specimen tube มีส่วนประกอบหลายส่วน โดยกระบวนการผลิตหรือการประกอบหลอดมีหลายกระบวนการ แต่กระบวนการที่นำมาศึกษาเป็นการCapping หรือ การสวมฝาปิดให้กับตัวหลอด ซึ่งเป็นกระบวนการหนึ่งที่มีความสำคัญ โดยปกติการCapping จะใช้เครื่องมือในการปิด ซึ่งผลิตได้เพียงครั้งละไม่กี่หลอด ดังนั้นจึงมีแนวคิดที่จะใช้ระบบการผลิตแบบอัตโนมัติเพื่อสะดวก รวดเร็ว และลดการใช้แรงงานจากมนุษย์ อีกทั้งการใช้เครื่องจักรยังลดการสัมผัสจากมนุษย์อีกด้วย

#### 1.1.1 Specimen Tube

เป็นเครื่องมือเจาะเลือดจากเส้นเลือดดำด้วยระบบสุญญากาศนั้นมีส่วนสำคัญอยู่ 3 ส่วน ได้แก่ ค้ำจับหรือกระบอกรับ(holder) เข็ม(needle) และหลอดเก็บตัวอย่างเลือดสุญญากาศ (evacuated tube).

##### 1.1.1.1 ค้ำจับหรือกระบอกรับ (holder)

ค้ำจับหรือกระบอกรับทำด้วยพลาสติกเป็นเครื่องมือรูปทรงกระบอกรับคล้ายกระบอกรัดยาที่ไม่มีก้านดึง ปลายด้านหนึ่งเปิด ปลายอีกด้านมีลักษณะเป็นเกลียวไว้ขันต่อกับเข็มสำหรับเจาะเส้นเลือด



รูปที่ 1.1 แสดงค้ำจับหรือกระบอกรับ

เอกสารนี้เป็นเอกสารที่สงวนไว้สำหรับการใช้งานเพื่อการศึกษาเท่านั้น ไม่อนุญาตให้นำไปใช้ประโยชน์ด้านการค้า ไม่ว่าจะกรณีใดๆ ทั้งสิ้น อีกทั้งห้ามมิให้ดัดแปลงเนื้อหา และต้องอ้างอิงถึงเจ้าของเอกสารทุกครั้งที่มีการนำไปใช้

### 1.1.1.2 เข็ม (needle)

เข็มเจาะเส้นเลือดที่ปลอดภัยคือ เป็นเข็มที่ใช้สำหรับการเจาะเส้นเลือดครั้งเดียวแล้วทิ้ง (disposable needle) มีลักษณะพิเศษที่ต่างจากเข็มเจาะเส้นเลือดโดยทั่วไป คือเข็มมี 2 ปลาย ทำจากโลหะปราศจากสนิม เคลือบซิลิโคน มีฝาพลาสติกครอบกันคม ปิดอยู่ทั้ง 2 ปลายปลายข้างหนึ่งของเข็มใช้สำหรับการเจาะเข้าสู่เส้นเลือดดำ ปลายข้างนี้จะมีปากเข็มที่คมมาก สำหรับแทงผ่านผิวหนัง เข้าสู่เส้นเลือดดำส่วนปลายอีกข้างหนึ่งใช้สำหรับแทงเจาะเข้าสู่หลอดสุญญากาศ ปลายทั้งสองของเข็ม เชื่อมต่อเข้าด้วยกันโดยส่วนที่เรียกว่า hub ซึ่งมีลักษณะเป็นเกลียว ไว้สำหรับขันเข้ากับค้ำจับหรือกระบองจับ



รูปที่ 1.2 แสดงเข็มเจาะเลือด

### 1.1.1.3 หลอดเก็บตัวอย่างเลือดสุญญากาศ (evacuated tube)

หลอดเก็บตัวอย่างเลือด เป็นหลอดที่โดยมากทำด้วยแก้ว เคลือบภายในด้วยสารจำพวก sodalime หรือ borosilicate และเติมสารพวก silicone เพื่อลดอัตราการแตกตัวของเม็ดเลือดแดง และป้องกันการเกาะติดผนังหลอดของเลือด หลอดบรรจุเลือดทั่วไปจะไม่มีการเติมสารกันเลือดแข็งเพื่อเก็บ clotted blood ในปัจจุบันมีการเติม additive เพื่อให้ serum แยกจากส่วน clotted blood ได้เร็วขึ้น ส่วนหลอดบรรจุเลือดที่ต้องการ plasma หรือเพื่อการตรวจทางเลือดวิทยา จะมีเติมสารกันเลือดแข็งชนิดต่างๆ ตามต้องการ หรือตามที่กำหนด ในปัจจุบันยังมีการผลิตหลอดที่ทำจากพลาสติกเนื้อพิเศษด้วย



รูปที่ 1.3 แสดงลักษณะหลอด

เอกสารนี้เป็นเอกสารที่สงวนไว้สำหรับการใช้งานเพื่อการศึกษาเท่านั้น ไม่อนุญาตให้นำไปใช้ประโยชน์ด้านการค้า ไม่ว่าจะกรณีใดๆ ทั้งสิ้น อีกทั้งห้ามมิให้ดัดแปลงเนื้อหา และต้องอ้างอิงถึงเจ้าของเอกสารทุกครั้งที่มีการนำไปใช้

หลอดสุญญากาศเหล่านี้ จะผ่านขบวนการทำให้เป็นสุญญากาศ และขบวนการทำให้ปลอดเชื้อด้วยการอบรังสี หลอดสุญญากาศเหล่านี้ มีการผลิตออกมาในหลายขนาด ตั้งแต่ขนาด 2 ถึง 30 ลูกบาศก์เซนติเมตร แต่ขนาดที่นิยมใช้กันบ่อย คือ ขนาด 10 ลูกบาศก์เซนติเมตร หลอดสุญญากาศทุกหลอด จะถูกผนึกด้วยจุกพลาสติก (stopper) ช่วยในการรักษาสภาพสุญญากาศ จุกที่ใช้กับหลอดสุญญากาศจะมีลักษณะพิเศษ เพื่อให้เข็มสามารถทะลุผ่านได้ และนอกจากนี้จุกยังมีสีต่างๆ ตามสารกันเลือดแข็งที่บรรจุอยู่ เพื่อให้การเลือกใช้หลอดดังกล่าว มีความสะดวกสำหรับผู้ใช้งาน

ตารางที่ 1.1 แสดงความหมายและสารที่บรรจุของฝาสีต่างๆ

Color	Use	Additive
Grey	Plasma or Whole blood glycolysis inhibition	Oxalate (Na or K) Fluoride (Na)
Black	Plasma of Whole blood	Citrate (Na)
Blue	Plasma of Whole blood	Citrate (Na)
Margenta	Plasma or Whole blood	EDTA
Red	Serum	No
Green	Plasma or Whole blood	Heparin



(ก)



(ข)

รูปที่ 1.4 (ก) ลักษณะฝาที่ยังไม่ปิด (ข) ลักษณะฝาที่ปิดแล้ว

เอกสารนี้เป็นเอกสารที่สงวนไว้สำหรับการใช้งานเพื่อการศึกษาเท่านั้น ไม่อนุญาตให้นำไปใช้ประโยชน์ด้านการค้า ไม่ว่าจะกรณีใดๆ ทั้งสิ้น อีกทั้งห้ามมิให้ดัดแปลงเนื้อหา และต้องอ้างอิงถึงเจ้าของเอกสารทุกครั้งที่มีการนำไปใช้

งานวิจัยได้แบ่งออกเป็น 3 ระยะ โดยจุดประสงค์หลักของงานวิจัยในระยะที่ 1 เป็นการออกแบบและพัฒนาส่วนปิดฝา ระยะที่ 2 เป็นการออกแบบส่วนคัตรียงฝา และระยะที่ 3 เป็นการออกแบบส่วนคัตรียงหลอด ซึ่งในระยะที่ 3 จะมีการศึกษาและวิจัยในปีการศึกษาต่อไป

## 1.2 ความมุ่งหมายและวัตถุประสงค์ของการศึกษา

1. ศึกษาวงจรอิเล็กทรอนิกส์และโปรแกรมควบคุมการทำงานของมอเตอร์ที่ใช้ในกระบวนการ
2. ออกแบบเครื่องปิดฝาหลอดใส่เลือดให้มีประสิทธิภาพสูงภายใต้เงื่อนไขของขนาดที่กะทัดรัด และมีการควบคุมแบบอัตโนมัติ
3. ออกแบบเครื่องปิดฝาหลอดใส่เลือดให้ง่ายต่อการใช้งานตามที่ออกแบบไว้

## 1.3 ขอบเขตการศึกษา

1. ใช้ระบบไฟฟ้าแทนการใช้ระบบไฮดรอลิกหรือระบบนิวเมติก โดยใช้ไฟฟ้าขนาด 220 โวลต์ ซึ่งเป็นขนาดไฟบ้าน
2. สามารถคัตหลอดและฝาปิดโดยอัตโนมัติ
3. สามารถปิดฝาได้ 20 หลอด / นาที และสามารถนับจำนวนหลอดที่ปิดฝาได้

เอกสารนี้เป็นเอกสารที่สงวนไว้สำหรับการใช้งานเพื่อการศึกษาเท่านั้น ไม่อนุญาตให้นำไปใช้ประโยชน์ด้านการค้า ไม่ว่าจะกรณีใดๆ ทั้งสิ้น อีกทั้งห้ามมิให้ดัดแปลงเนื้อหา และต้องอ้างอิงถึงเจ้าของเอกสารทุกครั้งที่มีการนำไปใช้

## บทที่ 2

# ทฤษฎีและหลักการ

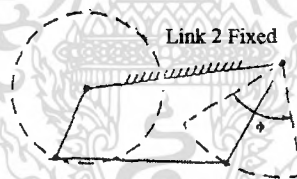
### 2.1 กลไกการปิด

#### 2.1.1 4 Bar Linkage

ในกระบวนการปิดฝาหลอด Specimen tube ในขั้นต้นได้ศึกษาเรื่องกลไกและเครื่องจักรกล เพื่อนำมาเป็นข้อมูลสำหรับการออกแบบกลไกการปิดฝาหลอด Specimen tube หลังจากได้ศึกษาเรื่อง กลไกและเครื่องจักรกลแล้ว จะเป็นการออกแบบกลไกการปิด เลือกวัสดุที่นำมาสร้าง ทำการ สร้างตามแบบที่ได้คิดไว้ สูดทำขยับประกอบเครื่อง และทำการทดสอบปิดฝาหลอด Specimen tube

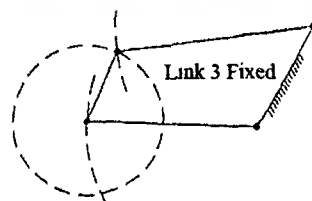
ลักษณะการเคลื่อนที่ของชิ้นต่อโยงในระบบต่อโยงแบบ 4 ชั้นนั้น สามารถที่จะแบ่งออกได้ เป็น 3 แบบด้วยกัน คือ

1. แบบ Crank-Rocker เป็นระบบกลไกที่ชิ้นต่อโยงด้านรับ หรือ input มีลักษณะการเคลื่อนที่แบบ crank กล่าวคือ สามารถหมุนได้ 360 องศา รอบจุดหมุน ส่วนชิ้นต่อโยงด้านส่งหรือ output จะมีการเคลื่อนที่แบบ rocker หรือแบบกวัดแกว่ง (oscillate) คล้ายคลึงกับการเคลื่อนที่ของที่ บัดน้ำฝนรถยนต์ ดังแสดงในรูปที่ 2.1



รูปที่ 2.1 การเคลื่อนที่แบบ Crank-Rocker

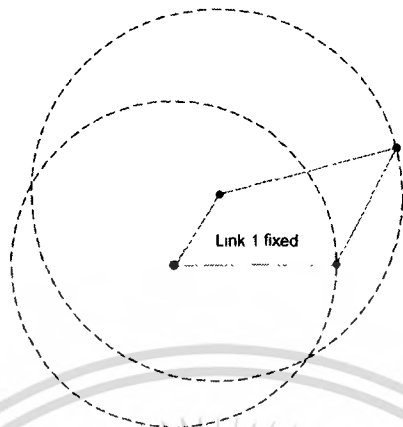
2. แบบ Double Rocker เป็นระบบกลไกที่ทั้งชิ้นต่อโยงด้านรับและด้านส่ง ไม่สามารถ หมุนได้ 360 องศา รอบจุดหมุน ชิ้นต่อโยงทั้งสองจะมีการเคลื่อนที่แบบกวัดแกว่ง (rocker) เท่านั้น ดังแสดงในรูปที่ 2.2



รูปที่ 2.2 การเคลื่อนที่แบบ Double Rocker

เอกสารนี้เป็นเอกสารที่สงวนไว้สำหรับการใช้งานเพื่อการศึกษาเท่านั้น ไม่อนุญาตให้นำไปใช้ประโยชน์ด้านการค้า ไม่ว่ากรณีใดๆ ทั้งสิ้น อีกทั้งห้ามมิให้ดัดแปลงเนื้อหา และต้องอ้างอิงถึงเจ้าของเอกสารทุกครั้งที่มีการนำไปใช้

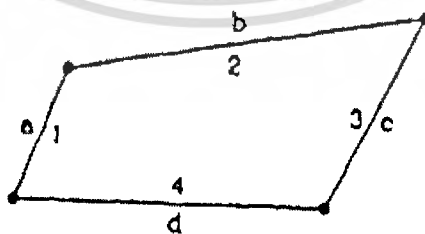
3. แบบ Drag Link เป็นระบบกลไกที่ทั้งชิ้นต่อโยงด้านรับและด้านส่งมีลักษณะการเคลื่อนที่แบบ crank (สามารถหมุนได้ 360 องศารอบจุดหมุน) ดังนั้นในบางครั้งอาจเรียกได้ว่าเป็นแบบ Double Crank ดังแสดงในรูปที่ 2.3



รูปที่ 2.3 การเคลื่อนที่แบบแบบ Drag Link

ในการใช้งานกลไกต่างๆ บ่อยครั้งที่จะมีการออกแบบให้ชิ้นต่อโยงด้านรับ (input link) รับแรงและการเคลื่อนที่จากมอเตอร์ ดังนั้นจึงมีความจำเป็นที่ต้องออกแบบให้ชิ้นต่อโยงด้านรับสามารถที่จะหมุนได้ 360 องศา การที่จะออกแบบให้กลไกมีชิ้นต่อโยงที่หมุนได้ครบรอบ 360 องศา รอบจุดหมุนนั้น จำเป็นที่จะต้องออกแบบระบบต่อโยงตาม Grashof criterion กล่าวคือ “ ผลบวกของความยาวของชิ้นต่อโยงด้านที่สั้นที่สุดกับด้านที่ยาวที่สุด จะต้องน้อยกว่าหรือเท่ากับผลบวกของความยาวของชิ้นต่อโยงอีก 2 ด้านที่เหลือ ”

จาก Grashof criterion โดยมีตัวอย่างในรูปที่ 2.4 ประกอบและหากกำหนดให้ a เป็นความยาวของชิ้นต่อโยงที่สั้นที่สุด หรือชิ้นต่อโยง 1 และ b เป็นความยาวของชิ้นต่อโยงที่ยาวที่สุด หรือชิ้นต่อโยง 2 จะเห็นได้ว่ามีความเป็นไปได้รวมทั้งสิ้น 3 แบบ คือ 1)  $a + b < c + d$ , 2)  $a + b > c + d$ , และ 3)  $a + b = c + d$  ซึ่งหากเลือกชิ้นต่อโยงอยู่กับที่ต่างๆ กันไปแล้ว (หรือ inversion ต่างๆ) จะได้ผลที่ต่างกันออกไปคือ



รูปที่ 2.4 ชิ้นต่อโยงที่มีลักษณะแบบ Four bar linkage

เอกสารนี้เป็นเอกสารที่สงวนไว้สำหรับการใช้งานเพื่อการศึกษาเท่านั้น ไม่อนุญาตให้นำไปใช้ประโยชน์ด้านการค้าไม่ว่ากรณีใดๆ ทั้งสิ้น อีกทั้งห้ามมิให้ดัดแปลงเนื้อหา และต้องอ้างอิงถึงเจ้าของเอกสารทุกครั้งที่มีการนำไปใช้

1) สำหรับกรณี  $a + b < c = d$ 

หากเลือกข้อต่อโยงอยู่กับที่ เป็นข้อต่อโยงที่ต่ออยู่กับข้อต่อโยงที่สั้นที่สุด (คือข้อต่อโยง 2 หรือ 4) จะได้ระบบแบบ Crank-Rocker ซึ่งเป็นกลไกที่ข้อต่อโยงที่สั้นที่สุดสามารถหมุนได้ 360 องศา ส่วนข้อต่อโยงอีกชิ้นหนึ่งที่ต่ออยู่กับจุดหมุนที่ยึดอยู่กับพื้นมีการเคลื่อนที่แบบกวัดแกว่ง ดังเช่นในรูปที่ 2.1 แต่ถ้าหากเลือกข้อต่อโยงที่สั้นที่สุด เป็นข้อต่อโยงอยู่กับที่ จะได้ระบบข้อต่อโยงแบบ Double-Crank ซึ่งเป็นกลไกที่ข้อต่อโยงทุกชิ้น(รวมถึงชิ้นเชื่อมต่อ) สามารถหมุนได้รอบจุดหมุน 360 องศา ดังเช่นในรูปที่ 2.3 สำหรับระบบที่มีข้อต่อโยงที่อยู่ตรงข้ามกับข้อต่อโยงที่สั้นที่สุด เป็นข้อต่ออยู่กับที่ จะมีการทำงานแบบ Grashof Double-Rocker ซึ่งเป็นกลไกที่ข้อต่อโยงเชื่อมต่อกันนั้นที่สามารถหมุนได้ 360 องศา ส่วนข้อต่อโยงอีกสองชิ้นที่ต่ออยู่กับจุดหมุนที่ยึดอยู่กับพื้นจะมีการเคลื่อนที่แบบกวัดแกว่ง ดังเช่นในรูปที่ 2.2

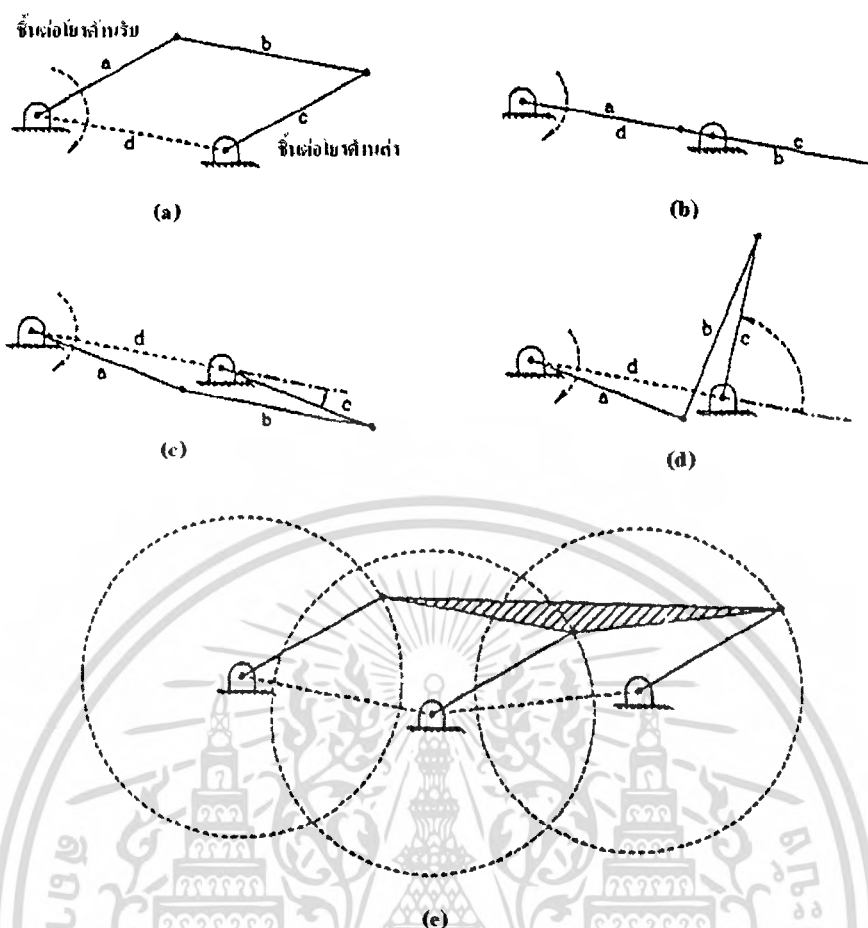
2) สำหรับกรณี  $a + b > c + d$ 

ทุกๆ inversions จะเป็นระบบข้อต่อโยงแบบ Double-Rocker ซึ่งไม่มีข้อต่อโยงใดเลยที่สามารถหมุนได้รอบจุดหมุน 360 องศา

3) สำหรับกรณี  $a + b = c + d$ 

ทุกๆ inversions สามารถที่จะเป็น Double-Crank หรือ Crank-Rocker แต่จะมีจุดเปลี่ยน (changing points) เกิดขึ้นได้สองครั้งต่อทุกๆ 1 รอบการหมุนของข้อต่อโยงด้านรับ ณ จุดเปลี่ยนนี้ ข้อต่อโยงทั้งสามที่สามารถเคลื่อนที่ได้ จะเกิดการทับกันสนิทเป็นเส้นตรง ทำให้การเคลื่อนที่ในลักษณะต่อไปเกิดความไม่แน่นอนขึ้น เพราะมีความเป็นไปได้สองแบบที่ระบบสามารถที่จะเป็นไปได้รูปที่ 2.5 โดยที่รูป 2.5(a) แสดงขณะหนึ่งก่อนที่จะถึงจุดเปลี่ยนรูป 2.5b เป็นขณะที่ระบบอยู่ในตำแหน่งจุดเปลี่ยน ส่วนรูป 2.5(c) และ 2.5(d) เป็น 2 รูปแบบภายหลังจุดเปลี่ยนที่ระบบสามารถจะเป็นไปได้

หากระบบกลไกใดสามารถเกิดจุดเปลี่ยนขึ้นได้ในระหว่างการทำงาน เพราะจะทำให้การทำงานของระบบนั้นเกิดความไม่แน่นอนขึ้น และไม่สามารถนำไปใช้งานได้ ดังนั้นจึงจำเป็นที่จะต้องหลีกเลี่ยงการเกิดจุดเปลี่ยนขึ้นในระหว่างการทำงาน โดยอาจมีการจำกัดการหมุนของข้อต่อโยงด้านรับไว้ไม่ให้หมุนเข้าสู่ตำแหน่งที่เกิดจุดเปลี่ยนขึ้น หรืออาจจะเพิ่มระบบฟ่วงเข้าไปเพื่อให้เกิดแรงเฉื่อยนำระบบหลุดออกจากจุดเปลี่ยนเข้าสู่รูปแบบของกลไกที่ต้องการ ดังตัวอย่างในรูป 2.5(e)

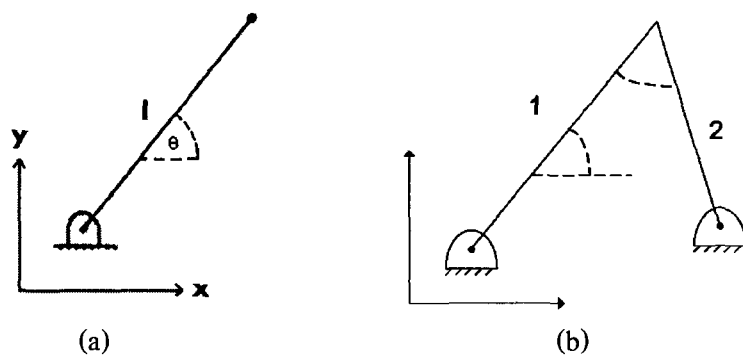


รูปที่ 2.5 ลักษณะต่างๆ ของจิ้นต่อโยงตามกฎของ Grashof criterion

### 2.1.2 ระดับอิสระในการเคลื่อนที่ (Degree of Freedom)

ระดับอิสระในการเคลื่อนที่ (Degree of Freedom) เป็นสิ่งที่บ่งบอกถึงอิสระในการเคลื่อนที่ว่า มีอิสระในการเคลื่อนที่ทั้งหมดกี่ทิศทาง และยังเป็นสิ่งที่บ่งบอกถึงจำนวนข้อมูลอย่างน้อยที่สุดที่ต้องการเพื่อที่จะบอกถึงตำแหน่งของวัตถุในขณะเวลาหนึ่ง ตัวอย่างของข้อมูลที่ใช้ในการบอกตำแหน่งของวัตถุคือ ระยะทางจากจุดกำเนิด (origin) ในแนวแกน X, Y, หรือ Z และมุมที่วัดเทียบกับแกน X, Y, หรือ Z

สำหรับวัตถุทั่วไปที่ปล่อยให้มามีอิสระในการเคลื่อนที่อย่างเต็มที่ จะสามารถมีระดับอิสระในการเคลื่อนที่ได้สูงที่สุดเท่ากับ 6 ระดับ กล่าวคือ ระยะทางระหว่างจุดกำเนิดและวัตถุ ในแนวแกน X, แกน Y, และ แกน Z



รูปที่ 2.6 ลักษณะการเชื่อมต่อและระดับอิสระในการเคลื่อนที่ของจิ้นต่อโยง

รูปที่ 2.6(a) แสดงถึงจิ้นต่อโยงในระนาบและมีอิสระในการเคลื่อนที่ในระนาบได้อย่างเต็มที่ ดังนั้นจึงมีอิสระในการเคลื่อนที่ทั้งหมด 3 ระดับ คือ 1) เคลื่อนที่ในแนวแกน X, 2) เคลื่อนที่ในแนวแกน Y, 3) หมุนตัวเป็นมุม  $\theta$  เทียบกับแกน X (หรือ แกน Y) เพราะฉะนั้นจิ้นต่อโยงอิสระในระนาบ 1 จิ้น จะมี 3 ระดับอิสระในการเคลื่อนที่ แต่เมื่อนำจิ้นต่อโยงอิสระในระนาบ 2 จิ้น มาต่อกันเข้าที่จุดหมุนจุดหนึ่ง ดังแสดงในรูปที่ 2.6(b) จากจำนวนระดับอิสระของทั้งสองจิ้นก่อนนำมาต่อกัน ซึ่งมีค่ารวมทั้งสิ้นเท่ากับ 6 ระดับ กล่าวคือ 1) การเคลื่อนที่ในแนวแกน X ของจิ้นต่อโยงที่ 1, 2) การเคลื่อนที่ในแนวแกน Y ของจิ้นต่อโยงที่ 1, 3) การหมุนตัวทำมุม  $\theta$  ของจิ้นต่อโยงที่ 1, 4) การเคลื่อนที่ในแนวแกน X ของจิ้นต่อโยงที่ 2, 5) การเคลื่อนที่ในแนวแกน Y ของจิ้นต่อโยงที่ 2, และ 6) การหมุนตัวทำมุม  $\beta$  ของจิ้นต่อโยงที่ 2 จะเหลือเพียง 4 ระดับเท่านั้น กล่าวคือ การเคลื่อนที่ในแนวแกน X และการเคลื่อนที่ในแนวแกน Y ของจิ้นต่อโยงที่ 2 จะหายไป เพราะการเคลื่อนที่ทั้ง 2 แนว จะไปจิ้นอยู่กับจิ้นต่อโยงที่ 1 แทน กล่าวคือ ไม่ว่าจิ้นต่อโยงที่ 1 จะเคลื่อนที่ในแนวแกน X และแกน Y อย่างไร จิ้นต่อโยง 2 จำเป็นต้องเคลื่อนที่ตามไปด้วยเสมอ เนื่องจากมีจุดหมุนร่วมกันอยู่จุดหนึ่ง

ดังนั้นอาจสรุปได้ว่าจิ้นต่อโยงในระนาบแต่ละจิ้นจะมี 3 ระดับอิสระในการเคลื่อนที่แต่การนำจิ้นต่อดยอิสระในระนาบ 2 จิ้น มาต่อกันเข้าที่จุดหมุนจุดหนึ่ง จะทำให้ระดับอิสระในการเคลื่อนที่หายไป 2 ระดับ จากหลักการนี้จึงอาจกำหนดเป็นสมการสำหรับคำนวณระดับอิสระในการเคลื่อนที่ ของระบบต่อโยงในระนาบได้ตามสมการของ Gruebler ว่า

$$dof = 3(n-1) - 2j \quad (\text{Gruebler's Equation})$$

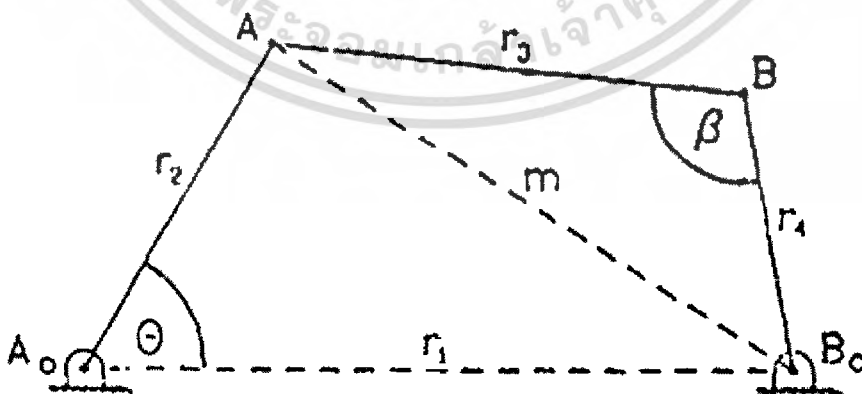
โดยที่	$dof$	คือ	ระดับอิสระในการเคลื่อนที่ (degree of freedom) ของระบบ
	$n$	คือ	จำนวนจิ้นต่อโยงทั้งหมดของระบบ
	$j$	คือ	จำนวนจุดหมุนทั้งหมดในระบบ

สำหรับการนับจำนวนชิ้นต่อโยงนั้น หากเป็นระบบต่อโยงแล้วให้นับชิ้นต่อโยงที่อยู่กับที่ (fixed) ด้วยเสมอ ส่วนการนับจำนวนจุดหมุน หากเป็นจุดหมุนที่มีชิ้นต่อโยงมากกว่า 2 ชิ้นมาต่อกัน ให้นับว่า จุดหมุนอันนั้นมีค่าเท่ากับ จำนวนชิ้นต่อโยงที่มาต่อที่จุดนั้นลบด้วย 1 หากระดับอิสระมีค่าเท่ากับศูนย์ หรือมีค่าเป็นลบแล้ว ระบบจะไม่มีอิสระในการเคลื่อนที่ หรืออีกนัยหนึ่งคือ ระบบไม่สามารถที่จะขยับตัวได้เลย และอาจจะกล่าวได้ว่า ระบบต่อโยงนั้น ไม่ได้เป็นระบบกลไก (mechanism) แต่เป็น โครงสร้าง (structure)

### 2.1.3 มุมส่งผ่านกำลัง

ในการทำงานของระบบกลไกนั้น เมื่อมีการป้อนพลังงานกลให้แก่ชิ้นต่อโยงด้านรับ ก็ จะเกิดการส่งผ่านพลังงานกลนี้ไปยังชิ้นต่อโยงด้านส่ง โดยอาศัยชิ้นเชื่อมต่อ ซึ่งพลังงานกลที่ให้แก่ ระบบนี้ มักจะส่งผ่านไปในรูปแบบของแรงหรือแรงบิด แต่พลังงานกลที่ชิ้นต่อโยงด้านส่งได้รับและส่ง ต่อไปนั้น อาจจะมีประสิทธิภาพมากหรือน้อยก็ได้ โดยตัวแปรที่สำคัญอันหนึ่งคือ มุมระหว่างชิ้น เชื่อมต่อและชิ้นต่อโยงด้านส่ง หรือมุมส่งผ่านกำลัง (transmission angle)

จากรูปที่ 2.7 มุม  $\beta$  จะเป็นมุมส่งผ่านกำลัง ซึ่งเป็นมุมระหว่างชิ้นเชื่อมต่อ (2) และชิ้นต่อ โยงด้านส่ง (3) ถ้าหากมุม  $\beta$  นี้มีค่าเท่ากับ 90 องศา จะเกิดแรงบิดที่ชิ้นต่อโยงด้านส่งมากที่สุด แต่ ถ้าหากว่ามุม  $\beta$  มีค่าเท่ากับ 0 องศา จะไม่มีการส่งผ่านแรงบิดได้เลย หรืออาจกล่าวได้ว่า ระบบตก อยู่ในตำแหน่ง จุดตาย (dead center) ดังนั้นจะเห็นได้ว่า มุมส่งผ่านกำลังนี้ เป็นสิ่งหนึ่งที่บ่งบอกถึง คุณภาพ ความแม่นยำในการทำงาน เสี่ยงรบกวน และ ต้นทุนของระบบกลไกได้ โดยทั่วไปแล้ว นิยมให้ระบบมีมุมส่งกำลัง (ที่แปรเปลี่ยนไประหว่างการทำงาน) มีค่าระหว่าง 40 องศา ถึง 120 องศา เพื่อให้เกิดการทำงานที่ราบเรียบและมีประสิทธิภาพ จากความสัมพันธ์ทางตรีโกณมิติ เรา สามารถคำนวณหามุมส่งผ่านกำลังได้ หากรู้ความยาวของชิ้นต่อโยงทั้ง 4 และมุมที่ชิ้นต่อโยง ด้านรับกระทำกับชิ้นต่อโยงอยู่กับที่ ดังแสดงในรูปที่ 2.7



รูปที่ 2.7 มุมส่งผ่านกำลัง

$$m^2 = r_1^2 + r_2^2 - 2r_1r_2 \cos \theta$$

$$m^2 = r_3^2 + r_4^2 - 2r_3r_4 \cos \theta$$

$$\cos \beta = \frac{r_3^2 + r_4^2 - r_1^2 - r_2^2 + 2r_1r_2 \cos \theta}{2r_3r_4}$$

ซึ่งหลักความสัมพันธ์ทางตรีโกณมิตินี้ สามารถนำไปใช้ในการหามุมที่ขึ้นต่อโยงต่างๆ กระทำซึ่งกันและกันในขณะที่ต่างๆ ได้อีกด้วย

## 2.1.4 การวิเคราะห์ความเร็ว

ความเร็วโดยทั่วไปอาจแบ่งออกได้เป็น 2 ประเภท คือ ความเร็วสัมบูรณ์ (absolute velocity) และ ความเร็วสัมพัทธ์ (relative velocity) โดยความเร็วสัมบูรณ์ของวัตถุใดๆ หมายถึง ความเร็วของวัตถุหรือจุดนั้น วัดเทียบกับพื้นโลกหรือจุดที่หยุดนิ่งไม่เคลื่อนไหว ส่วนความเร็วสัมพัทธ์จะเป็นความเร็วของวัตถุหรือจุดใดๆ วัดเทียบกับวัตถุอีกวัตถุหนึ่งหรือจุดอีกจุดหนึ่ง ซึ่งวัตถุหรือจุดนั้น อาจมีการเคลื่อนที่หรือหยุดนิ่งก็ได้ หรือการสัมพัทธ์ระหว่างความเร็วของจุด 2 จุด หรือวัตถุ 2 ชิ้นนั่นเอง

การวิเคราะห์ความเร็ว นั้นสามารถแบ่งได้เป็น 2 วิธีคือ

1. วิธีอาศัยจุดหมุนชั่วขณะ
2. วิธีวิเคราะห์ความเร็วด้วยวิธีคณิตวิเคราะห์

### 2.1.4.1 วิธีอาศัยจุดหมุนชั่วขณะ

ในขณะที่ขึ้นต่อโยงมีการเคลื่อนที่ ขึ้นต่อโยงจะมีการหมุนรอบจุดหมุนจุดหนึ่งด้วยเสมอ และความเร็วของทุกๆ จุดบนขึ้นต่อโยงนั้นจะ “มีแนวทิศทางตั้งฉากกับเส้นตรงที่ลากจากจุดหมุนมายังจุดของความเร็วนั้น” ซึ่งหากขึ้นต่อโยงนั้นเป็นขึ้นเชื่อมต่อ กล่าวคือไม่ได้เชื่อมต่อกับจุดหมุนที่อยู่กับที่ จุดหมุนของขึ้นเชื่อมต่อก็จะเปลี่ยนตำแหน่งไปเรื่อยๆ

จุดหมุนชั่วขณะระหว่างขึ้นต่อโยง 2 ชิ้น เป็นจุดที่ความเร็วสัมพัทธ์ระหว่างขึ้นต่อโยง 2 ชิ้นมีค่าเท่ากับศูนย์ หรือกล่าวโดยอีกนัยหนึ่ง ณ ที่จุดหมุนชั่วขณะ ความเร็วสัมบูรณ์ของขึ้นต่อโยง 2 ชิ้นมีค่าเท่ากัน

สำหรับการหาจุดหมุนชั่วขณะของขึ้นต่อโยงนั้น สามารถหาจาก “จุดหมุนชั่วขณะของขึ้นเชื่อมต่อจะอยู่ ณ จุดตัดของเส้นตรงที่ลากตั้งฉากกับแนวทิศทางความเร็วของจุดบนขึ้นเชื่อมต่อ” เมื่อเราได้จุดหมุนชั่วขณะแล้ว ก็สามารถหาแนวทิศทางความเร็ว ณ จุดใดๆ บนขึ้นเชื่อมต่อได้ โดยความเร็วของจุดที่สนใจ จะตั้งฉากกับเส้นตรงที่ลากระหว่างจุดหมุนชั่วขณะและจุดที่สนใจบนขึ้นเชื่อมต่อ

ส่วนการหาความเร็วของจุดต่างๆ บนชิ้นเชื่อมต่อ สามารถกระทำได้โดยอาศัยความเร็วเชิงมุม (angular velocity) ที่ชิ้นเชื่อมต่อหมุนอยู่รอบจุดหมุนชั่วขณะ

ในช่วงท้ายศตวรรษที่ 19 Kennedy (England) และ Aronhold (Germany) ต่างก็ได้ค้นพบทฤษฎีจุดศูนย์กลางสามจุด ซึ่งได้กล่าวไว้ว่า “ ถ้ามีวัตถุสามชิ้นเคลื่อนที่สัมผัสกันอยู่บนระนาบ จะปรากฏจุดศูนย์กลางชั่วขณะสัมผัสสามจุด และจุดทั้งสามจะอยู่ในแนวเดียวกัน”

ถ้ามีวัตถุ  $n$  ชิ้นเคลื่อนที่อยู่บนระนาบ จำนวนจุดศูนย์กลางชั่วขณะทั้งหมดจะสามารถหาได้จากสูตร

$$N_{IC} = \frac{n(n-1)}{2}$$

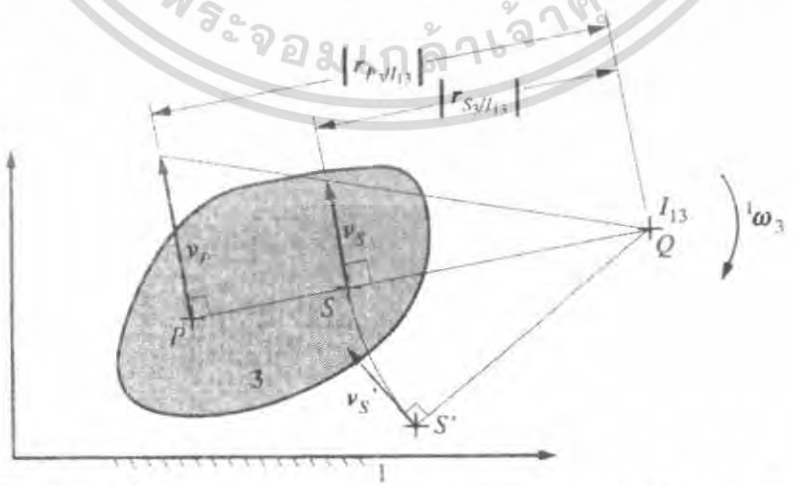
การใช้จุดศูนย์กลางชั่วขณะในการวิเคราะห์หาความเร็วในกลไก จากรูปแสดงวัตถุชิ้นที่ 1 และ 3 เคลื่อนที่บนระนาบ โดยที่ชิ้นที่ 1 หยดนิ่ง จากรูปเราสามารถหาจุด  $I_{13}$  ซึ่งเป็นจุดศูนย์กลางชั่วขณะบนชิ้นที่ 1 กับ 3 มีความเร็วเท่ากันคือศูนย์ ดังนั้นจุดนี้เป็นจุดศูนย์กลางการหมุนของชิ้นที่ 3 ซึ่งความเร็วที่จุด P และ S สามารถหาได้ดังรูป โดยเราสามารถเขียนความสัมพันธ์ได้ดังนี้

$$|\vec{V}_P| = |\vec{r}_{P/I_{13}}| \omega_3 \tag{a}$$

$$|\vec{V}_S| = |\vec{r}_{S/I_{13}}| \omega_3 \tag{b}$$

จากสมการ (a) และ (b) เราได้ความสัมพันธ์

$$|\vec{V}_S| = |\vec{V}_P| \frac{|\vec{r}_{S/I_{13}}|}{|\vec{r}_{P/I_{13}}|} \tag{c}$$

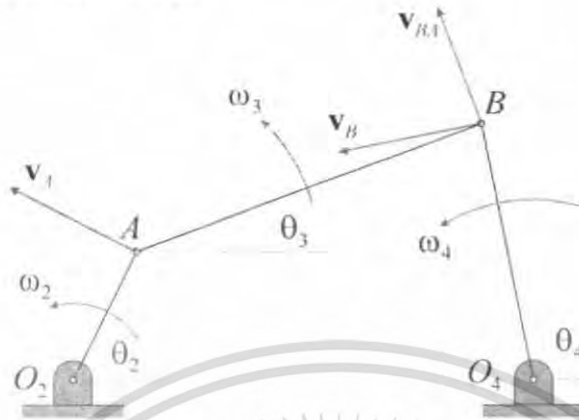


รูปที่ 2.8 การใช้จุดศูนย์กลางชั่วขณะในการวิเคราะห์หาความเร็วของกลไก

เอกสารนี้เป็นเอกสารที่สงวนไว้สำหรับการใช้งานเพื่อการศึกษาเท่านั้น ไม่อนุญาตให้นำไปใช้ประโยชน์ด้านการค้า ไม่ว่ากรณีใดๆ ทั้งสิ้น อีกทั้งห้ามมิให้ตัดแปลงเนื้อหา และต้องอ้างอิงถึงเจ้าของเอกสารทุกครั้งที่มีการนำไปใช้

### 2.1.4.2 การวิเคราะห์ความเร็วโดยวิธีคณิตวิเคราะห์

#### Four bar Pin Jointed Linkage



รูปที่ 2.9 การวิเคราะห์ความเร็วโดยวิธีคณิตวิเคราะห์

จากรูปที่ 2.9 เราสามารถหาความเร็วที่จุด B ได้จากสมการความเร็วสัมพันธ์

$$\begin{aligned} \mathbf{v}_B &= \mathbf{v}_A + \mathbf{v}_{B/A} \\ \mathbf{v}_B &= \frac{d}{dt} (c (\cos \theta_4 \mathbf{i} + \sin \theta_4 \mathbf{j})) \\ &= c \omega_4 (-\sin \theta_4 \mathbf{i} + \cos \theta_4 \mathbf{j}) \\ \mathbf{v}_A &= \frac{d}{dt} (a (\cos \theta_2 \mathbf{i} + \sin \theta_2 \mathbf{j})) \\ &= a \omega_2 (-\sin \theta_2 \mathbf{i} + \cos \theta_2 \mathbf{j}) \\ \mathbf{v}_{B/A} &= \frac{d}{dt} (b (\cos \theta_3 \mathbf{i} + \sin \theta_3 \mathbf{j})) \\ &= b \omega_3 (-\sin \theta_3 \mathbf{i} + \cos \theta_3 \mathbf{j}) \end{aligned}$$

จากนั้นทำการแยกองค์ประกอบของความเร็วตามทิศทางของเวกเตอร์  $\mathbf{i}$  และ  $\mathbf{j}$

$$\begin{aligned} -c \omega_4 \sin \theta_4 &= -a \omega_2 \sin \theta_2 - b \omega_3 \sin \theta_3 \\ c \omega_4 \cos \theta_4 &= a \omega_2 \cos \theta_2 + b \omega_3 \cos \theta_3 \end{aligned}$$

จากนั้นเราสามารถแก้สมการทั้งสองหา  $\omega_3$  และ  $\omega_4$  (เรารู้ค่าของ  $\omega_2$ ,  $\theta_2$ ,  $\theta_3$ ,  $\theta_4$  แล้ว)

$$\begin{aligned} \omega_3 &= \frac{a \omega_2 \sin(\theta_4 - \theta_2)}{b \sin(\theta_3 - \theta_4)} \\ \omega_4 &= \frac{a \omega_2 \sin(\theta_2 - \theta_3)}{c \sin(\theta_4 - \theta_3)} \end{aligned}$$

เอกสารนี้เป็นเอกสารที่สงวนไว้สำหรับการใช้งานเพื่อการศึกษาเท่านั้น ไม่อนุญาตให้นำไปใช้ประโยชน์ด้านการค้า ไม่ว่าจะกรณีใดๆ ทั้งสิ้น อีกทั้งห้ามมิให้ดัดแปลงเนื้อหา และต้องอ้างอิงถึงเจ้าของเอกสารทุกครั้งที่มีการนำไปใช้

### 2.1.5 การวิเคราะห์ความเร่ง

ความเร่งเชิงเส้นคืออัตราการเปลี่ยนแปลงของเวกเตอร์ความเร็วต่อหนึ่งหน่วยเวลา คุณสมบัติของมันเป็นปริมาณเวกเตอร์และสามารถหาได้จากอนุพันธ์ของเวกเตอร์ความเร็ว

$$\vec{a} = \frac{d\vec{v}}{dt}$$

ความเร่งเชิงมุมอัตราการเปลี่ยนแปลงของเวกเตอร์ความเร็วเชิงมุมต่อหนึ่งหน่วยเวลา คุณสมบัติของมันเป็นปริมาณเวกเตอร์และสามารถหาได้จากอนุพันธ์ของเวกเตอร์ความเร็วเชิงมุม

$$\vec{\alpha} = \frac{d\vec{\omega}}{dt} \text{ หรือ } \alpha = \frac{d\omega}{dt}$$

เราสามารถพิจารณามันเป็นสมการสเกลาร์เพราะมันจะหมุนรอบแกน z เท่านั้น



รูปที่ 2.10 การวิเคราะห์หาความเร่ง

ถ้าเราพิจารณาจากรูปที่จุดเราสามารถเขียนได้ว่า

$$\vec{r}_P = p(\cos\theta \vec{i} + \sin\theta \vec{j})$$

$$\vec{v}_P = p\omega(-\sin\theta \vec{i} + \cos\theta \vec{j})$$

$$\vec{a}_P = \frac{d\vec{v}_P}{dt}$$

$$= p\alpha(-\sin\theta \vec{i} + \cos\theta \vec{j}) - p\omega^2(\cos\theta \vec{i} + \sin\theta \vec{j})$$

$$\vec{a}_P = \vec{a}_P^t + \vec{a}_P^n$$

จะเห็นว่าความเร่งที่จุด P สามารถแยกองค์ประกอบออกได้เป็น 2 ทิศทางคือทิศทางพุ่งสู่จุดศูนย์กลางการหมุน(จุด A) และทิศทางตั้งฉากกับแนวเส้นสู่ศูนย์กลาง

เอกสารนี้เป็นเอกสารที่สงวนไว้สำหรับการใช้งานเพื่อการศึกษาเท่านั้น ไม่อนุญาตให้นำไปใช้ประโยชน์ด้านการค้า ไม่ว่าจะกรณีใดๆ ทั้งสิ้น อีกทั้งห้ามมิให้ดัดแปลงเนื้อหา และต้องอ้างอิงถึงเจ้าของเอกสารทุกครั้งที่มีการนำไปใช้

### 2.1.5.1 ความเร่งในแนว $n$ ( $a^n$ )

ความเร่งในแนว  $n$  จะเกิดขึ้นกับชั้นต่อโยงที่มีการเคลื่อนที่ด้วยความเร็วเชิงมุมค่าหนึ่งรอบจุดหมุนอ้างอิงใดๆ จุดหนึ่ง (หรือจุดหมุนชั่วขณะ) ขนาดของความเร่งในแนว  $n$  จะมีค่าตามสมการต่อไปนี ซึ่งแสดงถึงความสัมพันธ์ระหว่าง ความเร่งในแนว  $n$  ( $a^n$ ) กับความเร็วเชิงเส้น และความเร็วเชิงมุม

$$a^n = r\omega^2 = \frac{V^2}{r}$$

โดยที่  $r$  เป็นระยะทางจากจุดของความเร่ง ถึงจุดหมุนอ้างอิง,  $\omega$  เป็นความเร็วเชิงมุมของชั้นต่อโยงรอบจุดหมุนอ้างอิง และ  $V$  เป็นความเร็วเชิงเส้นที่จุดของความเร่ง โดย ทิศทางของ  $V$  และ  $r$  จะตั้งฉากซึ่งกันและกันเสมอ

จากสมการข้างต้น จะสามารถสังเกตได้ว่า หาก  $\omega$  มีค่าเท่ากับศูนย์แล้ว (กล่าวคือ ชั้นต่อโยงไม่มีการเคลื่อนที่แบบหมุน) ชั้นต่อโยงจะไม่มี ความเร่งในแนว  $n$  หรืออาจกล่าวอีกนัยหนึ่งได้ว่า  $\omega$  จะมีค่าเท่ากับศูนย์เสมอสำหรับ ชั้นต่อโยงที่มีการเคลื่อนที่แบบเส้นตรง

อีกกรณีหนึ่งที่ชั้นต่อโยงจะไม่มี ความเร่งในแนว  $n$  ก็คือ กรณีที่  $r$  มีค่ามากเข้าสู่อนันต์ (Infinity) ซึ่งกรณีนี้จะเกิดขึ้นก็ต่อเมื่อ ชั้นต่อโยงมีการเคลื่อนที่แบบเส้นตรง เช่นเดียวกัน

เพราะฉะนั้น สามารถสรุปได้ว่า “ หากชั้นต่อโยงมีการเคลื่อนที่แบบเส้นตรงแล้ว ชั้นต่อโยงจะไม่มี ความเร่งในแนว  $n$  หรือ  $a^n$  มีค่าเท่ากับศูนย์ ”

ส่วนทิศทางของ  $a^n$  นั้นจะมีทิศจากจุดของความเร่งเข้าสู่จุดหมุนอ้างอิงเสมอ

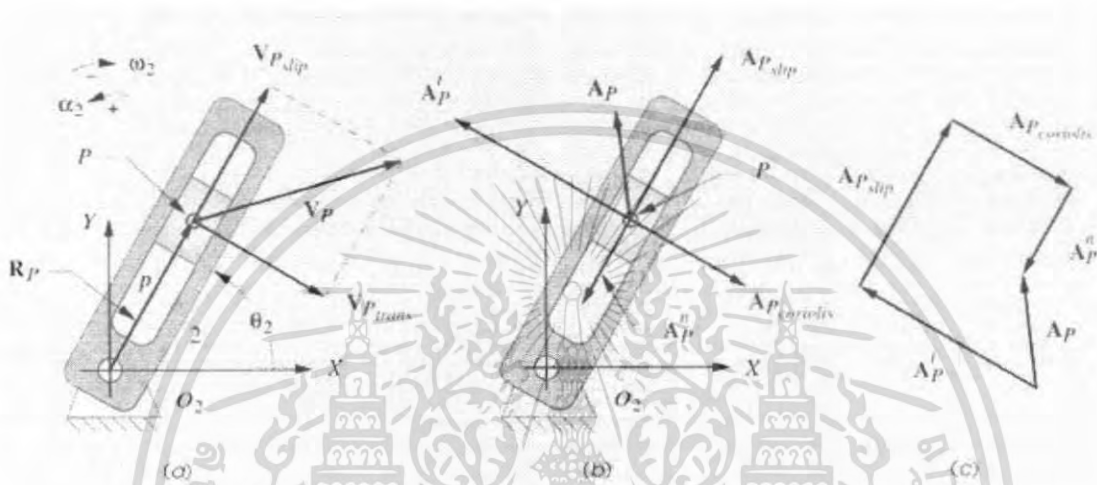
### 2.1.5.2 ความเร่งในแนว $t$ ( $a^t$ )

ความเร่งในแนว  $t$  นี้ เป็นความเร่งที่มีทิศทางตามแนวการเคลื่อนที่ของจุดของความเร่ง แต่อาจจะมิใช่ทิศทางตามหรือสวนทางกับทิศของการเคลื่อนที่ก็ได้ กล่าวคือ ถ้าจุดของความเร่งมีการเคลื่อนที่แบบเส้นตรงและมีความเร็วไม่คงที่ จุดของความเร่งนั้นก็จะมีความเร่งในแนว  $t$  เกิดขึ้นในแนวเส้นตรงทับกันกับทิศทางของความเร็ว แต่ถ้าหากจุดของความเร่งมีการเคลื่อนที่แบบเส้นโค้ง และมีความเร่งเชิงมุมเกิดขึ้นประกอบกับความเร็วเชิงมุม จุดของความเร่งนั้นจะมี  $a^t$  เกิดขึ้นในทิศทางตั้งฉากกับเส้นตรงที่ลากจากจุดของความเร่งเข้าสู่จุดหมุน หรือตั้งฉากกับ  $a^n$  และมีทิศทางตามทิศของความเร่งเชิงมุม ส่วนขนาดของ  $a^t$  ก็จะสัมพันธ์กับขนาดของความเร่งเชิงมุม  $\alpha$  ตามสมการ

$$a^t = r\alpha$$

### 2.1.5.3 ความเร่ง Coriolis ( $a^c$ )

ความเร่ง Coriolis เป็นความเร่งสัมผัสที่เกิดขึ้นระหว่างชั้นต่อโยง 2 ชั้น โดยที่ชั้นต่อโยงชั้นหนึ่งมีลักษณะเป็นตัวเลื่อนไถลที่กำลังเคลื่อนไถลบนชั้นต่อโยงอีกชั้นหนึ่ง ที่มีลักษณะเป็นรางเลื่อนที่กำลังหมุนด้วยความเร็วเชิงมุมรอบจุดหมุนจุดหนึ่ง ดังรูปข้างล่าง ชั้นส่วนสไลด์เคลื่อนที่บนชั้นส่วนที่มีรางซึ่งมีการเคลื่อนที่แบบหมุนในขณะเวลาเดียวกัน ซึ่งจะทำให้เกิดความเร่ง Coriolis ของจุด P ( $A_{P_{Coriolis}}$ )



รูปที่ 2.11 ความเร่ง Coriolis ของชั้นต่อโยง

ความเร่งสมบูรณ์ของจุด P จะประกอบไปด้วย

$$\vec{A}_P = \vec{A}_P^t + \vec{A}_P^n + \vec{A}_{P_{slip}} + \vec{A}_{P_{coriolis}}$$

โดยที่

$$\vec{A}_P^t = \vec{\alpha}_2 \times \vec{R}_{P}$$

$$\vec{A}_P^n = \vec{\omega}_2 \times (\vec{\omega}_2 \times \vec{R}_{P})$$

$$\vec{A}_{P_{slip}} = \ddot{R}_P$$

$$\vec{A}_{P_{coriolis}} = 2\vec{\omega}_2 \times \vec{V}_{P_{slip}}$$

เอกสารนี้เป็นเอกสารที่สงวนไว้สำหรับการใช้งานเพื่อการศึกษาเท่านั้น ไม่อนุญาตให้นำไปใช้ประโยชน์ด้านการค้า ไม่ว่าจะกรณีใดๆ ทั้งสิ้น อีกทั้งห้ามมิให้ดัดแปลงเนื้อหา และต้องอ้างอิงถึงเจ้าของเอกสารทุกครั้งที่มีการนำไปใช้

2.1.6 การวิเคราะห์แรง

แรงที่เกี่ยวข้องกับการทำงานของระบบกลไก อาจแบ่งได้เป็น 2 ประเภท

1. แรงสถิต ( static forces ) เป็นแรงที่เกิดขึ้นกับระบบต่อโยง โดยไม่รวมแรงเฉื่อยและแรงเสียดทานซึ่งเป็นแรงจลน์ ( dynamic forces ) แรงสถิตนี้จะเป็นแรงที่ขึ้นต่อโยงแต่ละชิ้นส่งผ่านต่อกัน โดยเริ่มจากขึ้นต่อโยงด้านรับส่งผ่านแรงสถิตต่อไปยังชิ้นเชื่อมต่อดังๆ เรื่อยๆ ไปจนถึงขึ้นต่อโยงด้านส่ง

2. แรงจลน์ ( dynamic forces ) เป็นแรงที่เกิดจากระบบต่อโยงมีการเคลื่อนที่และเกิดความเร่ง เมื่อความเร่งประกอบเข้ากับมวลของขึ้นต่อโยง ก็จะทำให้เกิดแรงเฉื่อยขึ้น นอกจากแรงเฉื่อยที่เกิดขึ้นแล้ว เมื่อระบบมีการเคลื่อนที่ที่เกิดขึ้น ที่มุมหรือพื้นผิวต่างๆ ยังเกิดแรงเสียดทานขึ้นด้วย ทั้งแรงเฉื่อยและแรงเสียดทานนี้ต่างเป็นแรงจลน์

การวิเคราะห์แรงที่เกิดขึ้นในขึ้นต่อโยงต่างๆ ของกลไกนั้นสิ่งแรกที่จะต้องทำ คือ เขียน Free-body Diagram ของขึ้นต่อโยงแต่ละชิ้น โดยจะต้องแสดงถึงแรงทั้งหมดที่กระทำกับขึ้นต่อโยงนั้นๆ ขั้นตอนนี้สำคัญมาก เพราะถ้าเขียนแรงที่กระทำกับขึ้นต่อโยงไม่ครบแล้ว การวิเคราะห์จะผิดพลาดไปหมด (หลักการเขียน Free-body Diagram อยู่ในเนื้อหาของวิชากลศาสตร์)

วิธีวิเคราะห์แรงมีหลายวิธี แต่ที่ใช้กันโดยทั่วไปคือ

1. วิธี Superposition
2. วิธีวิเคราะห์รวมแรง

2.1.6.1 การวิเคราะห์แรงโดยวิธี Superposition (Force Analysis by Superposition)

วิธี Superposition มีหลักว่า ผลลัพธ์รวมที่เกิดขึ้นจะมีค่าเท่ากับผลรวมของผลลัพธ์ย่อยๆ กลไกที่ถูกกระทำโดยแรงหลายแรงจะถูกวิเคราะห์ โดยแยกวิเคราะห์ทีละแรงหรือทีละประเภท แล้วนำผลที่ได้จากการวิเคราะห์ทุกครั้งมารวมกัน จะได้ผลลัพธ์ตามที่ต้องการ วิธีที่ใช้ในการวิเคราะห์แบ่งเป็น 2 วิธี คือ Analytic และวิธี Graphic

2.1.6.2 การวิเคราะห์แรงโดยวิธีวิเคราะห์รวมแรง (Force Analysis by Combining all Forces)

วิธีวิเคราะห์โดยการรวมแรงก็คือ การวิเคราะห์โดยที่ไม่ต้องแยกวิเคราะห์ทีละแรงหรือทีละประเภท แต่วิเคราะห์พร้อมกันไปครั้งเดียวเลย ปัญหาที่เกิดขึ้นคือการที่มีแรงกระทำหลายๆ แรงในขึ้นต่อโยง จะทำให้วิเคราะห์หาค่าที่ต้องการได้ยากขึ้น ทำให้ต้องใช้วิธีแก้เพิ่มขึ้น เช่นปกติจะเขียน Free-body Diagram ของขึ้นต่อโยงเพียงชิ้นเดียว แต่ถ้าไม่สามารถแก้ปัญหาได้อาจจะต้องเปลี่ยนเป็นเขียน Free-body Diagram ของขึ้นต่อโยงสองชิ้นหรือสามชิ้น ซึ่งจะทำให้ตัวไม่รู้ลดจำนวนลง และสามารถแก้ปัญหาได้ หรืออาจจะใช้การหาโมเมนต์เทียบกับจุดต่างๆ เพื่อช่วยแก้ปัญหาเป็นต้น

### 2.1.7 จุดเซนทรอยด์

เพื่อให้ชิ้นส่วนต่างๆของกลไกการบิดมีความสมดุล จะต้องเชื่อมต่อกันที่ตำแหน่งกึ่งกลางแต่ละชิ้น โดยมีชิ้นส่วนที่ยึดติดกับมอเตอร์ที่มีลักษณะเป็นรูปตัวที จึงต้องหาตำแหน่งจุดเซนทรอยด์ของวัสดุ ตำแหน่งจุดเซนทรอยด์ของชิ้นประกอบ มีขั้นตอนการหาพิกัดได้ดังนี้

ขั้นตอนที่ 1 เลือกพิกัดและชิ้นประกอบที่เหมาะสมกับขอบเขตของภาพที่ต้องการทราบพิกัดของจุดเซนทรอยด์ หากภาพมีแกนสมมาตร ควรวางระบบพิกัดทับกับแกนสมมาตร เพื่อลดการคำนวณลง

ขั้นตอนที่ 2 หาระยะของโมเมนต์ที่ใช้ในการหาปริพันธ์ ซึ่งเป็นระยะของจุดเซนทรอยด์ของชิ้นประกอบ จากนั้นพิจารณาหาค่า  $dL$ ,  $dA$  หรือ  $dV$  โดยขึ้นอยู่กับมิติของภาพ และหาค่า  $L$ ,  $A$  หรือ  $V$  ของภาพที่ต้องการทราบจุดเซนทรอยด์

ขั้นตอนที่ 3 เขียนสมการโมเมนต์ พร้อมทั้งกำหนดขอบเขตการหาปริพันธ์ที่ถูกต้อง จากนั้นทำการหาปริพันธ์เพื่อหาพิกัดของจุดเซนทรอยด์

#### 2.1.7.1 ขั้นตอนการหาคำตอบจุดเซนทรอยด์ของชิ้นประกอบ

คำนวณพิกัด  $y$  โดยพิจารณาภาพ (จ) ซึ่งเลือกใช้ชิ้นประกอบขนาดเล็กเป็นแถบยาวในแนวราบ โดยที่  $A = bh$ ,  $dA = bdy$  และ  $y_i \approx y$  ดังนั้นสมการโมเมนต์รอบแกน  $x$

$$\begin{aligned} \bar{A}y &= \int y_i dA \\ bh\bar{y} &= \int_0^h y b dy = b \frac{y^2}{2} \Big|_0^h \\ bh\bar{y} &= b \frac{h^2}{2} \\ \bar{y} &= \frac{b \frac{h^2}{2}}{bh} = \frac{h}{2} \end{aligned}$$

จะได้

คำนวณพิกัด  $\bar{x}$  โดยพิจารณาภาพ (ค) ซึ่งเลือกใช้ชิ้นประกอบขนาดเล็กเป็นแถบยาวในแนวดิ่ง โดยที่  $A = bh$ ,  $dA = hdx$  และ  $x_i \approx x$  ดังนั้นสมการโมเมนต์รอบแกน  $y$

$$\begin{aligned} \bar{A}x &= \int x_i dA \\ bh\bar{x} &= \int_0^b x h dx = h \frac{x^2}{2} \Big|_0^b \\ bh\bar{x} &= h \frac{b^2}{2} \end{aligned}$$

จะได้ 
$$\bar{x} = \frac{h \frac{b^2}{2}}{bh} = \frac{b}{2}$$

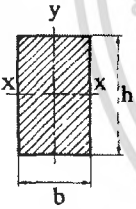
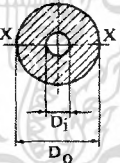
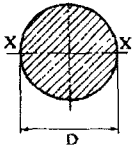
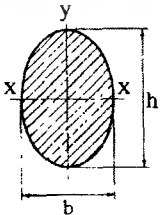
สิ่งที่กล่าวมาเป็นการหาจุดเซนทรอยด์ซึ่งมีลักษณะเป็นรูปเรขาคณิต แต่ชิ้นส่วนที่เชื่อมกับมอเตอร์เป็นรูปตัวที ดังนั้นจึงต้องใช้การหาจุดเซนทรอยด์ของวัตถุเชิงประกอบ ดังนี้

2.1.7.2 ขั้นตอนการหาค่าตอบจุดเซนทรอยด์ของวัตถุเชิงประกอบ

ขั้นตอนที่ 1 ให้ร่างภาพแสดงการแยกวัตถุเชิงประกอบออกเป็นวัตถุรูปทรงพื้นฐานหลายรูป หากมีโพรงให้แยกออกเป็นวัตถุรูปทรงพื้นฐานที่ไม่มีโพรงรวมกับวัตถุรูปทรงพื้นฐานที่เป็นโพรงแต่มีขนาดเป็นค่าลบ (ค่าลบนี้อาจหมายถึง น้ำหนัก มวล หรือขนาดของวัตถุ ขึ้นอยู่กับประเภทของจุดศูนย์กลางที่ต้องการคำนวณ )

ขั้นตอนที่ 2 กำหนดตำแหน่งของจุดศูนย์กลางของวัตถุรูปทรงพื้นฐาน โดยอาศัยพิกัดของจุดศูนย์กลางจากตารางที่ 2.1 หากวัตถุเชิงประกอบมีลักษณะสมมาตร ก็ยังคงต้องวางระบบ พิกัดทับแกนสมมาตรเพื่อลดการคำนวณลง

ตารางที่ 2.1 แสดงการหาพิกัดจุดศูนย์กลางของรูปทรงต่างๆ

 $I_x = \frac{bh^3}{12}$ $Z_x = \frac{bh^2}{6}$ $k_x = \frac{h}{\sqrt{12}}$ $Z = \frac{2b^2h}{9} \text{ (สำหรับการบิด)}$	 $I_x = \frac{\pi}{64} (D_o^4 - D_i^4)$ $Z_x = \frac{\pi}{32} \left[ \frac{D_o^4 - D_i^4}{D_o} \right]$ $k_x = \sqrt{\frac{D_o^2 + D_i^2}{16}}$ $J = \frac{\pi}{32} (D_o^4 - D_i^4)$ $Z'_x = \frac{\pi}{16} \left[ \frac{D_o^4 - D_i^4}{D_o} \right]$
 $I_x = \frac{\pi D^4}{64}$ $Z_x = \frac{\pi D^3}{32}$ $k_x = \frac{D}{4}$ $J = \frac{\pi D^4}{32}$ $Z = \frac{\pi D^3}{16}$	 $I_x = \frac{\pi bh^3}{64}$ $Z_x = \frac{\pi bh^2}{32}$ $k_x = \frac{h}{4}; k_y = \frac{b}{4}$ $J = \frac{\pi bh}{64} (h^2 + b^2)$ $Z' = \frac{\pi b^2 h}{16} \text{ (สำหรับการบิด)}$ $A = \pi bh / 4$

เอกสารนี้เป็นเอกสารที่สงวนไว้สำหรับการใช้งานเพื่อการศึกษาเท่านั้น ไม่อนุญาตให้นำไปใช้ประโยชน์ด้านการค้า ไม่ว่ากรณีใดๆ ทั้งสิ้น อีกทั้งห้ามมิให้ตัดแปลงเนื้อหา และต้องอ้างอิงถึงเจ้าของเอกสารทุกครั้งที่มีการนำไปใช้

ขั้นตอนที่ 3 คำนวณพิสัยของจุดศูนย์กลางของวัตถุเชิงประกอบตามสมการ ต่อไปนี้

$$\bar{x} = \frac{w_1\bar{x}_1 + w_2\bar{x}_2 + \dots + w_n\bar{x}_n}{w_1 + w_2 + w_3}$$

$$\bar{x} = \frac{\sum_{i=1}^n w_i\bar{x}_i}{\sum_{i=1}^n w_i}$$

$$\bar{x} = \frac{\sum_{i=1}^n m_i\bar{x}_i}{\sum_{i=1}^n m_i}$$

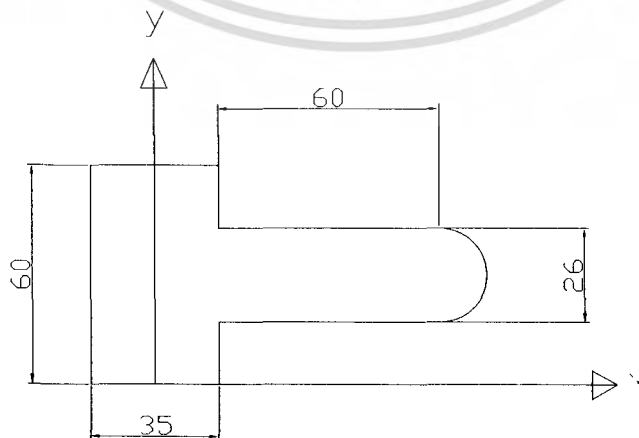
หากวัตถุเชิงประกอบทำจากวัสดุชนิดเดียวกัน ซึ่งมีความหมายว่า ความหนาแน่นของวัตถุเชิงประกอบมีค่าคงตัว จะทำให้สูตรสมการคำนวณพิสัยของศูนย์กลางมวลเป็นจุดเซนทรอยด์ได้ โดยเปลี่ยนตัวแปร  $m_i$  เป็น  $L_i$ ,  $A_i$ , หรือ  $V_i$  ขึ้นอยู่กับมิติของวัตถุเชิงประกอบ ดังนี้

$$\bar{x} = \frac{\sum_{i=1}^n L_i\bar{x}_i}{\sum_{i=1}^n L_i}$$

$$\bar{x} = \frac{\sum_{i=1}^n A_i\bar{x}_i}{\sum_{i=1}^n A_i}$$

$$\bar{x} = \frac{\sum_{i=1}^n V_i\bar{x}_i}{\sum_{i=1}^n V_i}$$

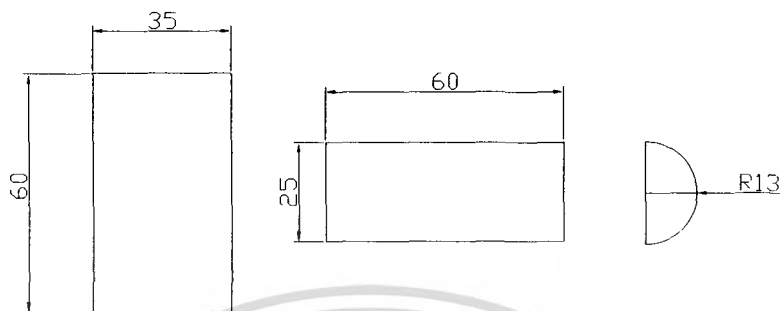
และเพื่อความสะดวกควรใช้ตารางเพื่อแสดงข้อมูลและผลการคำนวณด้วย แสดงการคำนวณหาจุดเซนทรอยด์จากชิ้นส่วนที่ติดกับมอเตอร์ดังต่อไปนี้



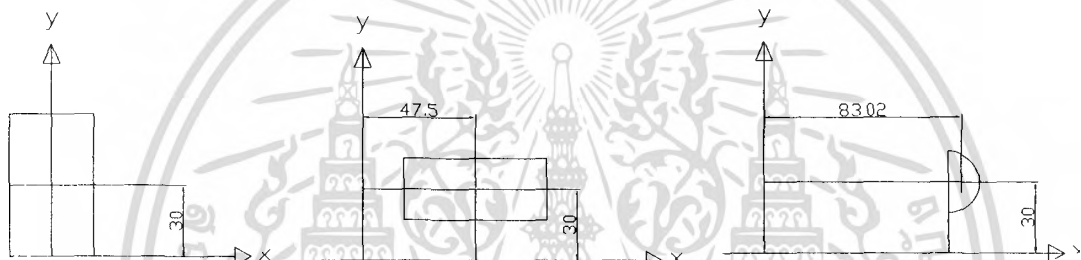
เอกสารนี้เป็นเอกสารที่สงวนไว้สำหรับการใช้งานเพื่อการศึกษาเท่านั้น ไม่อนุญาตให้นำไปใช้ประโยชน์ด้านการค้า ไม่ว่ากรณีใดๆ ทั้งสิ้น อีกทั้งห้ามมิให้ตัดแปลงเนื้อหา และต้องอ้างอิงถึงเจ้าของเอกสารทุกครั้งที่มีการนำไปใช้

## ขั้นตอนการหาคำตอบ

### ขั้นตอนที่ 1 แยกวัตถุเชิงประกอบออกเป็นวัตถุรูปทรงพื้นฐานดังนี้



### ขั้นตอนที่ 2 กำหนดตำแหน่งจุดเซนทรอยด์ของวัตถุรูปทรงพื้นฐานแต่ละภาพดังต่อไปนี้



### ขั้นตอนที่ 3 คำนวณหาพิกัดของจุดเซนทรอยด์ตามสมการ

$$\bar{x} = \frac{\sum_{i=1}^n A_i \bar{x}_i}{\sum_{i=1}^n A_i}$$

โดยอาศัยข้อมูลจากขั้นตอนที่ 2 ดังตารางต่อไปนี้

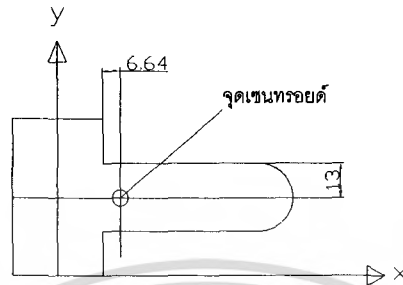
วัตถุรูปทรงพื้นฐานที่ i	$A_i (cm^2)$	$\bar{x}_i (cm)$	$\bar{y}_i (cm)$	$\bar{x}_i A_i$	$\bar{y}_i A_i$
1	$35 \times 60 = 2100$	0	30	0	63000
2	$60 \times 25 = 1500$	47.5	30	71250	45000
3	$\frac{\pi \times 13^2}{2} = 265.57$	83.02	30	22047.62	7967.1
$\Sigma$	$2100+1500+265.57=3865.57$			93297.62	115967.1

จากตารางข้างต้นจะเห็นว่า

เอกสารนี้เป็นเอกสารที่สงวนไว้สำหรับการใช้งานเพื่อการศึกษาเท่านั้น ไม่อนุญาตให้นำไปใช้ประโยชน์ด้านการค้าไม่ว่ากรณีใดๆ ทั้งสิ้น อีกทั้งห้ามมิให้ดัดแปลงเนื้อหา และต้องอ้างอิงถึงเจ้าของเอกสารทุกครั้งที่มีการนำไปใช้

$$\bar{x} = \frac{\sum A_i \bar{x}_i}{\sum A_i} = \frac{93297.62}{3865.57} = 24.14 \text{ mm.}$$

$$\bar{y} = \frac{\sum A_i \bar{y}_i}{\sum A_i} = \frac{115967.1}{3865.57} = 30 \text{ mm.}$$



### 2.1.8 เพลา

เพลาเป็นชิ้นส่วนที่มีในเครื่องจักรกลทุกชนิด มีชื่อเรียกแตกต่างกันไปตามลักษณะของการใช้งานดังต่อไปนี้คือ

เพลา (shaft) เป็นชิ้นส่วนที่หมุนและใช้การส่งกำลัง

แกน (axle) เป็นลักษณะเดียวกันกับเพลาแต่ไม่หมุน ส่วนมากเป็นตัวรองรับชิ้นส่วนที่หมุน เช่น ล้อ ล้อสายพาน เป็นต้น อย่างไรก็ตามทั้งเพลาและแกนก็นิยมเรียกรวมกันว่าเพลาไม่ว่าชิ้นส่วนนั้นจะหมุนหรืออยู่นิ่งก็ตาม

สปีนเดิล (spindle) เป็นเพลาขนาดสั้นที่ไม่หมุน เช่น เพลาที่หัวแทนกลึง (Head-stock spindle) เป็นต้น

สตัปชาฟต์ (stub shaft) หรือบางครั้งเรียกเฮดชาฟต์ (head shaft) เป็นเพลาที่ติดเป็นชิ้นส่วนต่อเนื่องกับเครื่องยนต์ มอเตอร์ หรือเครื่องต้นกำลังอื่นๆ มีขนาด รูปร่าง และส่วนยื่นออกมาสำหรับใช้ต่อกับเพลาอื่นๆ

เพลาแนว (line shaft) หรือเพลาส่งกำลัง (power transmission shaft) หรือเพลาเมน (main shaft) เป็นเพลาซึ่งต่อตรงจากเครื่องต้นกำลัง และใช้ในการส่งกำลังไปยังเครื่องจักรกลอื่นๆ โดยเฉพาะ

แจ็กชาฟต์ (jackshaft) หรือ เคาน์เตอร์ชาฟต์ (counter shaft) เป็นเพลาขนาดสั้นที่ต่อระหว่างเครื่องต้นกำลังกับเพลาเมนหรือเครื่องจักรกล

เพลาอ่อน (flexible shaft) เป็นเพลาที่สามารถอ่อนตัวหรือโค้งได้ เพลาประเภทนี้ทำด้วยสายลวดใหญ่ (cable) ลวดสปริงหรือลวดเกลียว (wire rope) ใช้ในการส่งกำลังในลักษณะที่แกนหมุนทำมุมกันได้ แต่ส่งกำลังได้น้อย

เพลาอาจจะรับแรงดึง แรงกด แรงบิด หรือแรงดัด หรือแรงหลายอย่างรวมกันก็ได้ ดังนั้นการคำนวณจึงต้องใช้ความเค้นผสมเข้าช่วย แรงเหล่านี้ยังอาจจะมีเปลี่ยนแปลงขนาด

เอกสารนี้เป็นเอกสารที่สงวนไว้สำหรับการใช้งานเพื่อการศึกษาเท่านั้น ไม่อนุญาตให้นำไปใช้ประโยชน์ด้านการค้าไม่ว่ากรณีใดๆ ทั้งสิ้น อีกทั้งห้ามมิให้ดัดแปลงเนื้อหา และต้องอ้างอิงถึงเจ้าของเอกสารทุกครั้งที่มีการนำไปใช้

ตลอดเวลา ทำให้เพลลาเสียหายเพราะความล้าได้ ฉะนั้นจึงต้องออกแบบเพลลาให้มีความแข็งแรงเพียงพอสำหรับการใช้งานในลักษณะนี้ นอกจากนั้นเพลลาจะต้องมีความแข็งแกร่ง (rigidity) เพียงพอเพื่อลดมุมบิดภายในเพลลาให้อยู่ในขีดจำกัดที่พอเหมาะ

### 2.1.9 คาน

ชิ้นส่วนเครื่องจักรกลจำนวนมากรับแรงในแนวตั้งลักษณะเช่นเดียวกับคานทั่วไป ฉะนั้นจึงใช้ความเค้นดัด ( Bending stress ) และการยุบตัว ( Deflection ) เป็นข้อจำกัดในการออกแบบ ความเค้นดัดสูงสุดเกิดที่ผิวนอกสุดของคาน ณ ตำแหน่งที่โมเมนต์ดัด ( Bending moment ) มีค่าสูงสุด ซึ่งคำนวณได้จากสมการ

$$\sigma_b = \frac{M_c}{I}$$

โดยที่ M คือโมเมนต์ดัด  
C คือระยะจากแกนสะเทิน ( Neutral axis ) ไปยังผิวนอกสุด ดังรูป  
I คือโมเมนต์ความเฉื่อยของพื้นที่



รูปที่ 2.12 คานและแกนสะเทิน

สำหรับค่า I ของหน้าตัดบางชนิด ดูได้จากตารางแสดงคุณสมบัติของหน้าตัด ส่วนค่าโมเมนต์ดัดสูงสุดและการยุบตัวของคาน ดูได้จากตารางแสดงค่าโมเมนต์และระยะโค้งของคานในภาคผนวก

โดยทั่วไปแล้วความเค้นเฉือนที่เกิดขึ้นในคานจะมีค่าน้อยมาก จนกระทั่งไม่ต้องนำมาคิดในการออกแบบก็ได้ แต่ถ้าคานสั้นและมีหน้าตัดสูงมาก ความเค้นเฉือนก็อาจจะมีค่ามากได้ สำหรับคานที่มีพื้นที่หน้าตัดเป็นรูปสี่เหลี่ยมผืนผ้า ความเค้นเฉือนสูงสุดจะเกิดที่แกนสะเทิน และมีค่า 1.5 เท่าของความเค้นเฉือนเฉลี่ยหรือเท่ากับ

$$\tau = \frac{3V}{2A}$$

สำหรับหน้าตัดกลม

$$\tau = \frac{4V}{3A}$$

โดยที่ V คือแรงเฉือนสูงสุด

A คือพื้นที่หน้าตัด

เอกสารนี้เป็นเอกสารที่สงวนไว้สำหรับการใช้งานเพื่อการศึกษาเท่านั้น ไม่อนุญาตให้นำไปใช้ประโยชน์ด้านการค้าไม่ว่ากรณีใดๆ ทั้งสิ้น อีกทั้งห้ามมิให้ดัดแปลงเนื้อหา และต้องอ้างอิงถึงเจ้าของเอกสารทุกครั้งที่มีการนำไปใช้

### 2.1.10 การบิด

ชิ้นส่วนเครื่องจักรกลที่มีพื้นที่หน้าตัดกลมอยู่ภายใต้โมเมนต์บิด ( Torque ) จะบิดไปเป็นมุมเท่ากับ

$$\theta = \frac{TL}{GJ}$$

โดยที่ T คือโมเมนต์บิด  
L คือความยาว  
J คือ โมเมนต์ความเฉื่อยเชิงขั้วของพื้นที่ ( Polar area moment of inertia )

$$= \frac{\pi}{32} d^4 \quad \text{สำหรับท่อนกลมตัน}$$

$$= \frac{\pi}{32} (d^4 - d_i^4) \quad \text{สำหรับท่อนกลมกลวง}$$

d คือขนาดเส้นผ่านศูนย์กลางภายนอก

$d_i$  คือขนาดเส้นผ่านศูนย์กลางภายใน

ความเค้นเฉือนที่เกิดจากการบิดจะมีค่าสูงสุดที่ผิวนอกของท่อนกลมนี้ ซึ่งสามารถคำนวณได้จากสมการ

$$\tau = \frac{Tr}{J}$$

โดยที่ r คือรัศมีนอกของท่อนกลม

ในการที่จะใช้สมการนี้มักจะจำเป็นที่จะต้องหาค่าโมเมนต์บิดให้ได้เสียก่อน สำหรับเครื่องจักรกลที่ส่งผ่านกำลังมาตามเพลลา จะคำนวณหาค่าโมเมนต์บิดได้จาก

$$W_p = T\omega = 2\pi nT$$

โดยที่  $W_p$  คือกำลังงานเป็น w  
T คือ โมเมนต์บิดเป็น Nm  
 $\omega$  คืออัตราเร็วเชิงมุมเป็น rad/s  
n คือความเร็วรอบเป็น rev/s

สำหรับในระบบหน่วยอังกฤษซึ่งยังมีใช้กันอยู่จะบอกกำลังงานเป็นแรงม้าและคำนวณโมเมนต์บิดได้จาก

เอกสารนี้เป็นเอกสารที่สงวนไว้สำหรับการใช้งานเพื่อการศึกษาเท่านั้น ไม่อนุญาตให้นำไปใช้ประโยชน์ด้านการค้าไม่ว่ากรณีใดๆ ทั้งสิ้น อีกทั้งห้ามมิให้ดัดแปลงเนื้อหา และต้องอ้างอิงถึงเจ้าของเอกสารทุกครั้งที่มีการนำไปใช้

$$hp = \frac{Tn}{63000}$$

โดยที่ T คือโมเมนต์บิดเป็น in-lb  
n คือความเร็วรอบเป็น rev/min

## 2.2 มอเตอร์

### 2.2.1 มอเตอร์ไฟฟ้ากระแสตรง

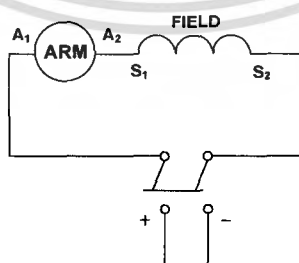
มอเตอร์ไฟฟ้ากระแสตรง (DC:Direct Current Motor) จะทำหน้าที่เปลี่ยนพลังงาน จากพลังงานไฟฟ้าเป็นพลังงานกล โดยประกอบด้วย 2 ส่วน ส่วนที่อยู่กับที่ (stator) และส่วนที่เคลื่อนที่ (Rotor) ลักษณะการหมุนของมอเตอร์ไฟฟ้ากระแสตรง (DC Motor) กับมอเตอร์สเต็ปป์ (Stepping Motor) จะมีความแตกต่างกัน คือ DC Motor จะหมุนอย่างต่อเนื่อง ถ้ากลับทิศทางก็จะหมุนอย่างต่อเนื่องเช่นกัน ซึ่งการเคลื่อนที่ขณะหมุนจะสม่ำเสมอแต่ไม่สามารถควบคุมตำแหน่งได้ ส่วน Stepping Motor สามารถควบคุมตำแหน่งการหมุนได้

โครงสร้างภายในของ DC Motor ประกอบด้วย 2 ส่วนคือ

1. ส่วนที่อยู่กับที่ (Stator) หรือเรียกว่า Field
  2. ส่วนที่เคลื่อนที่ (Rotor) หรือเรียกว่า Armature
- มอเตอร์ไฟฟ้ากระแสตรงแบ่งออกเป็น 3 ชนิดดังนี้

มอเตอร์ไฟฟ้ากระแสตรงแบบอนุกรม (Series Motors)

มอเตอร์ชนิดนี้ ขดลวดที่อาร์เมเจอร์ (Armature) จะต่ออนุกรมกับขดลวดที่ Stator มอเตอร์ลักษณะนี้จะมีเส้นแรงแม่เหล็กเป็นสัดส่วนกับกระแส ทำให้สามารถปรับค่าที่เส้นแรงของสนามแม่เหล็กได้ โดยเหมาะกับสภาวะการใช้งานที่ต้องการแรงบิดสูงที่ความเร็วต่ำ และแรงบิดต่ำที่ความเร็วสูง เป็นต้น



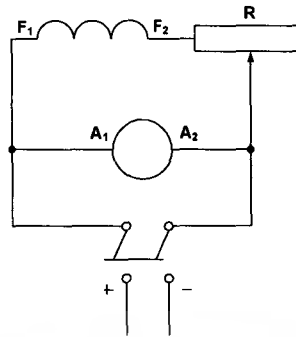
รูป 2.13 มอเตอร์ไฟฟ้ากระแสตรงแบบอนุกรม

มอเตอร์ไฟฟ้ากระแสตรงแบบขนาน (Shunts Motors)

มอเตอร์ชนิดนี้ขดลวดที่อาร์เมเจอร์ (Armature) จะต่อขนานกับขดลวดที่ Stator มอเตอร์

ชนิดนี้สามารถปรับเส้นแรงแม่เหล็กได้อย่างอิสระต่อกระแสของ Armature ทำให้ควบคุมเอกสารนี้เป็นเอกสารที่สงวนไว้สำหรับการใช้งานเพื่อการศึกษาเท่านั้น ไม่อนุญาตให้นำไปใช้ประโยชน์ด้านการค้าไม่ว่ากรณีใดๆ ทั้งสิ้น อีกทั้งห้ามมิให้ตัดแปลงเนื้อหา และต้องอ้างอิงถึงเจ้าของเอกสารทุกครั้งที่มีการนำไปใช้

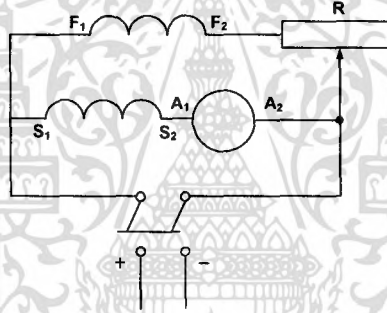
พารามิเตอร์ (Parameter) ของมอเตอร์ให้มีความคงที่ได้ดี โดยสภาวะการใช้งานเหมาะสมกับลักษณะงานในการเคลื่อนที่ต้องการแรงบิดสูง



รูป 2.14 มอเตอร์ไฟฟ้ากระแสตรงแบบขนาน

### 2.2.1.3 มอเตอร์ไฟฟ้ากระแสตรงแบบผสม (Compound Motors)

มอเตอร์ชนิดนี้มีลักษณะต่อแบบนำมอเตอร์แบบอนุกรมและมอเตอร์แบบขนานมารวมอยู่ในชุดเดียวกัน ทำให้สภาวะในการทำงานอยู่ระหว่างการต่ออนุกรมและขนานในตัวเดียวกัน



รูป 2.15 มอเตอร์ไฟฟ้ากระแสตรงแบบผสม

### 2.2.2 สเตปป์มอเตอร์

ด้วยคุณสมบัติของมอเตอร์กระแสตรงโดยทั่วไปไม่ค่อยมีความแม่นยำมากนัก โดยเฉพาะถ้าไม่มีระบบกลไกป้องกันกลับจากเซอร์โวหรือมาตรวัดความเร็ว (tachometer) เพราะไม่สามารถบอกได้ว่ามอเตอร์ไฟฟ้ากระแสตรงหมุนด้วยความเร็วรอบเท่าใด นอกจากนี้การจะควบคุมให้มอเตอร์ไฟฟ้ากระแสตรงหมุนด้วยจำนวนรอบที่แน่นอนก็ทำได้ยาก โดยเฉพาะการออกแบบงานที่ต้องการความแม่นยำสูง

เนื่องจากข้อด้อยของมอเตอร์ไฟฟ้ากระแสตรง จึงได้มีการนำสเตปป์มอเตอร์มาใช้งาน โดยหลักการทำงานของสเตปป์มอเตอร์คือ ไม่ได้ทำการป้อนกระแสไฟฟ้าให้มอเตอร์อย่างต่อเนื่องเหมือนมอเตอร์ไฟฟ้ากระแสตรงทั่วไป แต่จะถูกขับโดยสัญญาณไฟฟ้าแบบพัลส์ซึ่งพัลส์แต่ละพัลส์จะทำให้แกนมอเตอร์หมุนไปเพียงเล็กน้อย ดังนั้นยิ่งเราป้อนพัลส์ที่มีความถี่สูงให้กับมอเตอร์มากเท่าไร มอเตอร์ก็จะหมุนได้เร็วขึ้นเท่านั้น

เอกสารนี้เป็นเอกสารที่สงวนไว้สำหรับการใช้งานเพื่อการศึกษาเท่านั้น ไม่อนุญาตให้นำไปใช้ประโยชน์ด้านการค้า ไม่ว่าจะกรณีใดๆ ทั้งสิ้น อีกทั้งห้ามมิให้ดัดแปลงเนื้อหา และต้องอ้างอิงถึงเจ้าของเอกสารทุกครั้งที่มีการนำไปใช้

ข้อดีของสเต็ปปีงมอเตอร์เมื่อเปรียบเทียบกับมอเตอร์กระแสตรง ( DC MOTOR)

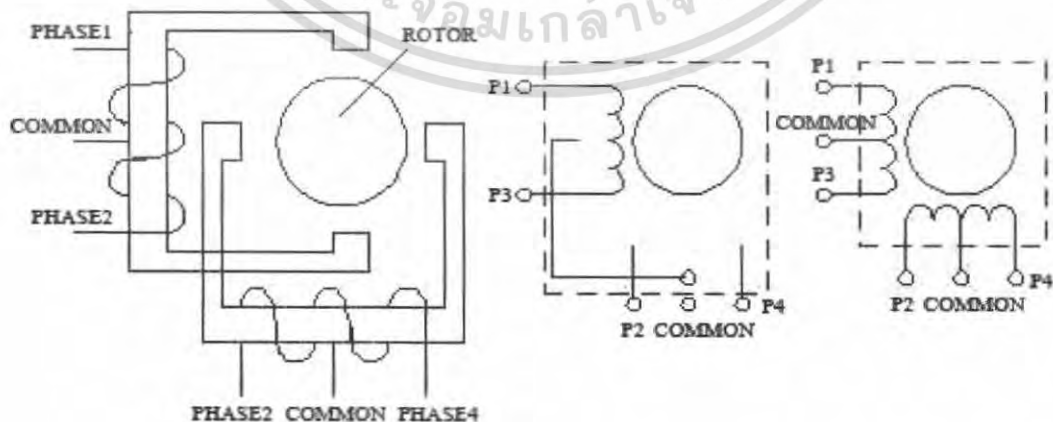
1. การควบคุมไม่ต้องอาศัยตัวตรวจจับการหมุน
2. ไม่ต้องใช้แปรงถ่าน ดังนั้นจึงทำให้ไม่มีส่วนที่จะต้องสึกหรอ และปัญหาของการสปาร์ก ( ที่เกิดจากหน้าสัมผัสของแปรงถ่านแหวนตัวนำในโรเตอร์ ) ที่ทำให้เกิดสัญญาณรบกวน
3. การควบคุมโดยทางวงจรถติจิตอลหรือไมโครโพรเซสเซอร์ ทำได้ง่าย และสะดวก



รูปที่ 2.16 สเต็ปปีงมอเตอร์ และการใช้งาน

สเต็ปปีงมอเตอร์ที่จะนำมาใช้ในการทดลองนี้ จะใช้สเต็ปปีงแบบยูนิโพลาร์ ( Uni-polar stepper motor) ซึ่งโครงสร้างของสเต็ปปีงมอเตอร์แบบนี้จะมีส่วนประกอบที่สำคัญ 2 ส่วนด้วยกัน คือ

1. ส่วนที่ทำการหมุน (Rotor) จะเป็นแม่เหล็กถาวรหรืออื่นๆ
2. ส่วนที่อยู่กับที่ (Stator) เป็นขดลวดที่พันไว้จำนวนหลายๆขด

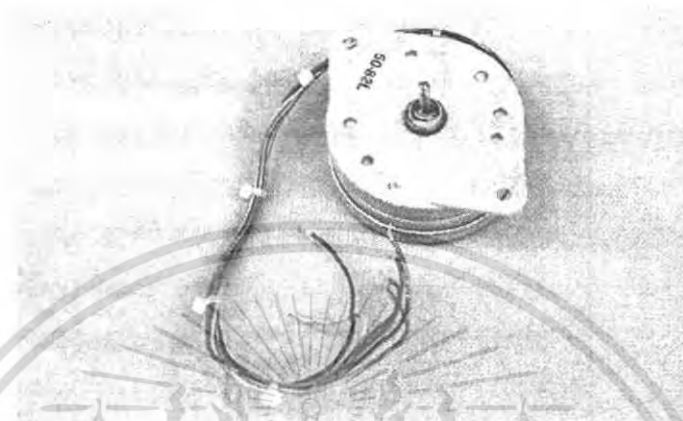


รูปที่ 2.17 สเต็ปปีงมอเตอร์ 4 เฟส แบบยูนิโพลาร์ (Uni-polar stepper motor)

เอกสารนี้เป็นเอกสารที่สงวนไว้สำหรับการใช้งานเพื่อการศึกษาเท่านั้น ไม่อนุญาตให้นำไปใช้ประโยชน์ด้านการค้าไม่ว่ากรณีใดๆ ทั้งสิ้น อีกทั้งห้ามมิให้ตัดแปลงเนื้อหา และต้องอ้างอิงถึงเจ้าของเอกสารทุกครั้งที่มีการนำไปใช้

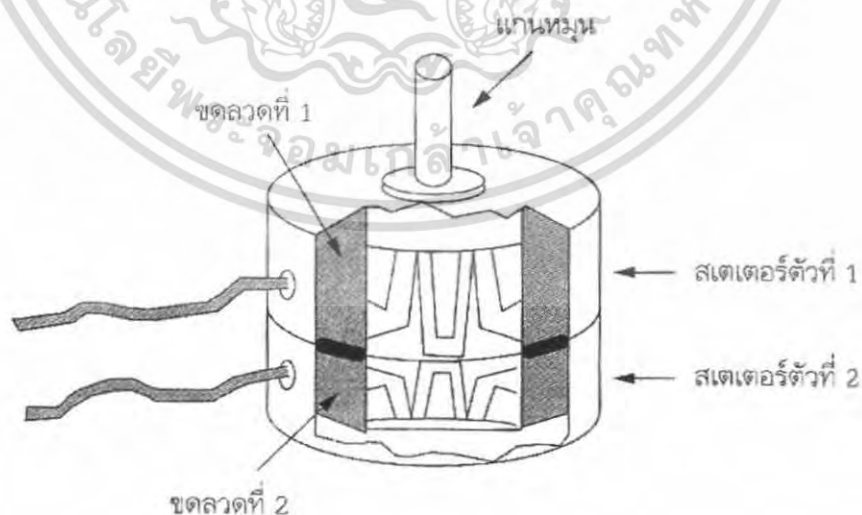
### 2.2.2.1 โครงสร้างภายในของสเตปิ้งมอเตอร์

ปัจจุบันมีการออกแบบสเตปป์มอเตอร์หลายรูปแบบ ดังนั้นเราจึงทำการศึกษาสเตปป์มอเตอร์ที่นิยมใช้กันอย่างกว้างขวาง ซึ่งเป็นสเตปป์มอเตอร์ชนิด 4 เฟส ดังแสดงในรูปที่ 2.18



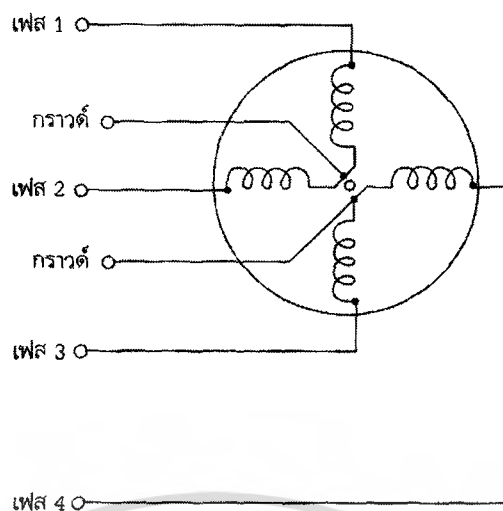
รูปที่ 2.18 สเตปป์มอเตอร์ชนิด 4 เฟส

สเตปป์มอเตอร์ชนิด 4 เฟส แท้จริงแล้วก็คือมอเตอร์สองตัวที่นำมาประกบกันคล้ายกับ แชนวิช ดังแสดงในรูปที่ 2.19 โดยที่มอเตอร์แต่ละตัวจะประกอบด้วยขดลวดสองขดที่พันขดลวดต่อกันเป็นสี่ขดจากขั้วของมอเตอร์ทั้งสองคู่ ดังนั้นจึงมีสายไฟออกมาจากตัวมอเตอร์ 8 เส้น โดยปกติแล้วการพันสายไฟจะนำมารวมกันเป็นกลุ่ม ทำให้จำนวนสายไฟลงได้ อาจจะเป็น 5 หรือ 6 เส้น แทนที่จะเป็น 8 เส้นดังรูปที่ 2.20



รูปที่ 2.19 ลักษณะภายในของสเตปป์มอเตอร์ชนิด 4 เฟส

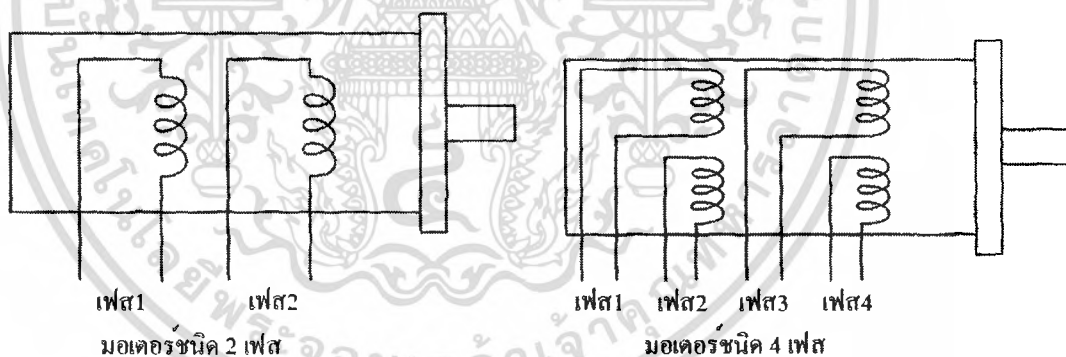
เอกสารนี้เป็นเอกสารที่สงวนไว้สำหรับการใช้งานเพื่อการศึกษาเท่านั้น ไม่อนุญาตให้นำไปใช้ประโยชน์ด้านการค้า ไม่ว่าจะกรณีใดๆ ทั้งสิ้น อีกทั้งห้ามมิให้ดัดแปลงเนื้อหา และต้องอ้างอิงถึงเจ้าของเอกสารทุกครั้งที่มีการนำไปใช้



รูปที่ 2.20 แผนผังสายไฟของสเตปป์มอเตอร์ชนิด 4 เฟส

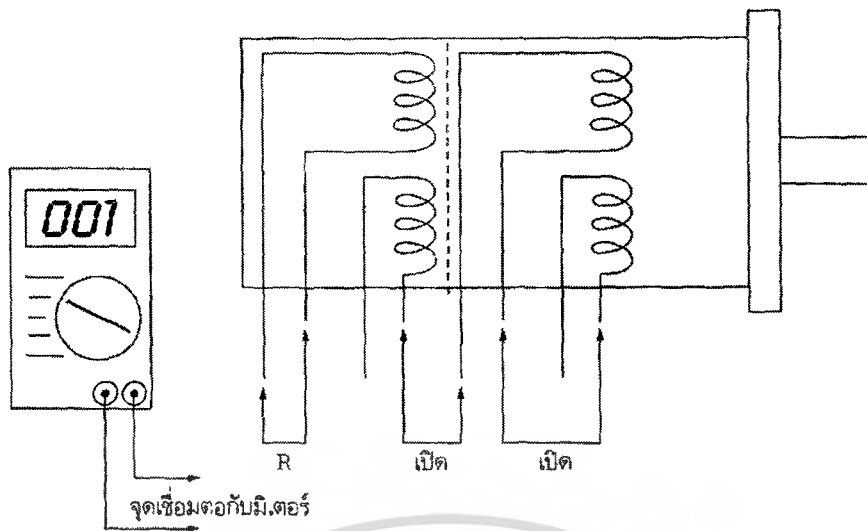
#### 2.2.2.2 แผนผังการเดินสายไฟ

แผนผังการเดินสายไฟของสเตปป์มอเตอร์ทั้งชนิด 2 และ 4 เฟสได้แสดงไว้ในรูปที่ 2.21 สายไฟของสเตปป์มอเตอร์ชนิด 2 เฟส สามารถทำความเข้าใจได้ง่าย ซึ่งจะใช้โวลต์-โอห์มมิเตอร์ในการทดสอบ โดยเราสามารถหาคู่ของสายไฟที่เป็นเฟสเดียวกันได้ โดยถ้าค่าความต้านทานที่แสดงออกมามีค่าน้อยแสดงว่าเป็นเฟสคู่เดียวกัน



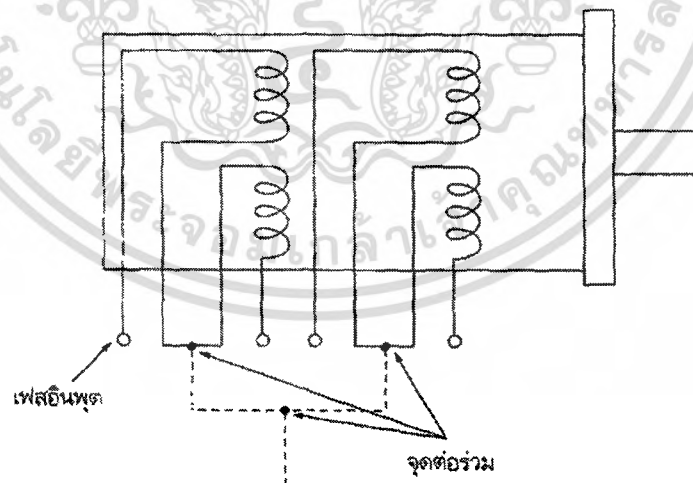
รูปที่ 2.21 ขดลวดของสเตปป์มอเตอร์ชนิด 2 เฟส และ 4 เฟส

สำหรับการทดลองสเตปป์มอเตอร์ชนิด 4 เฟส ก็สามารถทำได้ในลักษณะเดียวกัน แต่มีขั้นตอนที่มากกว่า เพราะมีสายไฟ 8 เส้นต่อกับมอเตอร์ การหาคู่ของสายไฟที่เป็นเฟสเดียวกันแสดงดังรูปที่ 2.22 ถ้าไม่สามารถอ่านค่าความต้านทานได้ แสดงว่าสายไฟคู่นั้นไม่ได้ต่อกัน ถ้าอ่านค่าจากมิเตอร์ได้ แสดงว่าสายไฟคู่นั้นเชื่อมต่อกัน



**รูปที่ 2.22** จุดเชื่อมต่อและค่าที่สามารถอ่านได้จากสายไฟ 8 เส้น  
สำหรับสเตปป์มอเตอร์ชนิด 4 เฟส

ถ้าสเตปป์มอเตอร์มีสายไฟ 6 เส้น สายไฟ 4 เส้นจะมาจากปลายแต่ละข้างของขดลวด และจะมีสายไฟอีกสองข้างที่ต่อร่วมกัน ดังแสดงในรูปที่ 2.23 ขั้นตอนในการหาคู่เฟสจะต้องใช้ความอดทน โดยขั้นตอนแรกต้องแยกสายไฟออกเพื่อที่จะหาสายไฟที่ไม่เชื่อมต่อกัน หลังจากทดสอบเรียบร้อยแล้วจะแบ่งสายไฟออกเป็นสองกลุ่มที่ประกอบด้วยสายไฟกลุ่มละ 3 เส้น ซึ่งขั้นตอนนี้เราสามารถหาสายไฟที่คู่กันได้ โดยวัดค่าด้วยมิเตอร์และบันทึกผลไว้

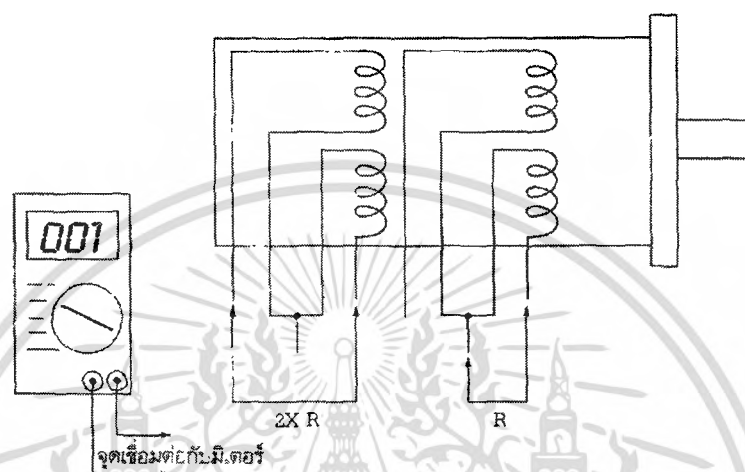


**รูปที่ 2.23** จุดต่อรวมจะทำให้สายไฟลดลงจากเดิม 8 เส้น เหลือ 5 หรือ 6 เส้น

สุดท้ายจะพบว่าได้จากกรวัดเป็นสายไฟเส้นที่ 1 และ 2 สายไฟเส้นที่ 2 และ 3 และสายไฟเส้นที่ 1 และ 3 ค่าที่อ่านได้จากมิเตอร์จะเหมือนกัน 2 ชุด สำหรับชุดที่เหลือ ค่าความต้านทานจะเป็นสองเท่า แสดงว่าสายคู่นี้เป็นขดลวดหลัก ส่วนสายไฟที่เหลือจะเป็นสายไฟที่ต่อร่วมกัน

เอกสารนี้เป็นเอกสารที่สงวนไว้สำหรับการใช้งานเพื่อการศึกษาเท่านั้น ไม่อนุญาตให้นำไปใช้ประโยชน์ด้านการค้าไม่ว่ากรณีใดๆ ทั้งสิ้น อีกทั้งห้ามมิให้ดัดแปลงเนื้อหา และต้องอ้างอิงถึงเจ้าของเอกสารทุกครั้งที่มีการนำไปใช้

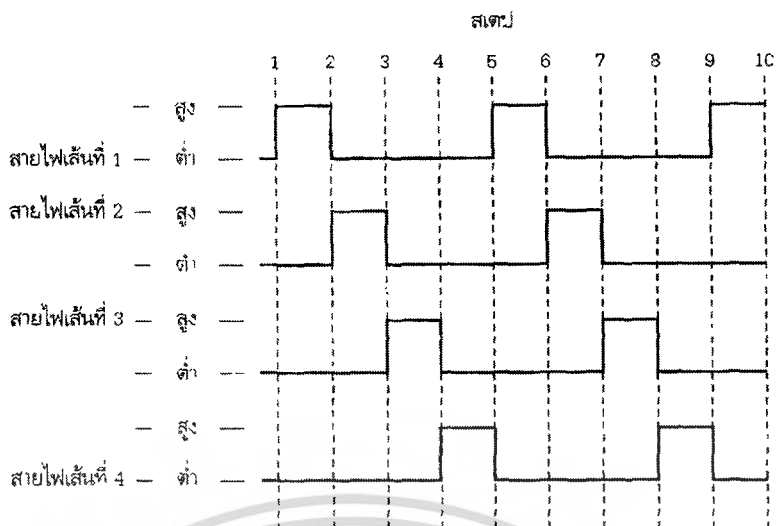
การถอดรหัสสายไฟของมอเตอร์แบบ 5 สายสามารถทำได้โดยตรง คือ วัดค่าของสายไฟแต่ละคู่แล้วบันทึกค่าไว้ สมมติว่าวัดค่าความต้านทานของสายไฟ 1 คู่ แล้วบันทึกไว้ (ใช้ตัวแปรชื่อ "R") ปล่อยให้สายไฟอีกคู่หนึ่งแล้วปรากฏว่ามีค่าความต้านทาน "2R" แสดงว่าสายไฟคู่นั้นเป็นปลายทั้งสองข้างของขดลวด (ดังแสดงในรูปที่ 2.24) ทำการแยกสายคู่นี้ออก จากนั้นทำการทดสอบสายไฟคู่อื่นๆที่เหลือด้วยวิธีการเดียวกันจนเสร็จสมบูรณ์



รูปที่ 2.24 จุดเชื่อมต่อและค่าที่สามารถอ่านได้จากสายไฟ 5 หรือ 6 เส้นของสเตปป์มอเตอร์ชนิด 4 เฟส

### 2.2.2.3 ลำดับขั้นของพัลส์

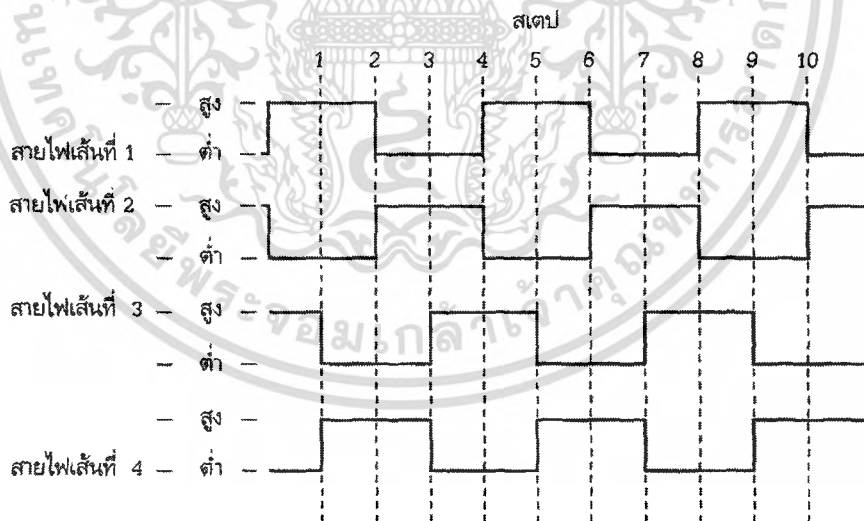
ในการทำงานของสายร่วมจะถูกต่อกับขั้วบวก (บางครั้งก็ใช้ขั้วลบ) ของแหล่งจ่ายไฟ ขดลวดแต่ละขดจะได้รับแรงกระตุ้นจากราวด์ของแหล่งจ่ายไฟเป็นช่วงเวลาสั้นๆ โดยแกนเพลลาของมอเตอร์จะหมุนไปเป็นเศษส่วนของรอบในแต่ละครั้งที่ได้รับการกระตุ้น เื่อให้แกนเพลลาของมอเตอร์หมุนไปได้อย่างถูกต้อง ขดลวดจะต้องได้รับการกระตุ้นตามลำดับ เช่น ขดที่ 1,2,3 และ 4 ดังแสดงในรูปที่ 2.24 ทิศทางการหมุนจะหมุนตามเข็มนาฬิกา ถ้าเรากระตุ้นโดยเรียงลำดับตรงกันข้าม จะทำให้มอเตอร์หมุนไปในทิศวนเข็มนาฬิกา



รูปที่ 2.25 ลำดับการป้อนพัลส์เพื่อขับสเตปป์มอเตอร์ชนิด 4 เฟสทั่วไป

2.2.2.4 ลำดับขั้นในการเปิด/เปิด และ ปิด/ปิด

ลำดับขั้นของพัลส์เป็นเทคนิคพื้นฐานแบบหนึ่งสำหรับใช้ขับสเตปป์มอเตอร์ มีเทคนิคอีกวิธีหนึ่งที่ใช้ขับหรือกระตุ้นขดลวดทั้งสองขดพร้อมๆกัน คือ วิธี เปิด/เปิด และ ปิด/ปิด ดังแสดงในรูปที่ 2.25 ซึ่งจะช่วยให้เพิ่มกำลังในการขับเคลื่อนมอเตอร์ นอกจากนี้ยังช่วยการหมุนของแกนเพลตมอเตอร์แม่นยำขึ้นด้วย



รูปที่ 2.26 ลำดับขั้นในการเปิด/เปิด และ ปิด/ปิด

2.2.2.5 ข้อควรพิจารณาในการออกแบบสเตปป์มอเตอร์

การออกแบบสเตปป์มอเตอร์จะแตกต่างจากมอเตอร์ไฟฟ้ากระแสตรงดังนี้

เอกสารนี้เป็นเอกสารที่สงวนไว้สำหรับการใช้งานเพื่อการศึกษาเท่านั้น ไม่อนุญาตให้นำไปใช้ประโยชน์ด้านการค้าไม่ว่ากรณีใดๆ ทั้งสิ้น อีกทั้งห้ามมิให้ดัดแปลงเนื้อหา และต้องอ้างอิงถึงเจ้าของเอกสารทุกครั้งที่มีการนำไปใช้

## 1. เฟสของสเตปป์มอเตอร์

สเตปป์มอเตอร์ชนิด 4 เฟสต้องการลำดับของพัลส์ที่ใช้ป้อนให้กับขดลวดเพื่อขับเคลื่อนมอเตอร์ให้หมุนได้อย่างถูกต้อง โดยลักษณะของสเตปป์มอเตอร์จะมีอย่างน้อย 2 เฟส แต่สเตปป์มอเตอร์ส่วนใหญ่จะเป็น 4 เฟส มีบางครั้งที่เราจะเห็นสเตปป์มอเตอร์ชนิด 6 เฟส ถ้ามีจำนวนเฟสมากเท่าไรมอเตอร์ก็จะมีคามแม่นยำมากขึ้นเท่านั้น

## 2. มุมของสเตป

ขนาดหรือองศาที่แกนเพลลาของสเตปป์มอเตอร์หมุนไปจะแปรตามจำนวนครั้งที่ขดลวดถูกกระตุ้น ซึ่งเราเรียกว่า มุมสเตป (step angle) โดยจะมีค่าตั้งแต่ 0.9 องศา จนถึง 90 องศา (ปกติคือ 1.8 องศา)

ค่าของมุมสเตปนี้ใช้สำหรับคำนวณหาจำนวนของสเตปที่ใช้ในการหมุนแกนเพลลาของมอเตอร์ได้หนึ่งรอบ ตัวอย่างเช่น สเตปป์มอเตอร์ที่มุมสเตป 1.8 องศา จะต้องป้อนพัลส์จำนวน 200 พัลส์ เพื่อหมุนแกนเพลลาของมอเตอร์ให้ได้หนึ่งรอบ หรืออีกตัวอย่างหนึ่ง ถ้าสเตปป์มอเตอร์มีมุมสเตป 7.5 องศา จะต้องป้อนพัลส์จำนวน 48 พัลส์ เพื่อหมุนแกนเพลลาของมอเตอร์ให้ได้หนึ่งรอบ

## 3. รัศมีของพัลส์ (pulse rate)

เป็นที่เข้าใจกันแล้วว่า ถ้าสเตปป์มอเตอร์ยังมีมุมสเตปเล็กเท่าใด มอเตอร์รัศมีนั้นก็ยิ่งมีความแม่นยำมากขึ้นเท่านั้น แต่สเตปป์มอเตอร์จะมีข้อจำกัดอยู่ที่จำนวนพัลส์สูงสุดประมาณ 200-300 สเตปต่อวินาที ดังนั้นมอเตอร์จะมีความเร็วสูงสุดประมาณ 1-3 รอบต่อวินาที (60-180 รอบต่อนาที) สำหรับสเตปป์มอเตอร์ที่มีขนาดเล็กลงมากก็จะมีรัศมีของพัลส์มากกว่า 1,000 สเตปต่อวินาที แต่แรงบิดที่ได้จะไม่เพียงพอในการขับเคลื่อนหรือบังคับทิศทาง

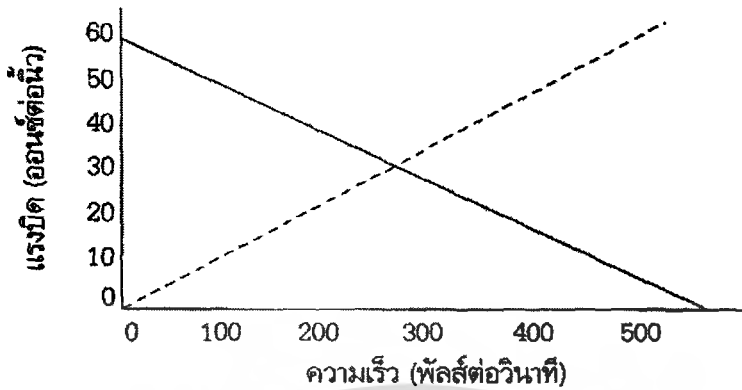
อย่างไรก็ตามสเตปป์มอเตอร์ไม่ควรจะถูกระตุ้นให้หมุนที่ความเร็วรอบสูงสุดโดยทันที จากค่าความเร็วต้นที่เป็นศูนย์ การป้อนพัลส์จำนวนมากเกินไปจะทำให้สเตปป์มอเตอร์ค้างได้ การที่จะให้สเตปป์มอเตอร์หมุนด้วยความเร็วสูงสุดจะต้องค่อยๆเพิ่มความเร่งให้กับมอเตอร์ ซึ่งอาจจะใช้ความเร็วประมาณหนึ่งในสามของความเร็วสูงสุดในช่วง 2-3 วินาทีแรก และเพิ่มเป็น สองในสามของความเร็วสูงสุดสำหรับ 50 หรือ 75 มิลลิวินาทีถัดมา แล้วจึงใช้ความเร็วสูงสุดเต็มที่

## 4. แรงบิดที่ได้

สเตปป์มอเตอร์ให้แรงบิดได้ไม่มากนักเมื่อเปรียบเทียบกับมอเตอร์ไฟฟ้ากระแสตรงที่มีขนาดและน้ำหนักเท่ากัน สเตปป์มอเตอร์ขนาดกลางทั่วไป (12 โวลต์) อาจจะให้แรงบิดเพียง 25 ออนซ์ต่อนิ้ว ซึ่งเมื่อเปรียบเทียบกับมอเตอร์ไฟฟ้ากระแสตรงขนาดกลางทั่วไป (12 โวลต์) จะให้แรงบิดมากกว่า 3-4 เท่า

อย่างไรก็ตาม สเตปป์มอเตอร์จะให้แรงบิดได้ดีที่สุดที่ความเร็วต่ำ คือ ยิ่งความเร็วในการหมุนช้าเท่าใด แรงบิดที่ได้ก็ยิ่งมีค่ามากขึ้น เช่นเดียวกับมอเตอร์ไฟฟ้ากระแสตรง รูปที่ 2.26 แสดงกราฟแรงบิดของสเตปป์มอเตอร์ขนาดกลางชนิด 4 เฟส 12 โวลต์ ซึ่งใช้รัศมีของพัลส์ 550 เฮกซารี่เป็นเอกสารที่สงวนไว้สำหรับการใช้งานเพื่อการศึกษาเท่านั้น ไม่อนุญาตให้นำไปใช้ประโยชน์ด้านการค้า ไม่ว่ากรณีใดๆ ทั้งสิ้น อีกทั้งห้ามมิให้ดัดแปลงเนื้อหา และต้องอ้างอิงถึงเจ้าของเอกสารทุกครั้งที่มีการนำไปใช้

พัลส์ต่อวินาที มีค่ามุมสเตปเท่ากับ 1.8 องศาต่อสเตป ดังนั้นความเร็วรอบสูงสุดที่ได้คือ 2.75 รอบต่อวินาที (165 รอบต่อนาที)



— สเตปเปอร์มอเตอร์    - - - - มอเตอร์ไฟฟ้ากระแสตรงแบบมีแปรงขดลวดแบบต่อเนื่อง

รูปที่ 2.27 แรงบิดของสเตปป์มอเตอร์ที่ได้จะมีค่าสูงขึ้นเมื่อความเร็วในการหมุนต่ำลง

#### 5. ผลจากการหยุดของสเตปป์มอเตอร์

ในการหมุนแกนเพลามอเตอร์ หรือกระตุ่นขดลวดขดใดขดหนึ่งภายในสเตปป์มอเตอร์ โดยป้อนกระแสไฟอย่างต่อเนื่องให้กับขดลวด ถ้าสเตปป์มอเตอร์ไม่หมุน และแกนเพลามอเตอร์ถูกล็อกเหมือนกับออกแรงเบรกเอาไว้ เรียกปรากฏการณ์นี้ว่า ล็อกกิงเอฟเฟกต์ (locking effect) ซึ่งเราไม่จำเป็นต้องออกแรงหยุดสเตปป์มอเตอร์เพราะเราสามารถหยุดได้ด้วยตัวเอง

ขนาดของแรงที่ใช้หยุดสเตปป์มอเตอร์หรือ โฮลดิ้งทอร์ก (holding torque) นั้น ถ้าเป็นสเตปป์มอเตอร์ขนาดเล็กจะมีขนาดเล็กจะมีขนาดเพียง 2-3 ออนซ์ต่อนิ้ว แต่สำหรับสเตปป์มอเตอร์ขนาดใหญ่ จะมีค่ามากถึง 400 ออนซ์ต่อนิ้ว

#### 2.2.2.5 อัตราแรงดันไฟฟ้าและกระแสไฟฟ้า

ในการทำงานเดียวกับมอเตอร์ไฟฟ้ากระแสตรง สเตปป์มอเตอร์จะแปรผันตามค่าอัตราแรงดันไฟฟ้าและกระแสไฟฟ้า แต่สเตปป์มอเตอร์ขนาด 5, 6 และ 12 โวลต์จะมีความทำงานไม่เหมือนกันกับมอเตอร์ไฟฟ้ากระแสตรง การป้อนค่าแรงดันไฟฟ้าที่สูงมากกว่าที่กำหนดจะไม่ทำให้มอเตอร์หมุนเร็วขึ้น แต่จะให้ค่าแรงบิดและโฮลดิ้งทอร์กสูงขึ้น ส่วนการให้กำลังกับสเตปป์มอเตอร์มากกว่า 40-60 % อาจจะทำให้มอเตอร์ไหม้ได้

อัตรากระแสไฟฟ้าของสเตปป์มอเตอร์จะแสดงในหน่วยแอมแปร์ (มิลลิแอมแปร์) ต่อเฟส แหล่งจ่ายไฟที่จะใช้ขับเคลื่อนมอเตอร์ต้องให้ค่าอัตรากระแสไฟฟ้าอย่างน้อยเท่ากับค่าที่กำหนดไว้ แต่ถ้าให้ค่าอัตรากระแสไฟฟ้ามากกว่าก็ยิ่งดีสำหรับการขับเคลื่อนมอเตอร์ที่ใช้ในงานหนัก สำหรับลำดับเอกสารนี้เป็นเอกสารที่สงวนไว้สำหรับการใช้งานเพื่อการศึกษาเท่านั้น ไม่อนุญาตให้นำไปใช้ประโยชน์ด้านการค้า ไม่ว่าจะกรณีใดๆ ทั้งสิ้น อีกทั้งห้ามมิให้ดัดแปลงเนื้อหา และต้องอ้างอิงถึงเจ้าของเอกสารทุกครั้งที่มีการนำไปใช้

4 สเตปจะให้กำลังที่ละ 2 เฟส แต่อย่างน้อยที่สุดอัตรากระแสไฟฟ้าต้องเป็นสองเท่าของที่กำหนด เช่น ค่าของอัตรากระแสไฟฟ้าเท่ากับ 0.25 แอมแปร์ต่อเฟส และกำลังไฟฟ้าที่ต้องการในแต่ละครั้ง เป็น 0.5 แอมแปร์ต่อเฟส

#### 2.2.2.6 วิธีการขับสเตปป์มอเตอร์ให้หมุน โดยการกระตุ้นเฟส

ในการควบคุมสเตปป์มอเตอร์เพื่อที่จะให้ทำการหมุน มีวิธีการควบคุมกระแสไฟฟ้าที่จ่ายให้กับขดลวดสเตเตอร์ (Stator) ในแต่ละเฟสของสเตปป์มอเตอร์ อย่างเป็นลำดับที่แน่นอน โดยถ้าหากเราต้องการให้กระแสไหลในเฟสใดๆ ก็จะทำให้สถานะของเฟสนั้นๆ เป็นสถานะลอจิก "1" และในการกระตุ้นเฟสของของสเตปป์มออยู๋ด้วยกัน 2 แบบคือ

1. การกระตุ้นเฟส แบบฟูลสเตปมอเตอร์ (Full Step Motor) ยังสามารถแบ่งการกระตุ้นเฟสออกได้เป็นอีก 2 วิธีด้วยกันคือ

1) การกระตุ้นเฟสแบบฟูลสเตป 1 เฟส (Single-Phase Driver) หรือแบบเวฟ แสดงดังตาราง 2.2 จะเป็นการป้อนกระแสไฟฟ้าให้กับขดลวด ของสเตปป์มอเตอร์ทีละขด โดยจะป้อนกระแสเรียงตามลำดับกันไป ดังนั้นกระแส ที่ไหลในขดลวด จะทำการไหลในทิศทางเดียวกันทุกขด ลักษณะเช่นนี้จึงทำให้แรงขับของสเตปป์มอเตอร์มีน้อย

2) แสดงดังตารางรูป 2.2 เป็นการป้อนกระแสให้กับขดลวด 2 ขด ของสเตปป์มอเตอร์พร้อมๆกันไป และจะกระตุ้นเรียงถัดกับไปเช่นเดียวกับแบบหนึ่งเฟส ดังนั้นการกระตุ้นแบบนี้จึงต้องใช้กำลังไฟมากขึ้น และจะทำให้มีแรงบิดของมอเตอร์มากกว่าการกระตุ้นแบบ 1 เฟส

2. การกระตุ้นเฟส แบบฮาล์ฟสเตป (Half Step Motor) หรือ one-two phase Driver คือการกระตุ้นเฟสแบบ ฟูล สเตป 1 เฟส และ 2 เฟส เรียงลำดับกันไป แรงบิดที่ได้จากการกระตุ้นเฟสแบบนี้จะมีเพิ่มมากขึ้น เพราะช่วงของสเตปป์มีระยะสั้นลง ในการกระตุ้นแบบนี้ เราจะต้องมีการกระตุ้นที่เฟสถึง 2 ครั้ง จึงจะได้ระยะของ สเตปป์เท่ากับการกระตุ้นเพียงครั้งเดียว ของแบบฟูลสเตป 2 แบบแรก ความละเอียดของการหมุนตำแหน่งองศาต่อสเตปป์ ก็เป็นสองเท่าของแบบแรก ความถูกต้องของตำแหน่งที่กำหนดจึงมีมากขึ้น

ตารางที่ 2.2 แสดงการกระตุ้นเฟสแบบต่างๆของสเตปป์มอเตอร์

สเตปป์ที่	เฟสที่ <sub>1</sub>	เฟสที่ <sub>2</sub>	เฟสที่ <sub>3</sub>	เฟสที่ <sub>4</sub>
1	1	0	0	0
2	0	1	0	0
3	0	0	1	0
4	0	0	0	1

สเตปป์ที่	เฟสที่ <sub>1</sub>	เฟสที่ <sub>2</sub>	เฟสที่ <sub>3</sub>	เฟสที่ <sub>4</sub>
1	1	0	0	0
2	0	1	0	0
3	0	0	1	0
4	1	0	0	1

สแต็ปที่	เฟสที่ <sub>1</sub>	เฟสที่ <sub>2</sub>	เฟสที่ <sub>3</sub>	เฟสที่ <sub>4</sub>
1	1	0	0	0
2	1	1	0	0
3	0	1	0	0
4	0	1	1	0
5	0	0	1	0
6	0	1	1	1
7	0	0	0	1
8	1	0	0	1

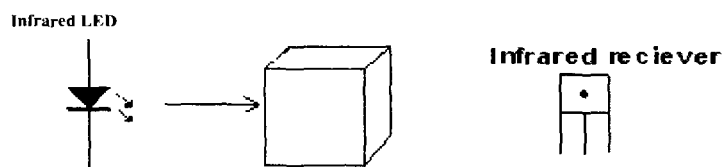
วงจรที่ใช้ในการขับสแต็ปปีงมอเตอร์โดยใช้ไอซีสำเร็จรูป และวงจรจากทรานซิสเตอร์ แสดงได้ในรูป 6.16 โดย ไอซีสำเร็จรูปเบอร์ ULN2003 จะมีคุณสมบัติเป็นไอซีไดรเวอร์กระแสสูง แบบคอลลีคเตอร์เปิด สามารถเลือกแรงดันได้กว้าง 5-30 โวลท์ จ่ายกระแสได้สูงถึง 500 mA ต่อขา และมีไดโอดที่ป้องกันกระแสย้อนกลับอยู่ภายในไอซี ส่วนแอลอีดีที่อยู่ในวงจรเราจะต่อไว้เพื่อแสดงการกระตุ้นแต่ละเฟส ของแต่ละแบบ

### 2.3 เซนเซอร์อินฟราเรด

การตรวจจับฝ่าและหลอดใช้หลักการส่งผ่านแสงอินฟราเรด โดยใช้ตัวรับอินฟราเรด (Photo Modules) และตัวส่งอินฟราเรด วางในตำแหน่งตรงกันข้าม เมื่อไม่มีฝ่าหรือหลอดอยู่ในตำแหน่งที่ต้องการซึ่งอยู่ระหว่างตัวรับอินฟราเรดและตัวส่งอินฟราเรด ตัวรับอินฟราเรดจะสามารถรับแสงอินฟราเรดจากตัวส่งอินฟราเรดได้ ดังรูปที่ 2.29 และเมื่อมีฝ่าหรือหลอดอยู่ในตำแหน่งที่ต้องการ เนื่องจากฝ่าและหลอดเป็นวัตถุทึบแสง เมื่ออยู่ระหว่างตัวรับอินฟราเรดและตัวส่งอินฟราเรด ตัวรับอินฟราเรดจึงไม่สามารถรับแสงอินฟราเรดจากตัวส่งอินฟราเรดได้ ดังรูปที่ 2.30



รูปที่ 2.28 ตัวตรวจจับวัตถุ เมื่อไม่มีวัตถุอยู่ในตำแหน่งที่ต้องการ



รูปที่ 2.29 ตัวตรวจจับวัตถุ เมื่อไม่มีวัตถุอยู่ในตำแหน่งที่ต้องการ

#### 2.3.1 อินฟราเรด LED (Infrared LED)

เอกสารนี้เป็นเอกสารที่สงวนไว้สำหรับการใช้งานเพื่อการศึกษาเท่านั้น ไม่อนุญาตให้นำไปใช้ประโยชน์ด้านการค้า ไม่ว่ากรณีใดๆ ทั้งสิ้น อีกทั้งห้ามมิให้ดัดแปลงเนื้อหา และต้องอ้างอิงถึงเจ้าของเอกสารทุกครั้งที่มีการนำไปใช้

แรงดันตกคร่อมที่รอยต่อ P N ของไดโอด (Diode) ต้องมีค่ามากกว่าแรงดันขีดเริ่ม (Threshold Voltage) จึงจะสามารถทำให้ไดโอดนำกระแสได้ สำหรับซิลิคอนไดโอดแรงดันขีดเริ่มจะมีค่าประมาณ 0.6 โวลต์ ส่วน LED ที่ให้แสงในย่านที่สามารถมองเห็นได้ ถ้าทำจากสาร GaP ซึ่งให้แสงสีเขียว จะมีค่าแรงดันขีดเริ่มประมาณ 2.1 โวลต์ ถึง 2.8 โวลต์ ถ้าเป็น LED ที่ทำจาก AlGaAs ให้แสงสีแดง มีแรงดันทำงาน 1.75 ถึง 2.5 โวลต์ ส่วนแอลอีดีที่ให้แสง ใกล้ย่านอินฟราเรดทำจากสาร GaAs มีแรงดันทำงาน 1.5 โวลต์ โดยให้แสงที่มีความยาวคลื่น 940 นาโนเมตร และถ้าทำจาก AlGaAs จะได้แสงความยาวคลื่น 880 นาโนเมตร ที่แรงดัน 1.75 โวลต์

พลังงานที่ได้จากการเปล่งแสงของแอลอีดีหาได้จากกระแสไบอัสตรงของไดโอดและต้องระมัดระวังไม่ให้กระแสส่วนนี้มีค่าสูงจนเกิดความร้อนอันจะทำอันตรายต่อไดโอดจึงจำเป็นต้องมีการต่อตัวต้านทานอนุกรมที่เหมาะสม เพื่อจำกัดกระแสทำให้สามารถใช้งานแอลอีดีได้อย่างต่อเนื่อง รูปที่ 2.31 แสดงการจำกัดกระแสเบื้องต้นของแอลอีดีโดยสามารถคำนวณได้จากสูตร



รูปที่ 2.30 การจำกัดกระแสของแอลอีดีเบื้องต้น

สิ่งที่สำคัญที่สุดของแอลอีดีอินฟราเรดกำลังงานสูงคือ ชินสาร AlGaAs ที่ให้ความยาวคลื่น 880 นาโนเมตร และสาร GaAs ซิลิคอนไดโอดที่ให้แสงความยาวคลื่น 940 นาโน

ซิลิคอนแอลอีดีที่ทำจาก GaAs ให้กำลังงานประมาณ 5 มิลลิวัตต์ ที่กระแสไบอัสตรง 100 มิลลิแอมป์ แอลอีดีที่ทำจาก AlGaAs จะให้กำลังงานเป็น 2 เท่า เมื่อให้กระแสไบอัสตรงค่าเดียวกัน ข้อที่ดีกว่าอีกประการหนึ่งของ แอลอีดีชนิด AlGaAs คือ มี rise time และ fall time ที่เร็วกว่าคือ ประมาณ 0.5 ไมโครวินาที ในขณะที่ GaAs ซิลิคอนไดโอดมีค่า 1.5 ไมโครวินาที

ข้อดีอีกประการหนึ่งคือ การเปล่งแสงแอลอีดีที่ความยาวคลื่น 880 นาโนเมตร (AlGaAs) จะใกล้เคียงกับความยาวคลื่นที่ซิลิคอนโฟโตรีซิสเตอร์ มีความไวสูงสุดจึงเป็นการเหมาะสมที่จะใช้แอลอีดีที่มีความยาวคลื่น 880 นาโนเมตร แทนแอลอีดีที่มีความยาวคลื่น 940 นาโนเมตร

นอกจากนั้น แอลอีดีที่ให้ความยาวคลื่นแสง 880 นาโนเมตร ยังไม่ถูกคุกคามโดยละอองน้ำ

เอกสารนี้เป็นเอกสารที่สงวนไว้สำหรับการใช้งานเพื่อการศึกษาเท่านั้น ไม่อนุญาตให้นำไปใช้ประโยชน์ด้านการค้า ไม่ว่าจะกรณีใดๆ ทั้งสิ้น อีกทั้งห้ามมิให้ดัดแปลงเนื้อหา และต้องอ้างอิงถึงเจ้าของเอกสารทุกครั้งที่มีการนำไปใช้

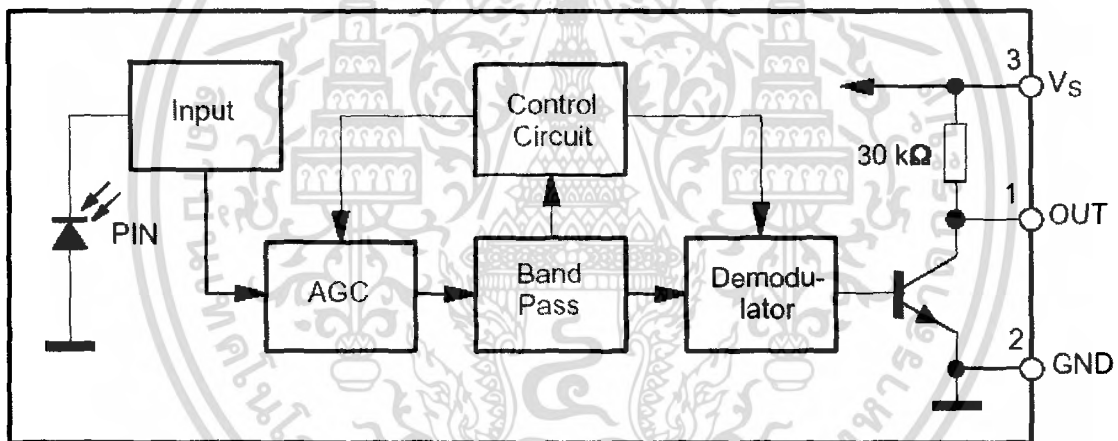
เหมือนแอลอีดีที่ให้ความยาวคลื่น 940 นาโนเมตร จึงสามารถนำไปใช้ในการตรวจจับไอน้ำในอากาศแอลอีดีชนิด 940 นาโนเมตร ไม่เหมาะกับการสื่อสารด้วยแสงภายนอกเพราะจุดอ่อนเรื่องการถูกดูดกลืนด้วยไอน้ำในอากาศนั่นเอง ส่วนแอลอีดีชนิดซิลิคอนที่ทำจาก GaAs มักจะใช้เป็นแหล่งกำเนิดแสงย่านอินฟราเรด การส่งสัญญาณแสงอินฟราเรดสามารถกระทำได้ด้วยวงจรง่าย ๆ ดังรูปที่ 3.4 (A) ซึ่งประกอบด้วย LED ที่เปล่งแสงในย่านอินฟราเรดต่อเข้ากับแหล่งจ่ายไฟโดยมีความต้านทาน  $R_1$  ทำหน้าที่จำกัดกระแส

### 2.3.2 วงจรภาครับของระบบอินฟราเรด

#### 2.3.2.1 โฟโต้โมดูล (Photo Modules)

โฟโต้โมดูลเบอร์ TSOP 4838 ถูกออกแบบมาเพื่อใช้ในการรับส่งสัญญาณอินฟราเรด โดยมีการใช้งานร่วมกับ LED อินฟราเรด ซึ่งอาศัยสัญญาณดิจิทัลทางด้านอินพุตไปควบคุมวงจรทางด้านเอาต์พุต

ภายในโฟโต้โมดูลประกอบไปด้วย Pin Diode และวงจร Pre - Amplifier มีโครงสร้างภายในดังรูปที่ 2.33



รูปที่ 2.31 โครงสร้างภายในของโฟโต้โมดูล

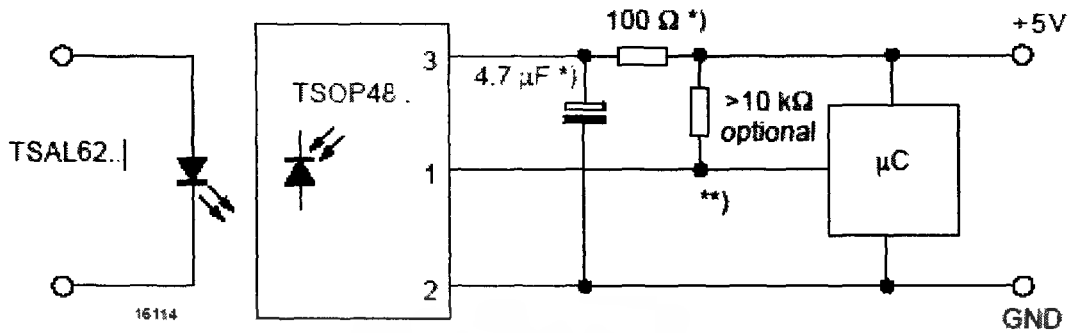
#### คุณสมบัติของโฟโต้โมดูล

- มีวงจร Photo Detector และ Pre - Amplifier ภายในตัว
- มีวงจร Band Pass Filter สำหรับกรองความถี่ใช้งาน
- รักษาระดับการทำงานของวงจรต่อสภาพแวดล้อมที่มีการเปลี่ยนแปลงของแสง
- เอาต์พุตทำงานที่ลอจิก "0"
- สามารถส่งข้อมูลต่อเนื่องได้ 800 บิต/วินาที
- Burst Length ที่เหมาะสมในการใช้งานต้องไม่ต่ำกว่า 10 cycle/burst

เอาต์พุตที่ได้จากโฟโต้โมดูลสามารถนำไปต่อใช้งานกับไมโครคอนโทรลเลอร์ได้

เอกสารนี้เป็นเอกสารที่สงวนไว้สำหรับการใช้งานเพื่อการศึกษาเท่านั้น ไม่อนุญาตให้นำไปใช้ประโยชน์ด้านการค้า ไม่ว่าจะกรณีใดๆ ทั้งสิ้น อีกทั้งห้ามมิให้ดัดแปลงเนื้อหา และต้องอ้างอิงถึงเจ้าของเอกสารทุกครั้งที่มีการนำไปใช้

โดยตรง มีลักษณะการต่อวงจรตามรูปที่ 2.34



รูปที่ 2.32 การต่อใช้งาน

2.3.2.2 การควบคุมด้วยสัญญาณ โทนเบิร์ต (Tone Burst)

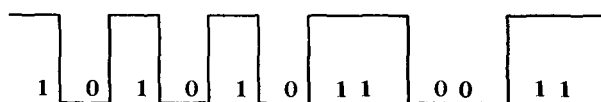
สัญญาณ โทนเบิร์ตเป็นสัญญาณที่มีการคัดแปลงรูปแบบของสัญญาณให้มีลักษณะคล้ายกับการส่งคลื่นวิทยุเพื่อป้องกันการรบกวนจากสิ่งแวดล้อมหรือจากเครื่องส่งอื่น ๆ ที่อยู่บริเวณใกล้เคียง หากมีรูปแบบการเข้ารหัสเหมือนกัน

ลักษณะสัญญาณแบบโทนเบิร์ตแสดงดังรูปที่ 2.35 ซึ่งสร้างจากสัญญาณที่มีสถานะเป็น High ของสัญญาณควบคุมแบบธรรมดา สัญญาณ โทนเบิร์ตประกอบด้วยพัลส์ความถี่สูงแบบต่อเนื่องตลอดช่วงความกว้างของบิตที่เป็น 1 ในขณะที่บิตข้อมูลอยู่ในสถานะ Low สัญญาณที่ได้จะเหมือนเดิมไม่มีการเปลี่ยนแปลงแต่อย่างใด ขั้นตอนของการเกิดสัญญาณ โทนเบิร์ตแสดงดังรูปที่ 2.35



รูปที่ 2.33 ลักษณะสัญญาณแบบโทนเบิร์ต

ซึ่งการกำเนิดสัญญาณ โทนเบิร์ตทำได้ดังนี้

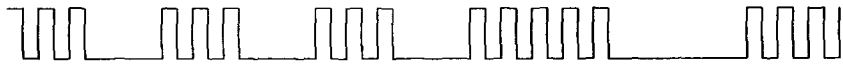


รูปที่ 2.34 สัญญาณ โทนเบิร์ตที่ออกจาก TXD เป็น 35H

เอกสารนี้เป็นเอกสารที่สงวนไว้สำหรับการใช้งานเพื่อการศึกษาเท่านั้น ไม่อนุญาตให้นำไปใช้ประโยชน์ด้านการค้า ไม่ว่าจะกรณีใดๆ ทั้งสิ้น อีกทั้งห้ามมิให้ดัดแปลงเนื้อหา และต้องอ้างอิงถึงเจ้าของเอกสารทุกครั้งที่มีการนำไปใช้



(ก)



(ข)

### รูปที่ 2.35 แสดงขั้นตอนการเกิดสัญญาณโทนเบริสต์

(ก) สัญญาณจากออสซิลเลเตอร์ความถี่ประมาณ 38KHz

(ข) เมื่อนำสัญญาณทั้งคู่มารวมกันจะได้สัญญาณโทนเบริสต์

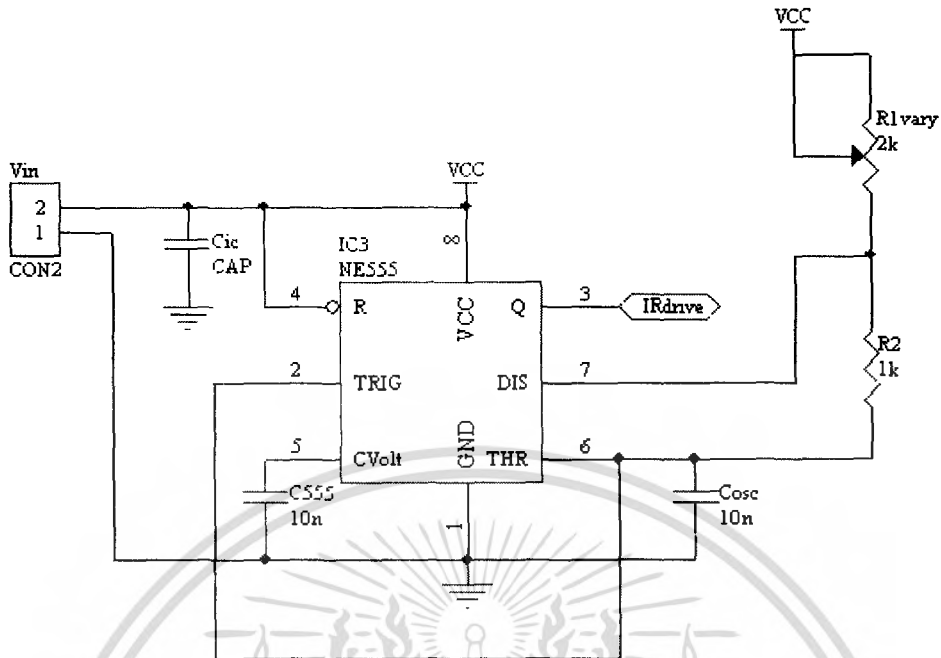
สำหรับวงจรตัวรับจะต้องทำการออกแบบให้มีการตอบสนองต่อสัญญาณโทนเบริสต์ ช่วงความถี่ที่เหมาะสมกัน จึงสามารถออกแบบชุดรีโมตคอนโทรล ที่มีค่าความถี่ของสัญญาณโทนเบริสต์แตกต่างกัน เพื่อนำมาควบคุมอุปกรณ์ในพื้นที่ใกล้เคียงกันได้ โดยปราศจากการรบกวนซึ่งกันและกัน

ในขณะเดียวกัน ตัววงจรส่งอาจถูกออกแบบให้มีการเปลี่ยนแปลงค่าความถี่ของสัญญาณโทนเบริสต์เป็นค่าต่าง ๆ ได้ซึ่งช่วยให้สามารถใช้เครื่องส่งเพียงตัวเดียวสำหรับการควบคุมอุปกรณ์ไฟฟ้าหลายชนิดได้พร้อมกัน

ข้อดีอีกประการของการส่งสัญญาณแบบโทนเบริสต์ ก็คือสามารถขจัดสัญญาณรบกวนจากภายนอกได้ดีมาก ตัวอย่างเช่น ระบบควบคุมที่ใช้สัญญาณแสง หรือแสงอินฟราเรดที่ส่งด้วยพัลส์ธรรมดาอาจมีแสงจากภายนอก แสงจากหลอดไฟ หรือแม้กระทั่งแสงอาทิตย์ที่เข้ารบกวนที่เครื่องรับจนอาจเกิดข้อผิดพลาดในการรับสัญญาณควบคุมได้ แต่หากมีการใช้สัญญาณโทนเบริสต์แล้วสิ่งรบกวนต่าง ๆ เหล่านี้จะถูกขจัดออกไปได้โดยสิ้นเชิง

ในการส่งสัญญาณโทนเบริสต์ จะต้องมีการเพิ่มวงจรกำเนิดสัญญาณความถี่สูงเข้ามาในวงจรส่งสัญญาณควบคุมด้วย เนื่องจากสิ่งที่ถูกเพิ่มเข้ามาจากสัญญาณพัลส์ธรรมดา ก็คือ พัลส์ความถี่สูงโดยใช้ไอซีชอตนิยมเบอร์ 555 ต่อเป็นวงจรออสซิลเลเตอร์ ซึ่งสามารถนำเอาท์พุทที่ได้ไปขับ LED อินฟราเรดได้โดยตรง หรือหากต้องการเพิ่มกำลังส่งอาจใช้ทรานซิสเตอร์ขยายกำลังก่อนนำไปขับ LED อินฟราเรดก็ได้

### 2.3.2.3 วงจรภาคส่งของระบบอินฟราเรด



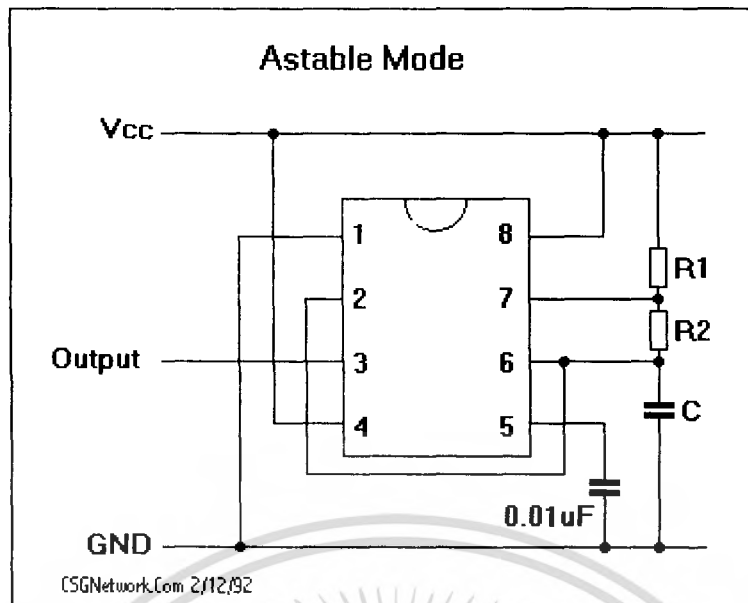
รูปที่ 2.36 วงจรตัวส่งอินฟราเรด

การออกแบบสัญญาณ Carrier 38 kHz ใช้ IC เบอร์ 555 ซึ่งต่อเป็นวงจร ออสซิลเลเตอร์แบบมัลติไวเบรเตอร์เพื่อสร้างเป็นสัญญาณ carrier 3 kHz ซึ่งรูปแบบของความถี่นั้นจะอยู่ในรูปของสัญญาณพัลส์สี่เหลี่ยม ที่มีความกว้างของพัลส์ดังรูปที่ 2.38



รูปที่ 2.37 สัญญาณที่ได้จากเอาต์พุตของออสซิลเลเตอร์แบบมัลติไวเบรเตอร์

จากรูปจะเห็นว่าช่วงเวลา  $t_1$  และ  $t_2$  เราสามารถที่จะกำหนดได้ว่าให้มีความกว้างเป็นเท่าไร โดยคิดเป็นเปอร์เซ็นต์ เช่นเราให้มีให้มีความกว้างของ  $t_1 = t_2$  นั่นคือ คิวตี้ไซเคิลเท่ากับ 50% การออกแบบเราสามารถออกแบบได้ดังรูปที่ 2.39



รูปที่ 2.38 แสดงวงจร ออสเตเบิลมีลต์ติไวเบรเตอร์ 38 kHz

จากสมการ

$$t_1 + t_2 = T = 0.693(R_1 + 2R_2) C$$

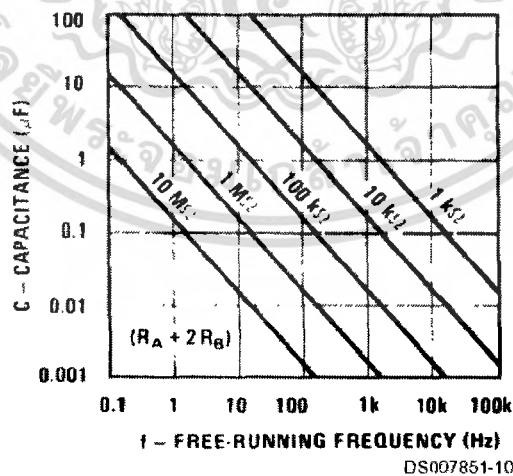
และ

$$F = 1.44 / (R_1 + 2R_2) C$$

แทนค่า  $F = 38 \text{ kHz}$  จะได้

$$38 \times 10^3 = 1.44 / (R_1 + 2R_2) C$$

จากสมการข้างต้นเรามีตัวแปร 2 ตัวคือ R และ C การออกแบบเราจะทำการกำหนดค่าของ C ก่อน



รูปที่ 2.39 กราฟแสดงความสัมพันธ์ของค่า R และ C และความถี่

จากตารางเลือกค่า  $C = 0.01 \mu F$

เอกสารนี้เป็นเอกสารที่สงวนไว้สำหรับการใช้งานเพื่อการศึกษาเท่านั้น ไม่อนุญาตให้นำไปใช้ประโยชน์ด้านการค้า ไม่ว่ากรณีใดๆ ทั้งสิ้น อีกทั้งห้ามมิให้ดัดแปลงเนื้อหา และต้องอ้างอิงถึงเจ้าของเอกสารทุกครั้งที่มีการนำไปใช้

$$\begin{aligned}
\text{จะได้} \quad 38 \times 10^3 &= 1.44 / (R_1 + 2R_2) \times 0.01 \times 10^{-6} \\
R_1 + 2R_2 &= 1.44 / (38 \times 10^3 \times 0.01 \times 10^{-6}) \\
&= 3.8 \text{ kHz} \\
\text{ให้} \quad R_1 &= 220 \Omega \\
220 + 2R_2 &= 3.8 \times 10^3 \\
R_2 &= (3.8 \times 10^3 - 220) / 2 \\
&= 1.79 \text{ k}\Omega \\
\text{ค่าตัวชี้โวลเทจเกิด} \quad D &= (R_1 + R_2) / (R_1 + 2R_2) \\
&= (220 + 1.79 \times 10^3) / (220 + 2 \times 1.79 \times 10^3) \\
&= 53\%
\end{aligned}$$

### 2.3.3 โครงสร้างของไมโครคอนโทรลเลอร์ (PIC)

Microcontroller PIC มีโครงสร้างหลายลักษณะ ทั้ง 8 pins , 18 pins , 28 pins และ 40 pins ซึ่งมีให้เลือกใช้มากมายขึ้นอยู่กับว่าจะเลือกใช้ขนาด Memory เท่าใดเหมาะสมกับลักษณะงานที่ทำ โดยสามารถแบ่งหน่วยความจำได้ 3 แบบ คือ

- (1) หน่วยความจำโปรแกรมแบบแฟลช (Flash Program Memory) มีขนาดความจุ 1-32 kwords
- (2) หน่วยความจำข้อมูล (Data Memory RAM) มีขนาดความจุ 64 ถึง 1536 byte
- (3) หน่วยความจำข้อมูล (EEPROM Data Memory) มีขนาดความจุถึง 256 bytes

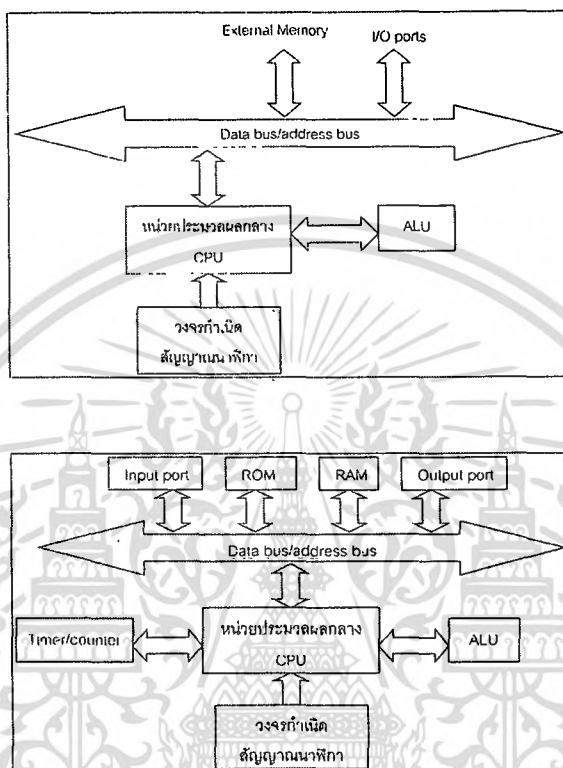
Microcontroller PIC16F877 มีพอร์ตใช้งานทั้งสิ้น 5 พอร์ต คือ PORTA 6 บิต , PORTB 8 บิต , PORTC 8 บิต , PORTD 8 บิต และ PORTE 3 บิต เป็นพอร์ตแบบมี 2 ทิศทาง คือ สามารถเป็นได้ทั้งอินพุต และเอาต์พุต และยังเป็นพอร์ตที่สามารถแปลงสัญญาณ ADC (Analog to Digital Converter) ได้อีกด้วย Microcontroller PIC มีคุณลักษณะดังต่อไปนี้

- มีพอร์ต I/O ขนาด 3 บิต , 6 บิต , 8 บิต จำนวน 5 พอร์ต
- มีหน่วยความจำโปรแกรมแบบแฟลช 1 ถึง 32 kwords
- มีหน่วยความจำข้อมูลแรม RAM 64 ถึง 1536 bytes
- มีหน่วยความจำข้อมูลอีอีพรอม EEPROM 256 bytes
- Timer/Counter
  - Timer 0 ขนาด 8 บิต
  - Timer 1 ขนาด 16 บิต
  - Timer 2 ขนาด 8 บิต

เอกสารนี้เป็นเอกสารที่สงวนไว้สำหรับการใช้งานเพื่อการศึกษาเท่านั้น ไม่อนุญาตให้นำไปใช้ประโยชน์ด้านการค้าไม่ว่ากรณีใดๆ ทั้งสิ้น อีกทั้งห้ามมิให้ดัดแปลงเนื้อหา และต้องอ้างอิงถึงเจ้าของเอกสารทุกครั้งที่มีการนำไปใช้

- มีกระแสซิงก์และกระแสซอร์ส (High Sink/Source Current) 25 mA
- มีวงจรแปลงสัญญาณ Analog to Digital Converter 10 บิต
- มีวงจรแบบอนุกรมทั้ง SPI และ I<sup>2</sup>C (Master/Slave)

มีวงจร Pulse Width Modulation (PWM) ความละเอียดสูงถึง 10 บิตมีหน่วยความจำแบบFlash สามารถเขียนและลบได้มากกว่า100,000 ครั้ง



รูปที่ 2.40 แสดง โครงสร้างไมโครคอนโทรลเลอร์

### 2.3.3.1 พอร์ตอินพุต/เอาต์พุต (I/O port)

ไมโครคอนโทรลเลอร์จะมีพอร์ตสำหรับติดต่อสื่อสารกับอุปกรณ์ภายนอกแล้วแต่วัตถุประสงค์ในการใช้งานและคุณสมบัติของพอร์ต โดยสามารถติดต่อสื่อสารภายนอกทำหน้าที่เป็นอินพุตและเอาต์พุตได้ เช่น Pushbutton, Keypad, Sensor, LCD, Timer/Counter ตลอดจนการแปลงสัญญาณ Analog to Digital Converter เป็นต้น

Microcontroller PIC ถูกพัฒนาเพื่อใช้งานด้านอุตสาหกรรมโดยมีการผลิตมากมายหลายชนิดหลายรุ่นขึ้นอยู่กับวัตถุประสงค์ของผู้ใช้

## บทที่ 3

### การคำนวณและการสร้าง

#### 3.1 การออกแบบกลไกการปิดและการลำเลียง

##### 3.1.1 งานลำเลียงหลอด

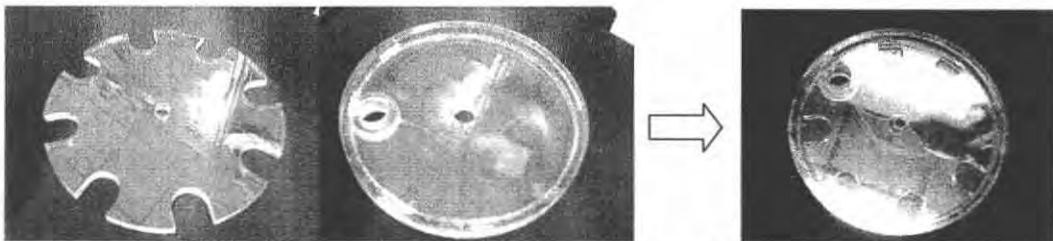
เป็นชิ้นส่วนที่ใช้ในการลำเลียงหลอดจากสายพานสู่ตำแหน่งที่ทำการ capping โดยใช้ Stepping motor ในการทำงานเนื่องจากทำงานแบบเป็น Step โดยการแบบตั้งออกแบบให้รองรับกับแรงที่กดมาจากแท่งกด ซึ่งมีขนาด 20 นิวตัน วัสดุเลือกใช้ “ซูเปอร์ดีน” เป็นวัสดุที่มีความเหนียวคงทน และเปลี่ยนรูปยาก การออกแบบได้ทำเป็นลักษณะงานกลมหนา เจาะรูรอบจานจำนวน 8 รู โดยมีขนาดที่พอดีกับหลอด Specimen tube แต่สามารถเทออกมาได้ มีรูอยู่ที่ตำแหน่งต่างๆของร่องที่เจาะเพื่อทำการระบายอากาศออกขณะที่หลอดกำลังเข้าไปในงาน



รูปที่ 3.1 แสดงงานลำเลียงหลอด

##### 3.1.2 งานลำเลียงฝา

มีลักษณะงานกลมทำจากอะลูมิเนียม ใช้ในการลำเลียงฝาจากรางลำเลียง ซึ่งทำงานโดยใช้ Stepping motor เช่นเดียวกับมอเตอร์ของงานลำเลียงหลอด โดยในงานลำเลียงจะมีตำแหน่งรูที่มีขนาดใหญ่กว่าฝายู 1 รู เพื่อให้ฝายูตกลงไปตำแหน่งหลอดที่อยู่บนงานลำเลียงหลอด ซึ่งเป็นตำแหน่งที่มารับรองกันเพื่อจะปิด เนื่องจากชิ้นส่วนนี้ไม่ต้องรับแรงจึงไม่จำเป็นต้องเป็นวัสดุที่แข็งแรงมากนัก จึงใช้อะลูมิเนียม



รูปที่ 3.2 แสดงงานลำเลียงฝา

เอกสารนี้เป็นเอกสารที่สงวนไว้สำหรับการใช้งานเพื่อการศึกษาเท่านั้น ไม่อนุญาตให้นำไปใช้ประโยชน์ด้านการค้าไม่ว่ากรณีใดๆ ทั้งสิ้น อีกทั้งห้ามมิให้ดัดแปลงเนื้อหา และต้องอ้างอิงถึงเจ้าของเอกสารทุกครั้งที่มีการนำไปใช้

### 3.1.3 กลไกการปิด

เป็นกลไกที่มีการส่งผ่านแรงไปยังชิ้นส่วนต่างๆ โดยมีการติดตั้งในแนวตั้งประกอบด้วย 3 ชิ้นส่วน ดังนี้

#### 3.1.3.1 แท่งปิด

เนื่องจากเป็นชิ้นที่ต้องปิดฝาดังนั้นจึงต้องมีความแข็งแรง รูปร่างเป็นแท่งกลม ทำจากสแตนเลส ตรงปลายที่จะปิดมีการกลึงให้มีขนาดเท่ากับรูของฝา และมีการตัดหน้าให้มีอากาศระบายออกได้ขณะทำการปิด



รูปที่ 3.3 แสดงแท่งปิด

#### 3.1.3.2 แขนเชื่อมต่อ

ทำจากอลูมิเนียมซึ่งมีคุณสมบัติเหมือนกับเหล็กแต่เบากว่า มีการคิดเบริงที่รูทง 2 อันเพื่อให้ชิ้นที่มาต่อสามารถหมุนได้

#### 3.1.3.3 ชิ้นยึดกับมอเตอร์

ชิ้นนี้เนื่องจากเป็นชิ้นที่ยึดติดกับมอเตอร์ จำต้องมีการออกแบบที่ให้ความสมดุล ทำให้แกนมอเตอร์เสียหาย โดยออกแบบเป็นรูปตัวทีที่การออกแบบได้ทำการหาจุดเซนทรอยด์ เพื่อเป็นจุดยึดกับแกนมอเตอร์ทำให้เกิดความสมดุล



รูปที่ 3.4 แสดงชิ้นยึดติดกับมอเตอร์

#### 3.1.3.4 โครงยึดมอเตอร์

เนื่องจากมอเตอร์มีลักษณะกลมจึงได้มีการทำบล็อกให้กับมอเตอร์เพื่อถ่วงการสั่นสะเทือน วัสดุทำจากเหล็กชุบเนื่องจากมีความแข็งแรงและราคาถูก

เอกสารนี้เป็นเอกสารที่สงวนไว้สำหรับการใช้งานเพื่อการศึกษาเท่านั้น ไม่อนุญาตให้นำไปใช้ประโยชน์ด้านการค้า ไม่ว่าจะกรณีใดๆ ทั้งสิ้น อีกทั้งห้ามมิให้ดัดแปลงเนื้อหา และต้องอ้างอิงถึงเจ้าของเอกสารทุกครั้งที่มีการนำไปใช้

### 3.1.4 ออกแบบบังคับคัดเรียงฝา

การออกแบบได้ทำการศึกษาจากหลักการต่างๆที่ตามโรงงานเคยใช้ ได้แก่ หลักการสร้างสนามแม่เหล็ก โดยการใช้แผ่นคอยล์ อย่างน้อย 2 แผ่น ในการสร้างสนามแม่เหล็กขึ้น ทำให้เกิดการสั้นของตัวถัง ทำให้ ฝาต่างๆ เคลื่อนที่ออกจากจุดศูนย์กลางตามแนวของสนามแม่เหล็ก แต่มีปัญหาคือทำให้เครื่องสั้น ซึ่งอาจจะส่งผลกระทบต่อกลไกการปิด ดังนั้นจึงได้ใช้หลักการอื่นโดยเน้นไปทางการศึกษาลักษณะของฝา โดยจะให้ฝาล่วงก่อนที่จะถูกนำไปทำการปิด ใช้มอเตอร์กระแสตรงขนาด 12 โวลต์ หมุนฐานเพื่อให้ฝาดกลงบนเสาแต่ละเสา จากนั้นจึงถูกลำเลียงขึ้นบนรางอะคิลิก เพื่อส่งออกไปยังงานลำเลียงฝา โดยใช้มอเตอร์ขนาดเล็กช่วยในการทำให้หลอดออกจากถังคัดได้เร็วขึ้น

ลักษณะของฝาลงที่ตกลงไปบนฐานที่หมุน มีลักษณะที่ดังต่อไปนี้

ประเภทที่ 1 ลงในลักษณะคว่ำ

ประเภทที่ 2 ลงในลักษณะอื่นๆ

ประเภทที่ 1 ลงในลักษณะคว่ำ ในลักษณะนี้ฝาลงสามารถลงไปครอบเสาเนื่องจากเสามีขนาดเล็กกว่าฝา ได้มีการทำให้หัวเสามีลักษณะโค้งมน เพื่อให้ฝาลงสามารถลงไปครอบเสาได้ง่ายขึ้น

ประเภทที่ 1

ประเภทที่ 2 ลงในลักษณะอื่นๆ คือลงในลักษณะที่ไม่สามารถลงไปครอบเสาได้ โดยระยะห่างระหว่างเสาที่ได้ออกแบบ ฝาลงไม่สามารถลงไปได้ แต่ฝาลงสามารถลงไปครอบเสา โดยฐานที่ติดกับมอเตอร์จะหมุนจนกว่าฝาลงจะไปครอบเสา



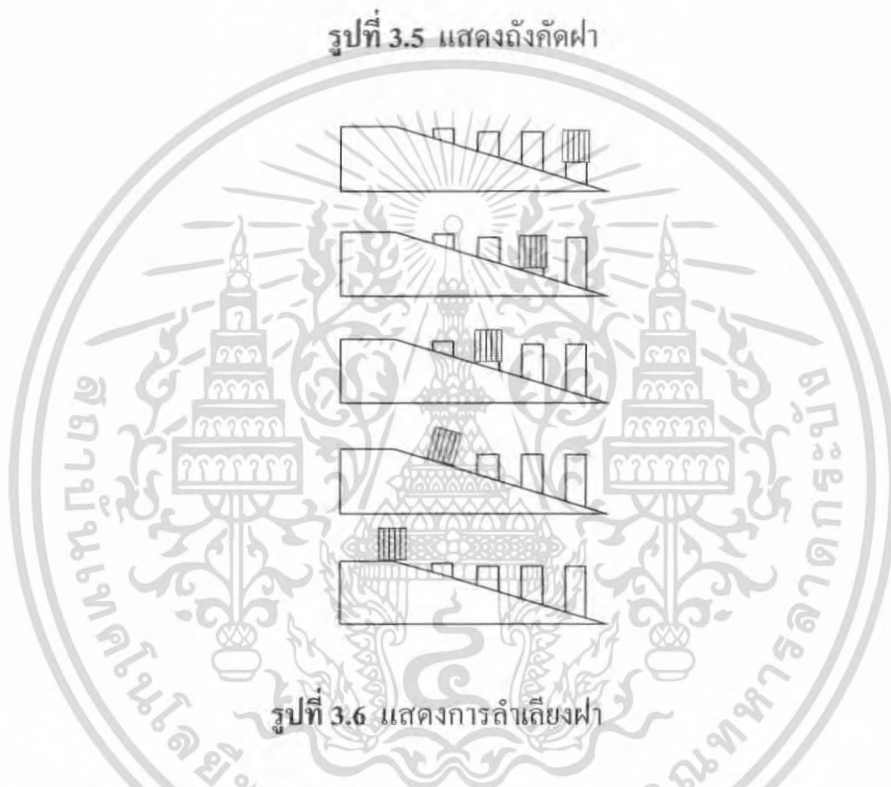
ประเภทที่ 2

เอกสารนี้เป็นเอกสารที่สงวนไว้สำหรับการใช้งานเพื่อการศึกษาเท่านั้น ไม่อนุญาตให้นำไปใช้ประโยชน์ด้านการค้า ไม่ว่าจะกรณีใดๆ ทั้งสิ้น อีกทั้งห้ามมิให้ดัดแปลงเนื้อหา และต้องอ้างอิงถึงเจ้าของเอกสารทุกครั้งที่มีการนำไปใช้

หลังจากที่ฟ้าได้ลงมาครอบเสาแล้ว จะถูกลำเลียงจนถึงรางอคลิก ซึ่งจะอยู่ระหว่างเสาที่เคลื่อนที่บนฐานที่ติดกับมอเตอร์ โดยรางอคลิกนี้จะทำหน้าที่ในการลำเลียงฝาจานออกไปนอกถึงคัตในลักษณะฟ้าที่คว่ำ โดยสามารถอธิบายได้ดังรูปต่อไปนี้



รูปที่ 3.5 แสดงถึงคัตฟ้า



รูปที่ 3.6 แสดงการลำเลียงฝ่า

การสร้างเลือกใช้อคลิกเนื่องจากมีน้ำหนักที่เบาและมีราคาถูก อีกทั้งยังมีความคงทน แต่เนื่องจากอคลิกหนามีราคาแพงจึงได้นำอคลิกหนา 5 มิลลิเมตร มาต่อกันเพื่อประกอบเป็นถึงมีส่วนประกอบดังต่อไปนี้

### 2.1 ตัวถัง ทำจากอะคลิก

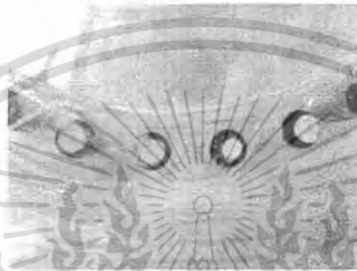


เอกสารนี้เป็นเอกสารที่สงวนไว้สำหรับการใช้งานเพื่อการศึกษาเท่านั้น ไม่อนุญาตให้นำไปใช้ประโยชน์ด้านการค้า ไม่ว่าจะกรณีใดๆ ทั้งสิ้น อีกทั้งห้ามมิให้ดัดแปลงเนื้อหา และต้องอ้างอิงถึงเจ้าของเอกสารทุกครั้งที่มีการนำไปใช้

## 2.2 มอเตอร์กระแสตรง 24 โวลต์



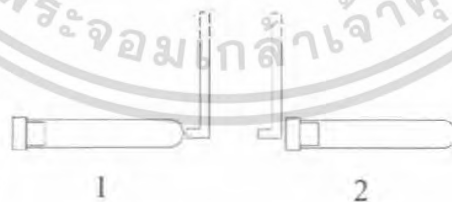
## 2.3 เสา จำนวน 30 เสา ทำจากไม้



### 3.1.5 ถังค้ำเรียงหลอด

มีหลักการทำงานคือ เมื่อเทหลอดลงในถังค้ำที่มีฐานหมุนด้วยมอเตอร์ไฟฟ้ากระแสตรง หลอดจะตกลงในร่อง ที่ผนังของถังจะมีสปริงซึ่งทำหน้าที่กลับทิศทางของหลอดที่มาในลักษณะที่ถูกขยงมาก่อน โดยจะมีสปริง 2 ตัวเพื่อเป็นตัวสำรองเมื่อมีการทำงานอย่างรวดเร็ว หรือ มีหลอดที่มาในทิศทางกลับด้านติดกันอย่างน้อย 2 หลอด หลอดที่ออกจากถังค้ำจะอยู่ในทิศทางเดียวกัน คือ ปลายหลอดน้ำ ทิศทางของหลอดที่ตกลงไปในร่องอาจเกิดได้ 2 ลักษณะ ดังนี้

1. ลักษณะปลายหลอดน้ำ ลักษณะนี้หลอดสามารถผ่านไป ได้โดยไม่มีเกี่ยวข้องกับสปริง

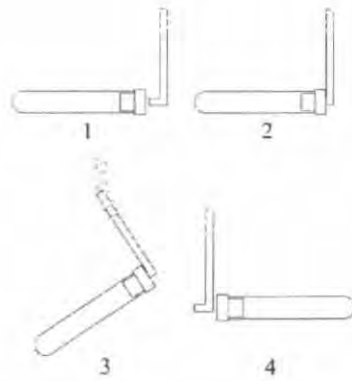


รูปที่ 3.7 แสดงลักษณะปลายหลอดน้ำ

2. ลักษณะจุกขยงน้ำ มีหลักการทำงานของสปริงดังนี้

เมื่อจุกขยงหลอดไปถึงสปริงดังรูปที่ 2 ก็จะถูกเกี่ยวขึ้นตามรูปที่ 3 จะทำให้หลอดมีทิศทางเดียวกับลักษณะแรก ดังรูปที่ 4

เอกสารนี้เป็นเอกสารที่สงวนไว้สำหรับการใช้งานเพื่อการศึกษาเท่านั้น ไม่อนุญาตให้นำไปใช้ประโยชน์ด้านการค้า ไม่ว่าจะกรณีใดๆ ทั้งสิ้น อีกทั้งห้ามมิให้ดัดแปลงเนื้อหา และต้องอ้างอิงถึงเจ้าของเอกสารทุกครั้งที่มีการนำไปใช้



รูปที่ 3.8 แสดงลักษณะจุกยางนำ



รูปที่ 3.9 แสดงถึงกััดเรียงหลอด

### 3.2 การออกแบบโครงสร้าง

วัสดุที่ใช้คืออะลูมิเนียมเนื่องจากเป็นวัสดุที่มีความคงทนและสามารถรับแรงกดและเรื่องเฉือนได้สูง ลักษณะของอะลูมิเนียมที่ใช้เป็นอะลูมิเนียมฉาก และ อะลูมิเนียมแท่งสี่เหลี่ยม ใช้การเชื่อมต่อแต่ละส่วนเข้าด้วยกันด้วยน็อตขนาดต่างๆ เนื่องจากอะลูมิเนียมเชื่อมได้ยาก

หลักการในการออกแบบโครงสร้างจะต้องคำนึงถึงว่าจะมีส่วนไหนที่ต้องรับแรงบ้าง อีกทั้งจะต้องมีความสมดุลของโครงสร้าง เนื่องจากมีแรงกดจากมอเตอร์กระแสตรงขนาด 24 โวลต์

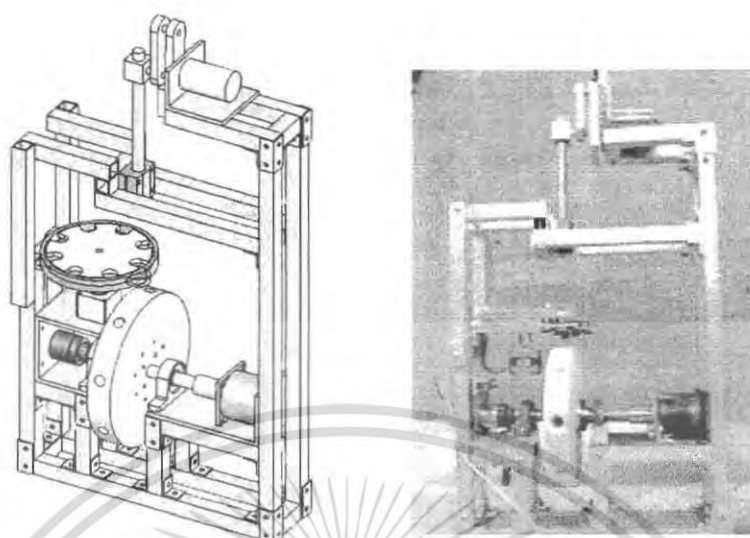


อะลูมิเนียมแท่งสี่เหลี่ยม



อะลูมิเนียมฉาก

เอกสารนี้เป็นเอกสารที่สงวนไว้สำหรับการใช้งานเพื่อการศึกษาเท่านั้น ไม่อนุญาตให้นำไปใช้ประโยชน์ด้านการค้าไม่ว่ากรณีใดๆ ทั้งสิ้น อีกทั้งห้ามมิให้ดัดแปลงเนื้อหา และต้องอ้างอิงถึงเจ้าของเอกสารทุกครั้งที่มีการนำไปใช้



รูปที่ 3.10 แสดงโครงสร้างเครื่อง

### 3.2.1 การเลือกวัสดุ

วัสดุที่เลือกใช้ในส่วนของเครื่องได้เลือกใช้ 5 ชนิด ได้แก่

- เหล็ก SUS ( สแตนเลส ) เป็นโลหะที่มีสารประกอบของเหล็ก โครเมียม และนิกเกิล มีลักษณะเด่นคือ ไม่ขึ้นสนิม มีความทนทานต่อความร้อนและความเย็น ชิ้นงานที่ทำจากสแตนเลส ได้แก่ แขนปิด เป็นชิ้นส่วนสำคัญในการปิด และต้องการความแข็งแรงในการกดแกนเพลานี้ เนื่องจากเป็นชิ้นส่วนที่ต้องการความแข็งแรงเพื่อรับน้ำหนักของการกด

- อะลูมิเนียม ลักษณะพิเศษของอะลูมิเนียม คือ เป็นโลหะที่เบา สามารถทำให้มีความแข็งแรงเทียบเท่ากับเหล็กกล้าได้ โดยการใส่สารประกอบโลหะหรือใช้กระบวนการทางความร้อน ชิ้นงานที่ทำจากอะลูมิเนียมได้แก่ แขนเชื่อมต่อ ขึ้นยึดกับมอเตอร์ และ โครงสร้างตัวเครื่อง

- ชูเปอร์ลีน ( Superlene ) เป็นไนลอนที่มีสีขาวใส ทนทานต่อแรงกระแทกได้ดี ดูดซับเสียงและแรงสั่นสะเทือนได้ดี ทนทานต่อการเสียดสี และมีความลื่นในตัว ชิ้นงานที่ทำจากชูเปอร์ลีนได้แก่ งานลำเลียงหลอด ใช้ชูเปอร์ลีนเพราะต้องการวัสดุที่มีความลื่นในตัว

- อะคริลิก เป็นพลาสติกใส มีความแข็งแรงแต่เปราะ เหมาะกับการใช้งานทั่วไปที่ไม่ต้องรับน้ำหนักมาก ชิ้นงานที่ทำจากอะคริลิก ได้แก่ งานลำเลียงฝา และถังคัดฝา

- เหล็กกล้า ความแข็งแรงของเหล็กขึ้นอยู่กับปริมาณของคาร์บอนหรือสารประกอบอื่นๆที่ใส่ลงไป นอกจากนี้ยังขึ้นอยู่กับกรรมวิธีการขึ้นรูปความร้อนอีกด้วย อีกทั้งมี ราคาถูก ขึ้นสนิมง่าย เมื่อเทียบกับสแตนเลส แต่แก้ไขโดยการชุบเหล็กเพื่อป้องกันสนิม ชิ้นงานที่ทำจากเหล็กกล้าได้แก่

#### ตัวรองมอเตอร์

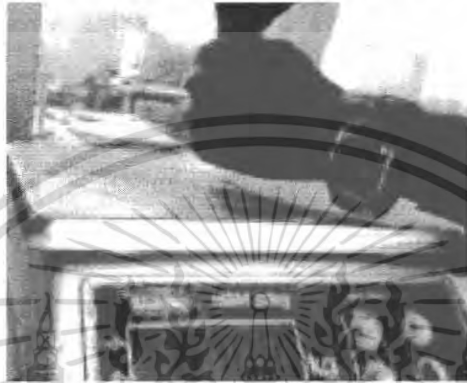
เอกสารนี้เป็นเอกสารที่สงวนไว้สำหรับการใช้งานเพื่อการศึกษาเท่านั้น ไม่อนุญาตให้นำไปใช้ประโยชน์ด้านการค้า ไม่ว่าจะกรณีใดๆ ทั้งสิ้น อีกทั้งห้ามมิให้ดัดแปลงเนื้อหา และต้องอ้างอิงถึงเจ้าของเอกสารทุกครั้งที่มีการนำไปใช้

## บทที่ 4

### การทดลองและผลการทดลอง

#### 4.1 ทดลองหาขนาดแรงที่ใช้ในการปิด

ทดลองหาขนาดแรงที่ใช้ในการปิด โดยใช้เครื่องชั่งน้ำหนัก



รูปที่ 4.1 แสดงการทดลองหาขนาดแรงที่ใช้ปิด

โดยมีผลการทดลองดังต่อไปนี้

ตารางที่ 4.1 แสดงการทดลองหาขนาดแรงที่ใช้ในการปิด

ครั้งที่	ขนาดแรงที่ใช้ปิด (Kg)
1	19.87
2	20.22
3	18.95
4	21.10
5	20.05
6	19.52
7	19.78
8	20.30
9	21.52
10	20.98
เฉลี่ย	18.13
	= 198.46 N

จากผลการทดลองได้ขนาดแรงที่ใช้ในการปิด 198.46 นิวตัน ประมาณ 200 นิวตันจึงไปใช้

ในการเลือกขนาดมอเตอร์ ดังนั้นจึงเลือกมอเตอร์ที่สามารถรับน้ำหนักอย่างน้อย 200 นิวตันได้

เอกสารนี้เป็นเอกสารที่สงวนลิขสิทธิ์การงานเพื่อการศึกษาเท่านั้น เมื่อนักศึกษาเห็นใบเสร็จประเมินค่า

ไม่ว่ากรณีใดๆ ทั้งสิ้น อีกทั้งห้ามมิให้ตัดแปลงเนื้อหา และต้องอ้างอิงถึงเจ้าของเอกสารทุกครั้งที่มีการนำไปใช้

## 4.2 ทดลองหาขนาดมอเตอร์ที่ใช้ในการปิด

ทดลองเลือกใช้มอเตอร์กระแสตรงในการปิด โดยมอเตอร์แต่ละตัวก็จะมีขนาดของทอร์กแตกต่างกัน อีกทั้งต้องพิจารณาเปลามอเตอร์ว่าสามารถทนต่อแรงที่กดได้หรือไม่

ตารางที่ 4.2 แสดงการทดลองเลือกมอเตอร์ที่ใช้ในการปิดฝา

ชนิดของมอเตอร์	ครั้งที่	ความสำเร็จในการปิด
DC 12 V 50 rpm	1	ไม่สมบูรณ์
	2	ไม่สมบูรณ์
	3	ไม่สมบูรณ์
	4	ไม่สมบูรณ์
	5	ไม่สมบูรณ์
DC 24 V 30 rpm	1	สมบูรณ์
	2	สมบูรณ์
	3	สมบูรณ์
	4	สมบูรณ์
	5	สมบูรณ์

จากการทดลองเลือกมอเตอร์ที่ใช้ในการปิดฝา โดยมอเตอร์ที่เลือกนั้นเป็นมอเตอร์กระแสตรงที่สามารถรับน้ำหนักได้ 200 นิวตัน และจากการทดลองทำให้ได้มอเตอร์ที่เลือกใช้เป็น มอเตอร์กระแสตรงขนาด 24 V 30 rpm เพราะสามารถทำการปิดฝาได้อย่างสมบูรณ์

### 4.3 ทดลองการเรียงและลำเลียงฝา

หลังจากที่ได้สร้างเครื่องคัดเรียงได้ทำการทดลองหาประสิทธิภาพของการทำงานของเครื่องที่ขนาดแรงดันไฟฟ้าขนาดต่างๆ โดยแบ่งตามปริมาณฝาที่ใส่ลงไป มีผลการทดลองดังต่อไปนี้

ตารางที่ 4.3.1 แสดงการทดลองการเรียงและลำเลียงฝา จำนวน 15 ฝา

	ครั้งที่	จำนวนฝาที่ ครอบเสา	% ฝาที่ครอบเสา	จำนวนฝาที่ลำเลียง ออกจากเสา	% ฝาที่ลำเลียง ออกจากเสา	% รวม
4 V	1	13	86.67	8	61.54	53.33
	2	14	93.33	7	50.00	46.67
	3	14	93.33	8	57.14	53.33
5 V	1	14	93.33	12	85.71	80.00
	2	15	100.00	10	66.67	66.67
	3	14	93.33	13	92.86	86.67
6 V	1	15	100.00	14	93.33	93.33
	2	14	93.33	13	92.86	86.67
	3	14	93.33	14	100.00	93.33
7 V	1	13	86.67	12	92.31	80.00
	2	12	80.00	11	91.67	73.33
	3	12	80.00	12	100.00	80.00

ตารางที่ 4.3.2 แสดงการทดลองการเรียงและลำเลียงฝา จำนวน 20 ฝา

	ครั้งที่	จำนวนฝาที่ ครอบเสา	% ฝาที่ครอบเสา	จำนวนฝาที่ลำเลียง ออกจากเสา	% ฝาที่ลำเลียง ออกจากเสา	% รวม
4 V	1	17	85.00	12	70.59	60.00
	2	19	95.00	14	73.68	70.00
	3	18	90.00	13	72.22	65.00
5 V	1	18	90.00	15	83.33	75.00
	2	18	90.00	14	77.78	70.00
	3	17	85.00	16	94.12	80.00

เอกสารนี้เป็นเอกสารที่สงวนไว้สำหรับการใช้งานเพื่อการศึกษาเท่านั้น ไม่อนุญาตให้นำไปใช้ประโยชน์ด้านการค้า  
ไม่ว่ากรณีใดๆ ทั้งสิ้น อีกทั้งห้ามมิให้ดัดแปลงเนื้อหา และต้องอ้างอิงถึงเจ้าของเอกสารทุกครั้งที่มีการนำไปใช้

	ครั้งที่	จำนวนฝาที่ ครอบเสา	% ฝาที่ครอบเสา	จำนวนฝาที่ล้มเตียง ออกจากเสา	% ฝาที่ล้มเตียง ออกจากเสา	% รวม
6 V	1	18	90.00	17	94.44	85.00
	2	19	95.00	18	94.74	90.00
	3	19	95.00	18	94.74	90.00
7 V	1	16	80.00	15	93.75	75.00
	2	16	80.00	15	93.75	75.00
	3	16	80.00	14	87.50	70.00

ตารางที่ 4.3.3 แสดงการทดลองการเรียงและล้มเตียงฝา จำนวน 30 ฝา

	ครั้งที่	จำนวนฝาที่ ครอบเสา	% ฝาที่ครอบเสา	จำนวนฝาที่ล้มเตียง ออกจากเสา	% ฝาที่ล้มเตียง ออกจากเสา	% รวม
4 V	1	26	86.67	21	80.77	70.00
	2	28	93.33	22	78.57	73.33
	3	29	96.67	23	79.31	76.67
5 V	1	27	90.00	23	85.19	76.67
	2	27	90.00	24	88.89	80.00
	3	28	93.33	25	89.29	83.33
6 V	1	28	93.33	26	92.86	86.67
	2	27	90.00	27	100.00	90.00
	3	28	93.33	27	96.43	90.00
7 V	1	25	83.33	24	96.00	80.00
	2	22	73.33	21	95.45	70.00
	3	24	80.00	23	95.83	76.67

จากผลการทดลองจะเห็นได้ว่าเครื่องคัดเรียงจะสามารถทำงานได้ดีที่สุดที่แรงดันไฟฟ้าขนาด 6 โวลต์

เอกสารนี้เป็นเอกสารที่สงวนไว้สำหรับการใช้งานเพื่อการศึกษาเท่านั้น ไม่อนุญาตให้นำไปใช้ประโยชน์ด้านการค้า  
ไม่ว่ากรณีใดๆ ทั้งสิ้น อีกทั้งห้ามมิให้ดัดแปลงเนื้อหา และต้องอ้างอิงถึงเจ้าของเอกสารทุกครั้งที่มีการนำไปใช้

## บทที่ 5

# บทวิจารณ์และสรุป

### 5.1 เครื่องปิดฝา

จากการทดลองการทำงานของเครื่องปิดฝา พบว่าแขนปิดสามารถปิดฝาได้เมื่อตำแหน่งของฝาและหลอดอยู่ในตำแหน่งที่กำหนดไว้ แต่ในบางครั้งแขนปิดไม่สามารถปิดฝาได้ เนื่องจากตำแหน่งของฝาและหลอดคลาดเคลื่อนไปจากตำแหน่งที่กำหนดไว้ การหมุนของสเตปป์มอเตอร์ตามที่ต้องการคือหมุนครั้งละ 45 องศา ทำให้หลอดทำมุม 90 องศากับพื้นและขนานกับแขนปิด เมื่อสเตปป์มอเตอร์กระตุกทำให้มุมของหลอดคลาดเคลื่อนไปไม่ขนานกับแขนปิด จึงไม่สามารถปิดฝาได้ สาเหตุที่ทำให้สเตปป์มอเตอร์เกิดการกระตุกเมื่อมอเตอร์เริ่มหมุนในแต่ละครั้งคือ ไมโครคอนโทรลเลอร์ไม่สามารถกำหนดค่าสัญญาณเริ่มต้นที่วงจรขับสร้างไปควบคุมมอเตอร์ได้ ไมโครคอนโทรลเลอร์ส่งเพียงสัญญาณพัลส์เพื่อควบคุมความเร็วและสัญญาณ enable วงจรขับเท่านั้น เมื่อวงจรขับสร้างสัญญาณควบคุมการหมุนของมอเตอร์ไม่สอดคล้องกับตำแหน่งปัจจุบันของสเตปป์มอเตอร์ ทำให้สเตปป์มอเตอร์เกิดการหมุนไปยังตำแหน่งที่สอดคล้องกับสัญญาณควบคุมสัญญาณแรกก่อนที่จะหมุนไปอีก 45 องศา ทำให้หลอดที่จะปิดไม่อยู่ในตำแหน่งที่ต้องการ

แนวทางการแก้ไขการกระตุกของสเตปป์มอเตอร์ คือ ใช้วงจรขับสเตปป์มอเตอร์ที่สามารถเขียนโปรแกรมกำหนดสเตปป์ของสัญญาณควบคุมการหมุนของมอเตอร์ได้ และเขียนโปรแกรมให้สัญญาณควบคุมการหมุนของมอเตอร์สัญญาณแรกในแต่ละครั้งเหมือนกับสัญญาณควบคุมสัญญาณสุดท้ายของครั้งก่อนหน้า ทำให้สัญญาณควบคุมที่ไปยังสเตปป์มอเตอร์สอดคล้องกับตำแหน่งปัจจุบันของมอเตอร์ และสเตปป์มอเตอร์ไม่เกิดการกระตุก

### 5.1 เครื่องคัดเรียงฝา

จากการทดลองจะเห็นได้ว่าฝายังลงไปครอบตัวเสาไม่สมบูรณ์ เนื่องจากฝาลงไปครอบเสาได้ยาก มีแนวทางการแก้ไขคือ ใช้วัสดุที่มีความเสียดทานต่ำ และทำให้ปลายเสามีความโค้งมน เพื่อให้ฝาลงไปครอบเสาได้ง่าย

อีกทั้งจำนวนฝาที่คัดเรียงออกมาได้ ยังไม่สมบูรณ์ เนื่องจากฝาที่ลำเลียงออกมาสุดท้ายออกมาได้ยาก มีแนวทางการแก้ไขโดยการติดตั้งมอเตอร์ขนาดเล็กพร้อมล้อหมุนที่ทางออกเพื่อช่วยให้ฝาลงมาสุดท้ายออกได้ง่ายขึ้น

## เอกสารอ้างอิง

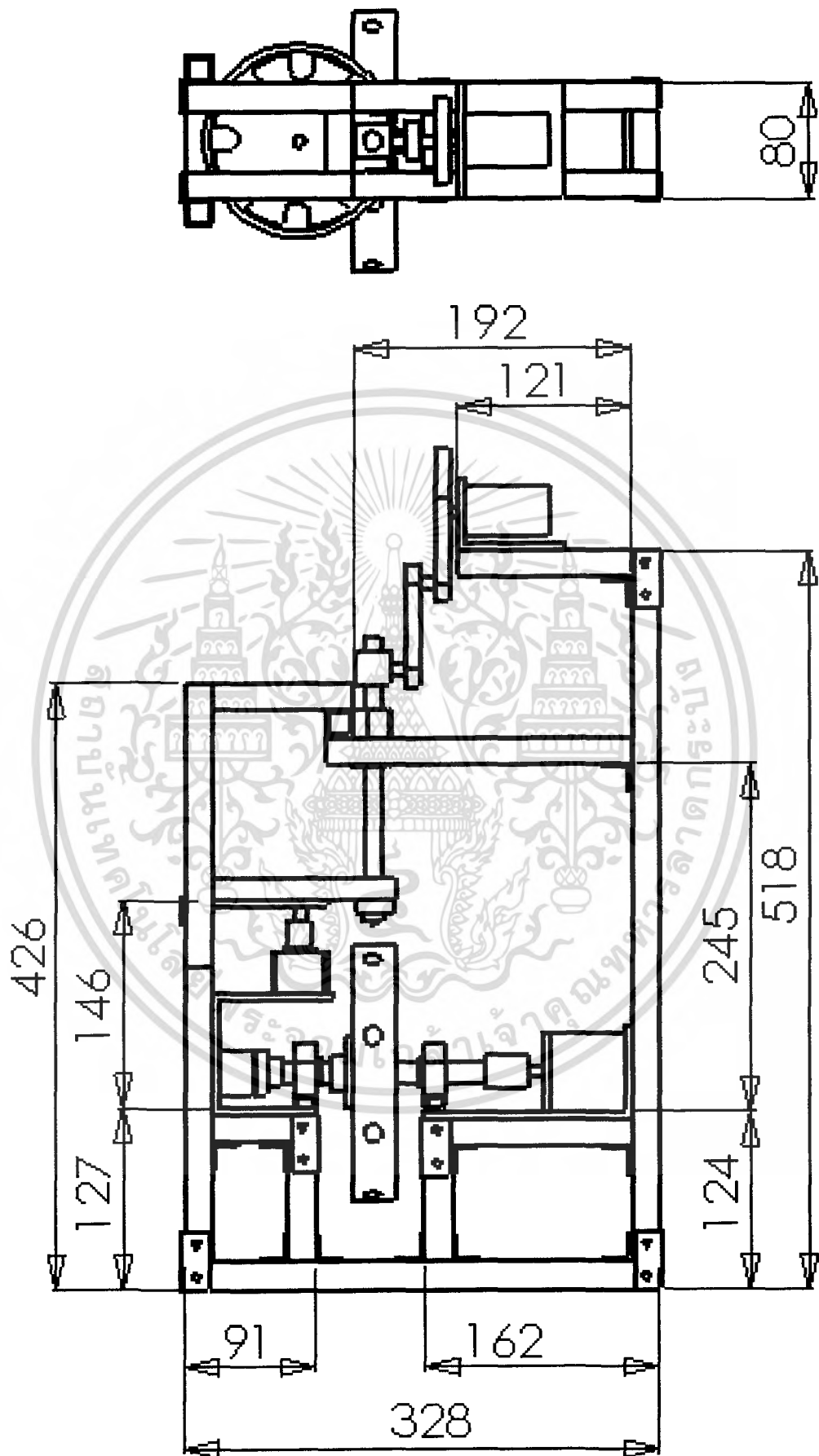
- [1] ดร.ไพศาล สมประกิจ. “การวิเคราะห์แรงในระบบกลไก”. กลศาสตร์เครื่องจักรกล. มหาวิทยาลัยเทคโนโลยีมหานคร. 2541
- [2] มณฑล ใจกุศล, พงษ์ศักดิ์ ชินนาบุญ, วีระชัย ลิ้มพรชัยเจริญ. “แรงกระทำแบบกระจายเนื่องจากแรงโน้มถ่วงของโลก-จุดเซนทรอยด์”. กลศาสตร์วิศวกรรม ภาคสถิตยศาสตร์. บริษัทวิทยพัฒน์ จำกัด. 2546
- [3] ผศ.ดร.วรพงษ์ ตั้งศรีรัตน์. “เซนเซอร์ตรวจจับระยะขจัดและการเคลื่อนที่”. เซนเซอร์และทรานสดิวเซอร์ ทฤษฎีและการประยุกต์ใช้ในระบบการวัดและระบบควบคุม. สำนักพิมพ์ ส.ส.ท. . 2548
- [4] เฉษฐิ์ มณีธรรม, สำเรึง เต็มราม. “โครงสร้างไมโครคอนโทรลเลอร์”. คำภีร์ ไมโครคอนโทรลเลอร์ PIC. สำนักพิมพ์ เค ที พี . 2549
- [5] ศ.ดร.วริทธิ์ อิงภากรณ์, รศ.ชาญ ถนัดงาน. “การออกแบบชิ้นส่วนเครื่องจักรกลย่อย”. การออกแบบเครื่องจักรกล เล่ม 1. บริษัทซีเอ็ดยูเคชั่น จำกัด(มหาชน). 2549
- [6] ดร.มนต์ศักดิ์ พิมสาร. กลศาสตร์เครื่องจักรกล (Mechanics of Machinery). 2546
- [7] ร.อ.วาที ปรียพงศ์. เส้นทางสู่นักประดิษฐ์หุ่นยนต์. สำนักพิมพ์ ส.ส.ท. . 2547

เอกสารนี้เป็นเอกสารที่สงวนไว้สำหรับการใช้งานเพื่อการศึกษาเท่านั้น ไม่อนุญาตให้นำไปใช้ประโยชน์ด้านการค้า  
ไม่ว่ากรณีใดๆ ทั้งสิ้น อีกทั้งห้ามมิให้ดัดแปลงเนื้อหา และต้องอ้างอิงถึงเจ้าของเอกสารทุกครั้งที่มีการนำไปใช้

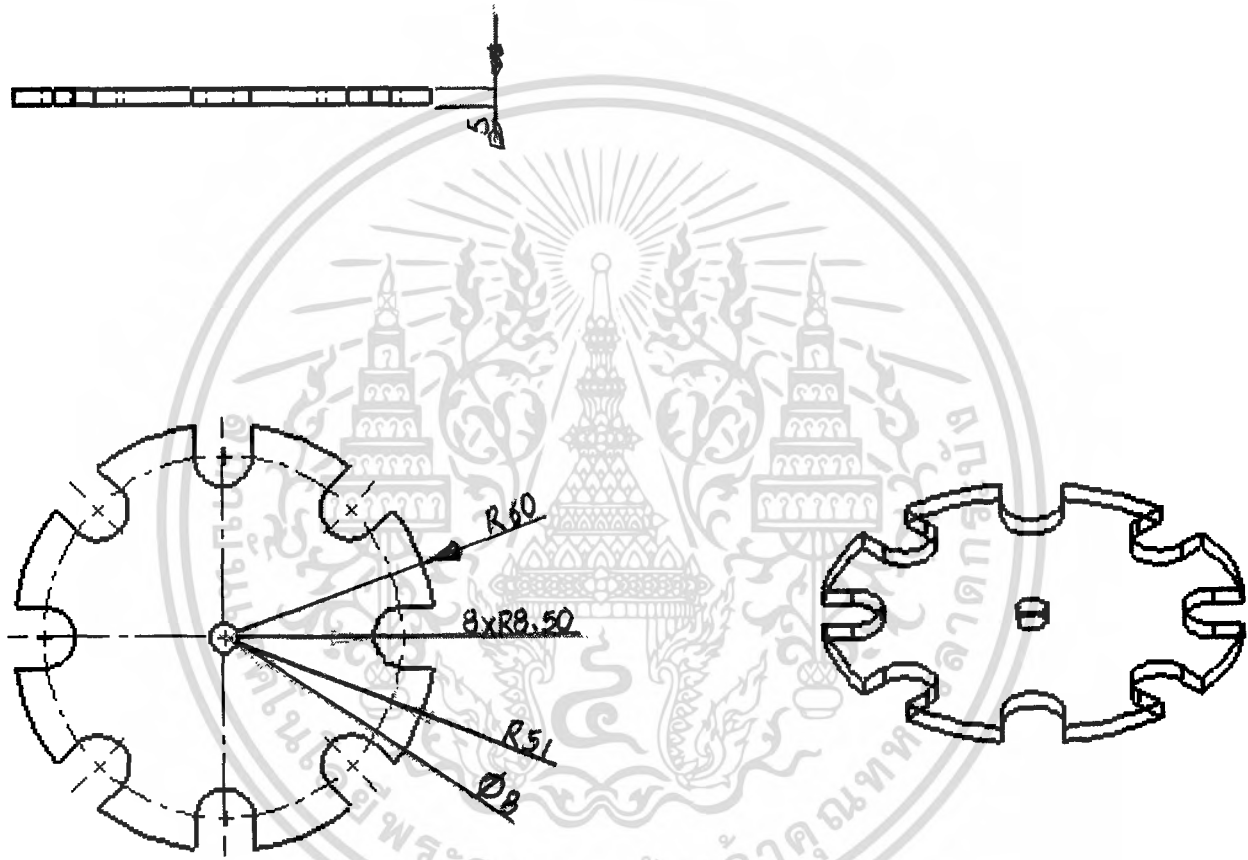


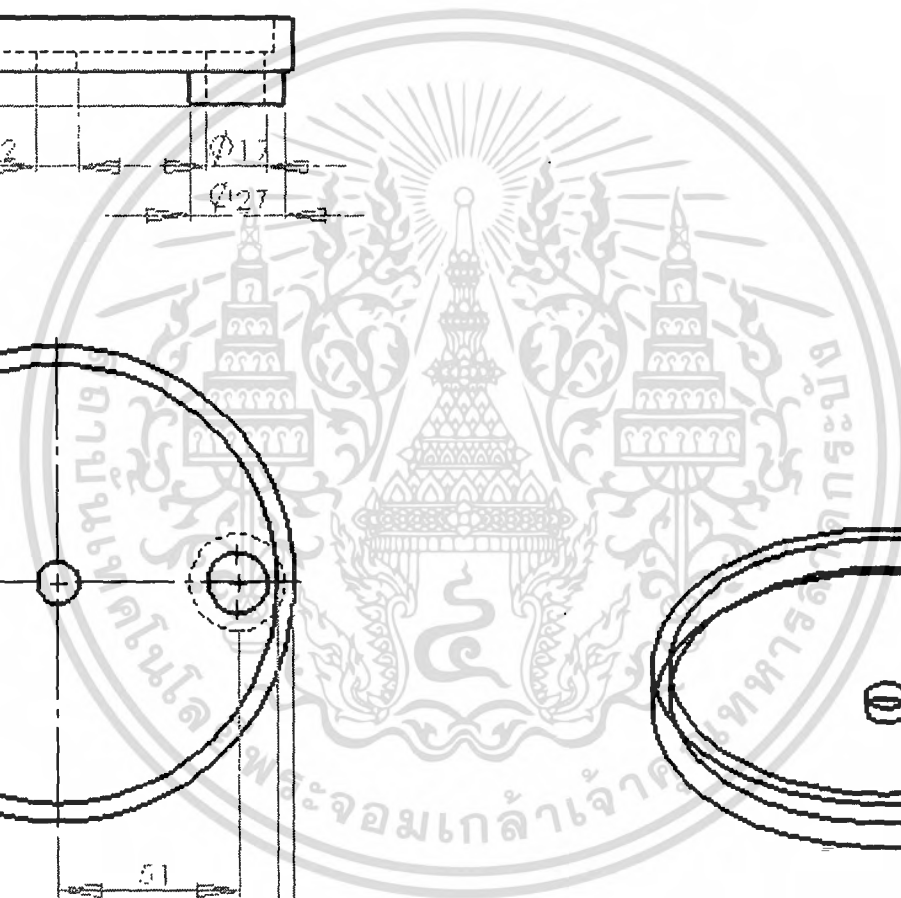
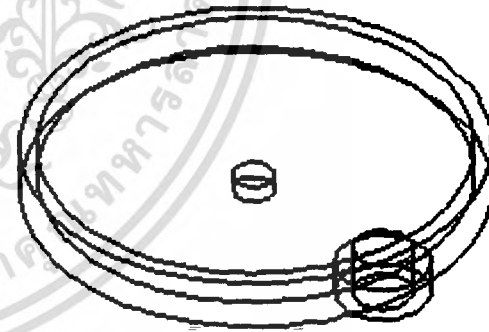
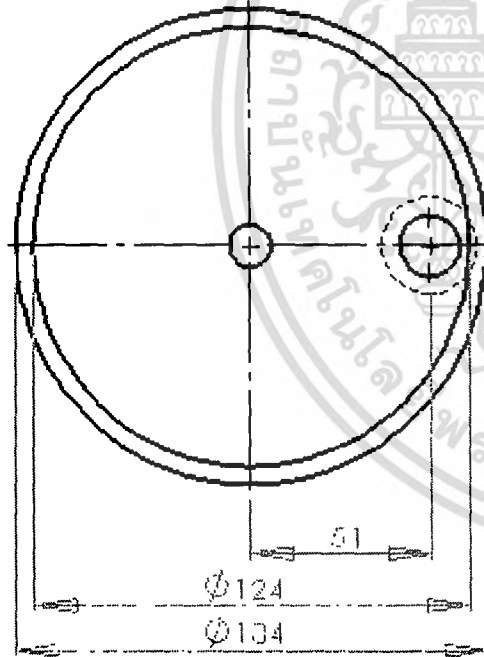
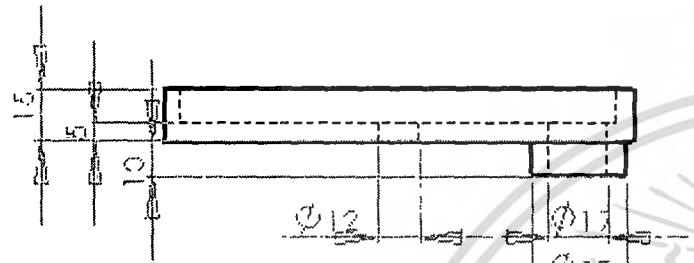
**ภาคผนวก ก**  
**แบบโครงสร้าง**

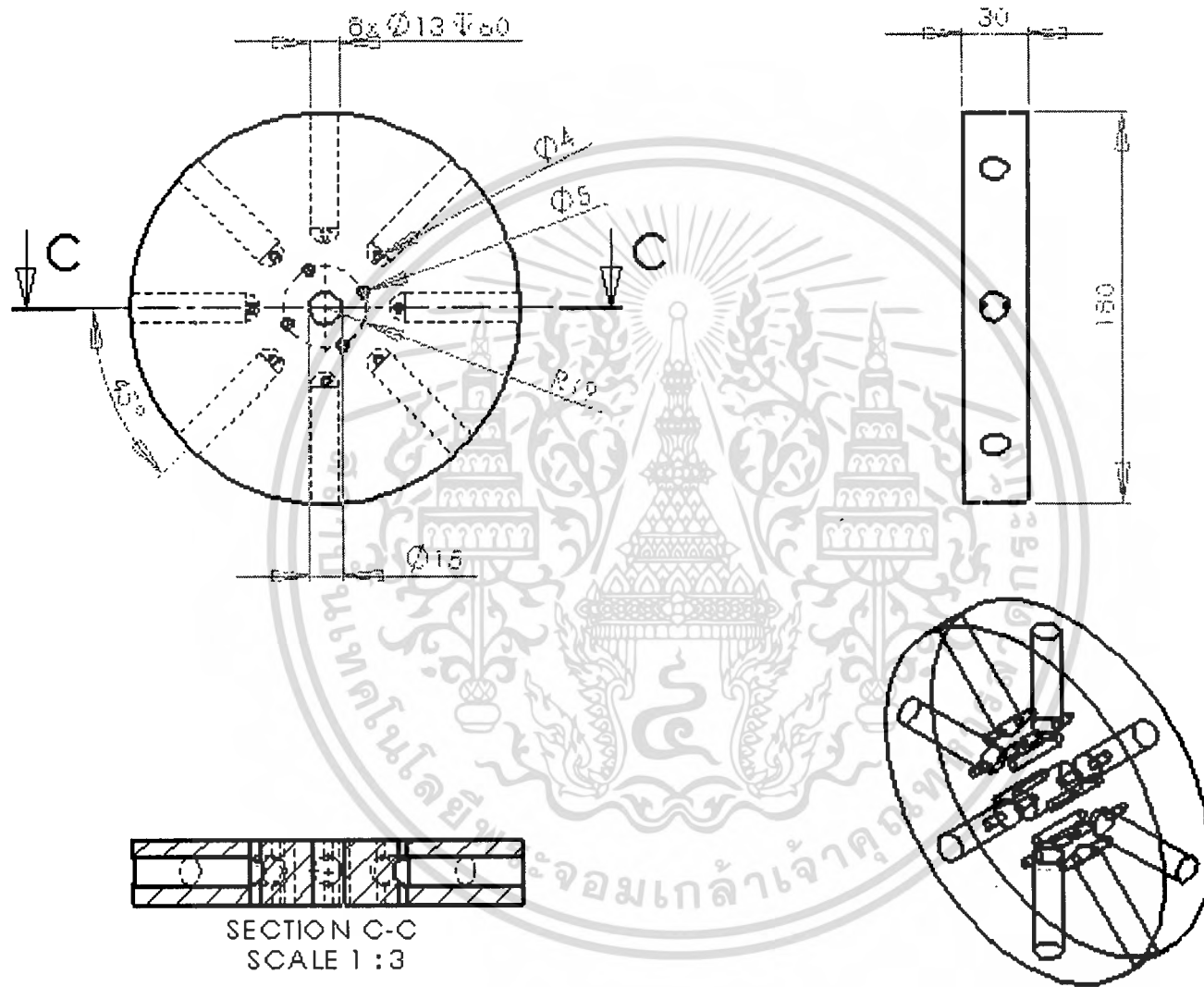
เอกสารนี้เป็นเอกสารที่สงวนไว้สำหรับการใช้งานเพื่อการศึกษาเท่านั้น ไม่อนุญาตให้นำไปใช้ประโยชน์ด้านการค้า  
ไม่ว่ากรณีใดๆ ทั้งสิ้น อีกทั้งห้ามมิให้ดัดแปลงเนื้อหา และต้องอ้างอิงถึงเจ้าของเอกสารทุกครั้งที่มีการนำไปใช้



เอกสารนี้เป็นเอกสารที่สงวนไว้สำหรับการใช้งานเพื่อการศึกษาเท่านั้น ไม่อนุญาตให้นำไปใช้ประโยชน์ด้านการค้า  
 ไม่ว่ากรณีใดๆ ทั้งสิ้น อีกทั้งห้ามมิให้ดัดแปลงเนื้อหา และต้องอ้างอิงถึงเจ้าของเอกสารไว้ทุกครั้งที่มีการนำไปใช้  
 ทรังสร้างเครื่อง scale 1:4









เอกสารนี้เป็นเอกสารที่สงวนไว้สำหรับการใช้งานเพื่อการศึกษาเท่านั้น ไม่อนุญาตให้นำไปใช้ประโยชน์ด้านการค้า  
ไม่ว่ากรณีใดๆ ทั้งสิ้น อีกทั้งห้ามมิให้ดัดแปลงเนื้อหา และต้องอ้างอิงถึงเจ้าของเอกสารทุกครั้งที่มีการนำไปใช้

```

#include <16F877a.h>

#use delay(clock=4000000)

#fuses HS,NOWDT,NOLVP

#define S1 PIN_B0

#define S2 PIN_B1

#define limit PIN_B2

#define CLK1 PIN_C0

#define DIR1 PIN_C1

#define EN1 PIN_C2

#define CLK2 PIN_C3

#define DIR2 PIN_C4

#define EN2 PIN_C5

#define M3 PIN_C6

void on_m1()
{
    int i;
    output_low(EN1);
    for(i=1;i<=50;++i)
    {
        output_high(CLK1);
        delay_ms(10);
        output_low(CLK1);
        delay_ms(10);
    }
    output_high(EN1);
    delay_ms(500);
}

```

เอกสารนี้เป็นเอกสารที่สงวนไว้สำหรับการใช้งานเพื่อการศึกษาเท่านั้น ไม่อนุญาตให้นำไปใช้ประโยชน์ด้านการค้า  
ไม่ว่ากรณีใดๆ ทั้งสิ้น อีกทั้งห้ามมิให้ดัดแปลงเนื้อหา และต้องอ้างอิงถึงเจ้าของเอกสารทุกครั้งที่มีการนำไปใช้

```

void on_m2()
{
    int i;
    output_low(EN2);
    for(i=1;i<=50;++i)
    {
        output_high(CLK2);
        delay_ms(10);
        output_low(CLK2);
        delay_ms(10);
    }
    output_high(EN2);
    delay_ms(2000);
}

int cap;

void main() {

    port_b_pullups(TRUE);
    setup_adc_ports(NO_ANALOGS);
    setup_adc(ADC_CLOCK_DIV_2);
    setup_psp(PSP_DISABLED);
    setup_spi(FALSE);

    setup_counters(RTCC_INTERNAL,RTCC_DIV_2);
    setup_timer_1(T1_DISABLED);
    setup_timer_2(T2_DISABLED,0,1);

    set_tris_b(0xff);
    set_tris_c(0x00);

    output_c(0x00);

```

เอกสารนี้เป็นเอกสารที่สงวนไว้สำหรับการใช้งานเพื่อการศึกษาเท่านั้น ไม่อนุญาตให้นำไปใช้ประโยชน์ด้านการค้า  
ไม่ว่ากรณีใดๆ ทั้งสิ้น อีกทั้งห้ามมิให้ดัดแปลงเนื้อหา และต้องอ้างอิงถึงเจ้าของเอกสารทุกครั้งที่มีการนำไปใช้

```
output_high(EN1);
```

```
output_high(EN2);
```

```
while(1)
```

```
{
```

```
  delay_ms(300);
```

```
  if(!input(S1)) //ไม่มีหลอด
```

```
  {
```

```
    delay_ms(300);
```

```
    while(!input(S1))
```

```
    on_m1();
```

```
  }
```

```
  else //มีหลอด
```

```
  {
```

```
    cap = 0;
```

```
    while(cap==0)
```

```
    {
```

```
      delay_ms(300);
```

```
      if(!input(S2)) //ไม่มีฝา
```

```
      {
```

```
        delay_ms(300);
```

```
        while(!input(S2))
```

```
        on_m2();
```

```
      }
```

```
    } else //มีฝา
```

```
    {
```

```
      while(cap==0)
```

```
      {
```

```
        output_high(M3);
```

```
        delay_ms(1000);
```

```
        if(!input(limit))
```

เอกสารนี้เป็นเอกสารที่สงวนไว้สำหรับการใช้งานเพื่อการศึกษาเท่านั้น ไม่อนุญาตให้นำไปใช้ประโยชน์ด้านการค้า  
ไม่ว่ากรณีใดๆ ทั้งสิ้น อีกทั้งห้ามมิให้ดัดแปลงเนื้อหา และต้องอ้างอิงถึงเจ้าของเอกสารทุกครั้งที่มีการนำไปใช้

```
{while(!input(limit))
{
;
}
}
output_low(M3);
delay_ms(300);
on_m1();
cap = 1;
}
}
}
}
}
}
```



เอกสารนี้เป็นเอกสารที่สงวนไว้สำหรับการใช้งานเพื่อการศึกษาเท่านั้น ไม่อนุญาตให้นำไปใช้ประโยชน์ด้านการค้า  
ไม่ว่ากรณีใดๆ ทั้งสิ้น อีกทั้งห้ามมิให้ดัดแปลงเนื้อหา และต้องอ้างอิงถึงเจ้าของเอกสารทุกครั้งที่มีการนำไปใช้



**ภาคผนวก ค**  
**รายละเอียดอุปกรณ์ที่ใช้ในงานวิจัย**  
**(DATA SHEET)**

เอกสารนี้เป็นเอกสารที่สงวนไว้สำหรับการใช้งานเพื่อการศึกษาเท่านั้น ไม่อนุญาตให้นำไปใช้ประโยชน์ด้านการค้า  
ไม่ว่ากรณีใดๆ ทั้งสิ้น อีกทั้งห้ามมิให้ดัดแปลงเนื้อหา และต้องอ้างอิงถึงเจ้าของเอกสารทุกครั้งที่มีการนำไปใช้



MICROCHIP

# PIC16F87X

## 28/40-pin 8-Bit CMOS FLASH Microcontrollers

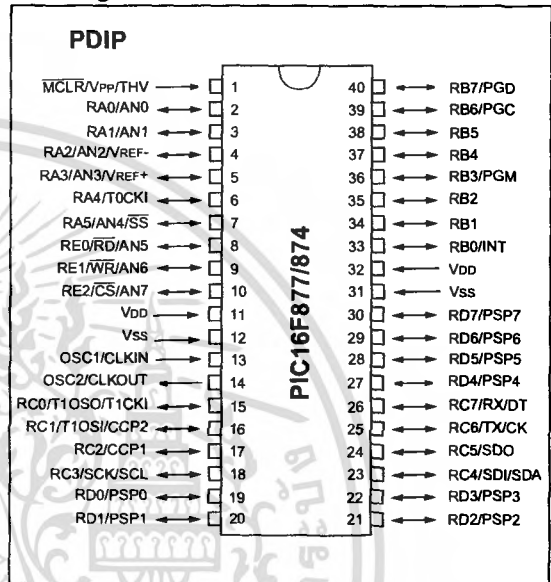
### Devices Included in this Data Sheet:

- PIC16F873
- PIC16F876
- PIC16F874
- PIC16F877

### Microcontroller Core Features:

- High-performance RISC CPU
- Only 35 single word instructions to learn
- All single cycle instructions except for program branches which are two cycle
- Operating speed: DC - 20 MHz clock input  
DC - 200 ns instruction cycle
- Up to 8K x 14 words of FLASH Program Memory,  
Up to 368 x 8 bytes of Data Memory (RAM)  
Up to 256 x 8 bytes of EEPROM data memory
- Pinout compatible to the PIC16C73B/74B/76/77
- Interrupt capability (up to 14 sources)
- Eight level deep hardware stack
- Direct, indirect and relative addressing modes
- Power-on Reset (POR)
- Power-up Timer (PWRT) and  
Oscillator Start-up Timer (OST)
- Watchdog Timer (WDT) with its own on-chip RC  
oscillator for reliable operation
- Programmable code-protection
- Power saving SLEEP mode
- Selectable oscillator options
- Low-power, high-speed CMOS FLASH/EEPROM  
technology
- Fully static design
- In-Circuit Serial Programming™ (ICSP) via two  
pins
- Single 5V In-Circuit Serial Programming capability
- In-Circuit Debugging via two pins
- Processor read/write access to program memory
- Wide operating voltage range: 2.0V to 5.5V
- High Sink/Source Current: 25 mA
- Commercial and Industrial temperature ranges
- Low-power consumption:
  - < 2 mA typical @ 5V, 4 MHz
  - 20 µA typical @ 3V, 32 kHz
  - < 1 µA typical standby current

### Pin Diagram

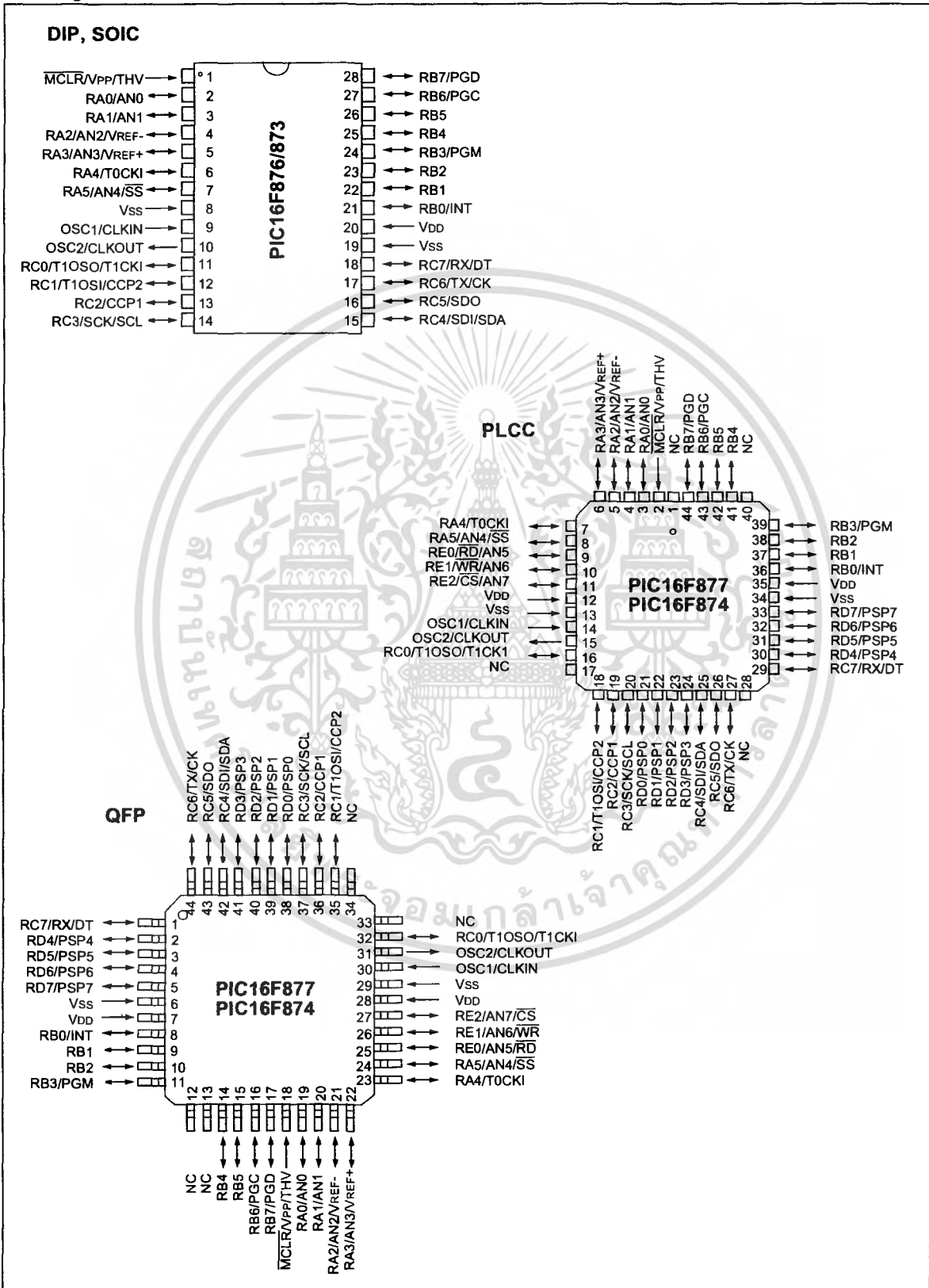


### Peripheral Features:

- Timer0: 8-bit timer/counter with 8-bit prescaler
- Timer1: 16-bit timer/counter with prescaler,  
can be incremented during sleep via external  
crystal/clock
- Timer2: 8-bit timer/counter with 8-bit period  
register, prescaler and postscaler
- Two Capture, Compare, PWM modules
  - Capture is 16-bit, max. resolution is 12.5 ns
  - Compare is 16-bit, max. resolution is 200 ns
  - PWM max. resolution is 10-bit
- 10-bit multi-channel Analog-to-Digital converter
- Synchronous Serial Port (SSP) with SPI™ (Master  
Mode) and I<sup>2</sup>C™ (Master/Slave)
- Universal Synchronous Asynchronous Receiver  
Transmitter (USART/SCI) with 9-bit address  
detection
- Parallel Slave Port (PSP) 8-bits wide, with  
external  $\overline{RD}$ ,  $\overline{WR}$  and  $\overline{CS}$  controls (40/44-pin only)
- Brown-out detection circuitry for  
Brown-out Reset (BOR)

# PIC16F87X

## Pin Diagrams



# PIC16F87X

Key Features PICmicro™ Mid-Range Reference Manual (DS33023)	PIC16F873	PIC16F874	PIC16F876	PIC16F877
Operating Frequency	DC - 20 MHz	DC - 20 MHz	DC - 20 MHz	DC - 20 MHz
Resets (and Delays)	POR, BOR (PWRT, OST)	POR, BOR (PWRT, OST)	POR, BOR (PWRT, OST)	POR, BOR (PWRT, OST)
FLASH Program Memory (14-bit words)	4K	4K	8K	8K
Data Memory (bytes)	192	192	368	368
EEPROM Data Memory	128	128	256	256
Interrupts	13	14	13	14
I/O Ports	Ports A,B,C	Ports A,B,C,D,E	Ports A,B,C	Ports A,B,C,D,E
Timers	3	3	3	3
Capture/Compare/PWM modules	2	2	2	2
Serial Communications	MSSP, USART	MSSP, USART	MSSP, USART	MSSP, USART
Parallel Communications	—	PSP	—	PSP
10-bit Analog-to-Digital Module	5 input channels	8 input channels	5 input channels	8 input channels
Instruction Set	35 Instructions	35 Instructions	35 Instructions	35 Instructions



# PIC16F87X

TABLE 1-2: PIC16F874 AND PIC16F877 PINOUT DESCRIPTION

Pin Name	DIP Pin#	PLCC Pin#	QFP Pin#	I/O/P Type	Buffer Type	Description
OSC1/CLKIN	13	14	30	I	ST/CMOS <sup>(4)</sup>	Oscillator crystal input/external clock source input.
OSC2/CLKOUT	14	15	31	O	—	Oscillator crystal output. Connects to crystal or resonator in crystal oscillator mode. In RC mode, OSC2 pin outputs CLK-OUT which has 1/4 the frequency of OSC1, and denotes the instruction cycle rate.
MCLR/VPP/THV	1	2	18	I/P	ST	Master clear (reset) input or programming voltage input or high voltage test mode control. This pin is an active low reset to the device.
RA0/AN0	2	3	19	I/O	TTL	<p>PORTA is a bi-directional I/O port.</p> <p>RA0 can also be analog input0</p> <p>RA1 can also be analog input1</p> <p>RA2 can also be analog input2 or negative analog reference voltage</p> <p>RA3 can also be analog input3 or positive analog reference voltage</p> <p>RA4 can also be the clock input to the Timer0 timer/counter. Output is open drain type.</p> <p>RA5 can also be analog input4 or the slave select for the synchronous serial port.</p>
RA1/AN1	3	4	20	I/O	TTL	
RA2/AN2/VREF-	4	5	21	I/O	TTL	
RA3/AN3/VREF+	5	6	22	I/O	TTL	
RA4/T0CKI	6	7	23	I/O	ST	
RA5/SS/AN4	7	8	24	I/O	TTL	
RB0/INT	33	36	8	I/O	TTL/ST <sup>(1)</sup>	<p>PORTB is a bi-directional I/O port. PORTB can be software programmed for internal weak pull-up on all inputs.</p> <p>RB0 can also be the external interrupt pin.</p> <p>RB3 can also be the low voltage programming input</p> <p>Interrupt on change pin.</p> <p>Interrupt on change pin.</p> <p>Interrupt on change pin or In-Circuit Debugger pin. Serial programming clock.</p> <p>Interrupt on change pin or In-Circuit Debugger pin. Serial programming data.</p>
RB1	34	37	9	I/O	TTL	
RB2	35	38	10	I/O	TTL	
RB3/PGM	36	39	11	I/O	TTL	
RB4	37	41	14	I/O	TTL	
RB5	38	42	15	I/O	TTL	
RB6/PGC	39	43	16	I/O	TTL/ST <sup>(2)</sup>	
RB7/PGD	40	44	17	I/O	TTL/ST <sup>(2)</sup>	
RC0/T1OSO/T1CKI	15	16	32	I/O	ST	<p>PORTC is a bi-directional I/O port.</p> <p>RC0 can also be the Timer1 oscillator output or a Timer1 clock input.</p> <p>RC1 can also be the Timer1 oscillator input or Capture2 input/Compare2 output/PWM2 output.</p> <p>RC2 can also be the Capture1 input/Compare1 output/PWM1 output.</p> <p>RC3 can also be the synchronous serial clock input/output for both SPI and I<sup>2</sup>C modes.</p> <p>RC4 can also be the SPI Data In (SPI mode) or data I/O (I<sup>2</sup>C mode).</p> <p>RC5 can also be the SPI Data Out (SPI mode).</p> <p>RC6 can also be the USART Asynchronous Transmit or Synchronous Clock.</p> <p>RC7 can also be the USART Asynchronous Receive or Synchronous Data.</p>
RC1/T1OSI/CCP2	16	18	35	I/O	ST	
RC2/CCP1	17	19	36	I/O	ST	
RC3/SCK/SCL	18	20	37	I/O	ST	
RC4/SDI/SDA	23	25	42	I/O	ST	
RC5/SDO	24	26	43	I/O	ST	
RC6/TX/CK	25	27	44	I/O	ST	
RC7/RX/DT	26	29	1	I/O	ST	

Legend: I = input    O = output    I/O = input/output    P = power  
 — = Not used    TTL = TTL input    ST = Schmitt Trigger input

- Note**
- 1: This buffer is a Schmitt Trigger input when configured as an external interrupt.
  - 2: This buffer is a Schmitt Trigger input when used in serial programming mode.
  - 3: This buffer is a Schmitt Trigger input when configured as general purpose I/O and a TTL input when used in the Parallel Slave Port mode (for interfacing to a microprocessor bus).
  - 4: This buffer is a Schmitt Trigger input when configured in RC oscillator mode and a CMOS input otherwise.

# PIC16F87X

**TABLE 1-2: PIC16F874 AND PIC16F877 PINOUT DESCRIPTION (CONTINUED)**

Pin Name	DIP Pin#	PLCC Pin#	QFP Pin#	I/O/P Type	Buffer Type	Description	
RD0/PSP0	19	21	38	I/O	ST/TTL <sup>(3)</sup>	PORTD is a bi-directional I/O port or parallel slave port when interfacing to a microprocessor bus.	
RD1/PSP1	20	22	39	I/O	ST/TTL <sup>(3)</sup>		
RD2/PSP2	21	23	40	I/O	ST/TTL <sup>(3)</sup>		
RD3/PSP3	22	24	41	I/O	ST/TTL <sup>(3)</sup>		
RD4/PSP4	27	30	2	I/O	ST/TTL <sup>(3)</sup>		
RD5/PSP5	28	31	3	I/O	ST/TTL <sup>(3)</sup>		
RD6/PSP6	29	32	4	I/O	ST/TTL <sup>(3)</sup>		
RD7/PSP7	30	33	5	I/O	ST/TTL <sup>(3)</sup>		
RE0/ $\overline{RD}$ /AN5	8	9	25	I/O	ST/TTL <sup>(3)</sup>	PORTE is a bi-directional I/O port. RE0 can also be read control for the parallel slave port, or analog input5.	
RE1/ $\overline{WR}$ /AN6	9	10	26	I/O	ST/TTL <sup>(3)</sup>		RE1 can also be write control for the parallel slave port, or analog input6.
RE2/ $\overline{CS}$ /AN7	10	11	27	I/O	ST/TTL <sup>(3)</sup>		RE2 can also be select control for the parallel slave port, or analog input7.
Vss	12,31	13,34	6,29	P	—	Ground reference for logic and I/O pins.	
VDD	11,32	12,35	7,28	P	—	Positive supply for logic and I/O pins.	
NC	—	1,17,28,40	12,13,33,34	—	—	These pins are not internally connected. These pins should be left unconnected.	

Legend: I = input    O = output    I/O = input/output    P = power  
 — = Not used    TTL = TTL input    ST = Schmitt Trigger input

- Note**
- 1: This buffer is a Schmitt Trigger input when configured as an external interrupt.
  - 2: This buffer is a Schmitt Trigger input when used in serial programming mode.
  - 3: This buffer is a Schmitt Trigger input when configured as general purpose I/O and a TTL input when used in the Parallel Slave Port mode (for interfacing to a microprocessor bus).
  - 4: This buffer is a Schmitt Trigger input when configured in RC oscillator mode and a CMOS input otherwise.

## 3.0 I/O PORTS

Some pins for these I/O ports are multiplexed with an alternate function for the peripheral features on the device. In general, when a peripheral is enabled, that pin may not be used as a general purpose I/O pin.

Additional information on I/O ports may be found in the PICmicro™ Mid-Range Reference Manual, (DS33023).

### 3.1 PORTA and the TRISA Register

PORTA is a 6-bit wide bi-directional port. The corresponding data direction register is TRISA. Setting a TRISA bit (=1) will make the corresponding PORTA pin an input (i.e., put the corresponding output driver in a hi-impedance mode). Clearing a TRISA bit (=0) will make the corresponding PORTA pin an output (i.e., put the contents of the output latch on the selected pin).

Reading the PORTA register reads the status of the pins, whereas writing to it will write to the port latch. All write operations are read-modify-write operations. Therefore, a write to a port implies that the port pins are read, the value is modified and then written to the port data latch.

Pin RA4 is multiplexed with the Timer0 module clock input to become the RA4/T0CKI pin. The RA4/T0CKI pin is a Schmitt Trigger input and an open drain output. All other PORTA pins have TTL input levels and full CMOS output drivers.

Other PORTA pins are multiplexed with analog inputs and analog VREF input. The operation of each pin is selected by clearing/setting the control bits in the ADCON1 register (A/D Control Register1).

**Note:** On a Power-on Reset, these pins are configured as analog inputs and read as '0'.

The TRISA register controls the direction of the RA pins, even when they are being used as analog inputs. The user must ensure the bits in the TRISA register are maintained set when using them as analog inputs.

#### EXAMPLE 3-1: INITIALIZING PORTA

```
BCF STATUS, RP0 ;
BCF STATUS, RP1 ; Bank0
CLRF PORTA ; Initialize PORTA by
; clearing output
; data latches
BSF STATUS, RP0 ; Select Bank 1
MOVLW 0x06 ; Configure all pins
MOVWF ADCON1 ; as digital inputs
MOVLW 0xCF ; Value used to
; initialize data
; direction
MOVWF TRISA ; Set RA<3:0> as inputs
; RA<5:4> as outputs
; TRISA<7:6> are always
; read as '0'.
```

FIGURE 3-1: BLOCK DIAGRAM OF RA3:RA0 AND RA5 PINS

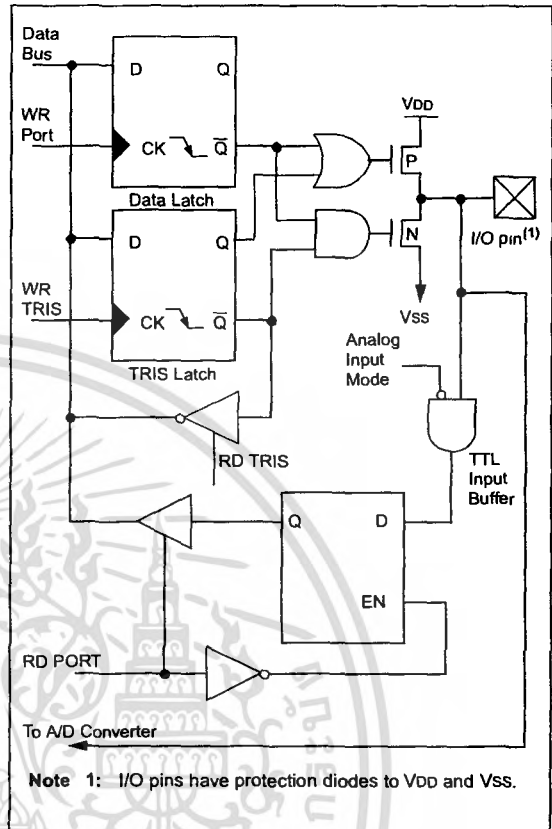
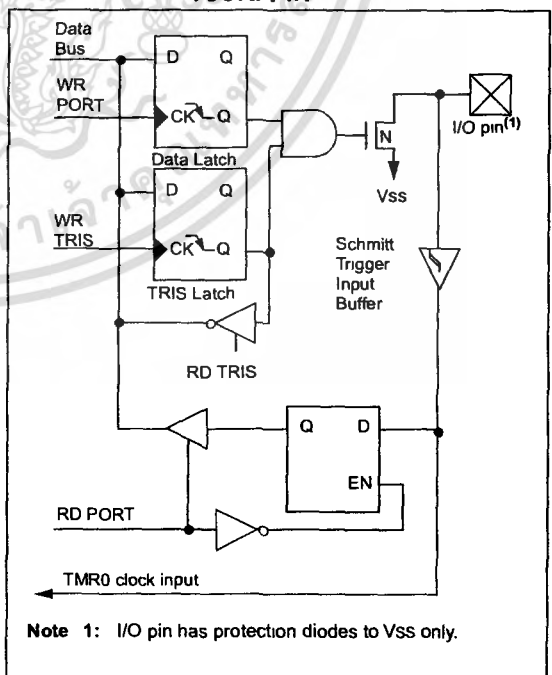


FIGURE 3-2: BLOCK DIAGRAM OF RA4/T0CKI PIN



# PIC16F87X

**TABLE 3-1: PORTA FUNCTIONS**

Name	Bit#	Buffer	Function
RA0/AN0	bit0	TTL	Input/output or analog input
RA1/AN1	bit1	TTL	Input/output or analog input
RA2/AN2	bit2	TTL	Input/output or analog input
RA3/AN3/VREF	bit3	TTL	Input/output or analog input or VREF
RA4/T0CKI	bit4	ST	Input/output or external clock input for Timer0 Output is open drain type
RA5/ $\overline{SS}$ /AN4	bit5	TTL	Input/output or slave select input for synchronous serial port or analog input

Legend: TTL = TTL input, ST = Schmitt Trigger input

**TABLE 3-2: SUMMARY OF REGISTERS ASSOCIATED WITH PORTA**

Address	Name	Bit 7	Bit 6	Bit 5	Bit 4	Bit 3	Bit 2	Bit 1	Bit 0	Value on: POR, BOR	Value on all other resets
05h	PORTA	—	—	RA5	RA4	RA3	RA2	RA1	RA0	--0x 0000	--0u 0000
85h	TRISA	—	—	PORTA Data Direction Register						--11 1111	--11 1111
9Fh	ADCON1	ADFM	—	—	—	PCFG3	PCFG2	PCFG1	PCFG0	--0- 0000	--0- 0000

Legend: x = unknown, u = unchanged, - = unimplemented locations read as '0'. Shaded cells are not used by PORTA.

**Note:** When using the SSP module in SPI slave mode and SS enabled, the A/D converter must be set to one of the following modes where PCFG3:PCFG0 = 0100, 0101, 011x, 1101, 1110, 1111.

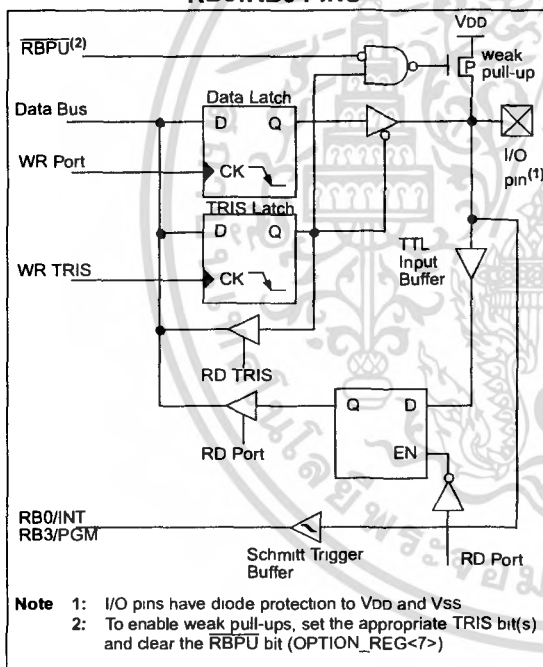
## 3.2 PORTB and the TRISB Register

PORTB is an 8-bit wide, bi-directional port. The corresponding data direction register is TRISB. Setting a TRISB bit (=1) will make the corresponding PORTB pin an input (i.e., put the corresponding output driver in a hi-impedance mode). Clearing a TRISB bit (=0) will make the corresponding PORTB pin an output (i.e., put the contents of the output latch on the selected pin).

Three pins of PORTB are multiplexed with the Low Voltage Programming function; RB3/PGM, RB6/PGC and RB7/PGD. The alternate functions of these pins are described in the Special Features Section.

Each of the PORTB pins has a weak internal pull-up. A single control bit can turn on all the pull-ups. This is performed by clearing bit  $\overline{RBPU}$  (OPTION\_REG<7>). The weak pull-up is automatically turned off when the port pin is configured as an output. The pull-ups are disabled on a Power-on Reset.

**FIGURE 3-3: BLOCK DIAGRAM OF RB3:RB0 PINS**



Four of PORTB's pins, RB7:RB4, have an interrupt on change feature. Only pins configured as inputs can cause this interrupt to occur (i.e. any RB7:RB4 pin configured as an output is excluded from the interrupt on change comparison). The input pins (of RB7:RB4) are compared with the old value latched on the last read of PORTB. The "mismatch" outputs of RB7:RB4 are OR'ed together to generate the RB Port Change Interrupt with flag bit RBIF (INTCON<0>).

This interrupt can wake the device from SLEEP. The user, in the interrupt service routine, can clear the interrupt in the following manner:

- Any read or write of PORTB. This will end the mismatch condition.
- Clear flag bit RBIF.

A mismatch condition will continue to set flag bit RBIF. Reading PORTB will end the mismatch condition and allow flag bit RBIF to be cleared.

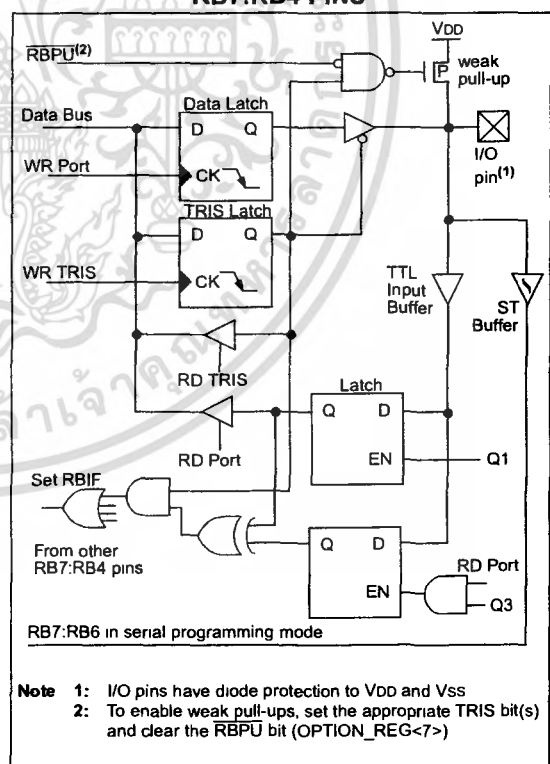
The interrupt on change feature is recommended for wake-up on key depression operation and operations where PORTB is only used for the interrupt on change feature. Polling of PORTB is not recommended while using the interrupt on change feature.

This interrupt on mismatch feature, together with software configurable pull-ups on these four pins, allow easy interface to a keypad and make it possible for wake-up on key-depression. Refer to the Embedded Control Handbook, "Implementing Wake-Up on Key Stroke" (AN552).

RB0/INT is an external interrupt input pin and is configured using the INTEDG bit (OPTION\_REG<6>).

RB0/INT is discussed in detail in Section 12.10.1.

**FIGURE 3-4: BLOCK DIAGRAM OF RB7:RB4 PINS**



**Note:** When using Low Voltage ICSP Programming (LVP) and the pull-ups on PORTB are enabled, bit 3 in the TRISB register must be cleared to disable the pull-up on RB3 and ensure the proper operation of the device.

# PIC16F87X

**TABLE 3-3: PORTB FUNCTIONS**

Name	Bit#	Buffer	Function
RB0/INT	bit0	TTL/ST <sup>(1)</sup>	Input/output pin or external interrupt input. Internal software programmable weak pull-up.
RB1	bit1	TTL	Input/output pin. Internal software programmable weak pull-up.
RB2	bit2	TTL	Input/output pin. Internal software programmable weak pull-up.
RB3/PGM	bit3	TTL	Input/output pin or programming pin in LVP mode. Internal software programmable weak pull-up.
RB4	bit4	TTL	Input/output pin (with interrupt on change). Internal software programmable weak pull-up.
RB5	bit5	TTL	Input/output pin (with interrupt on change). Internal software programmable weak pull-up.
RB6/PGC	bit6	TTL/ST <sup>(2)</sup>	Input/output pin (with interrupt on change) or In-Circuit Debugger pin. Internal software programmable weak pull-up. Serial programming clock.
RB7/PGD	bit7	TTL/ST <sup>(2)</sup>	Input/output pin (with interrupt on change) or In-Circuit Debugger pin. Internal software programmable weak pull-up. Serial programming data.

Legend: TTL = TTL input, ST = Schmitt Trigger input

**Note 1:** This buffer is a Schmitt Trigger input when configured as the external interrupt.

**2:** This buffer is a Schmitt Trigger input when used in serial programming mode.

**TABLE 3-4: SUMMARY OF REGISTERS ASSOCIATED WITH PORTB**

Address	Name	Bit 7	Bit 6	Bit 5	Bit 4	Bit 3	Bit 2	Bit 1	Bit 0	Value on: POR, BOR	Value on all other resets
06h, 106h	PORTB	RB7	RB6	RB5	RB4	RB3	RB2	RB1	RB0	xxxx xxxx	nnnn nnnn
86h, 186h	TRISB	PORTB Data Direction Register								1111 1111	1111 1111
81h, 181h	OPTION_REG	RBPU	INTEDG	T0CS	T0SE	PSA	PS2	PS1	PS0	1111 1111	1111 1111

Legend: x = unknown, u = unchanged. Shaded cells are not used by PORTB.

### 3.3 PORTC and the TRISC Register

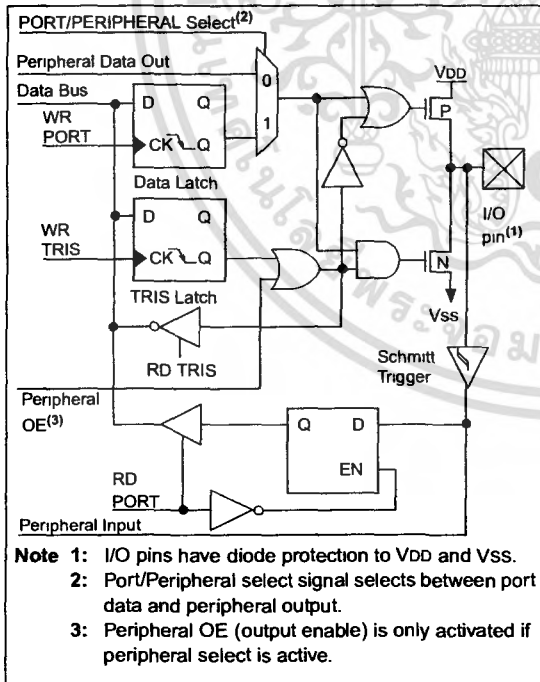
PORTC is an 8-bit wide, bi-directional port. The corresponding data direction register is TRISC. Setting a TRISC bit (=1) will make the corresponding PORTC pin an input (i.e., put the corresponding output driver in a hi-impedance mode). Clearing a TRISC bit (=0) will make the corresponding PORTC pin an output (i.e., put the contents of the output latch on the selected pin).

PORTC is multiplexed with several peripheral functions (Table 3-5). PORTC pins have Schmitt Trigger input buffers.

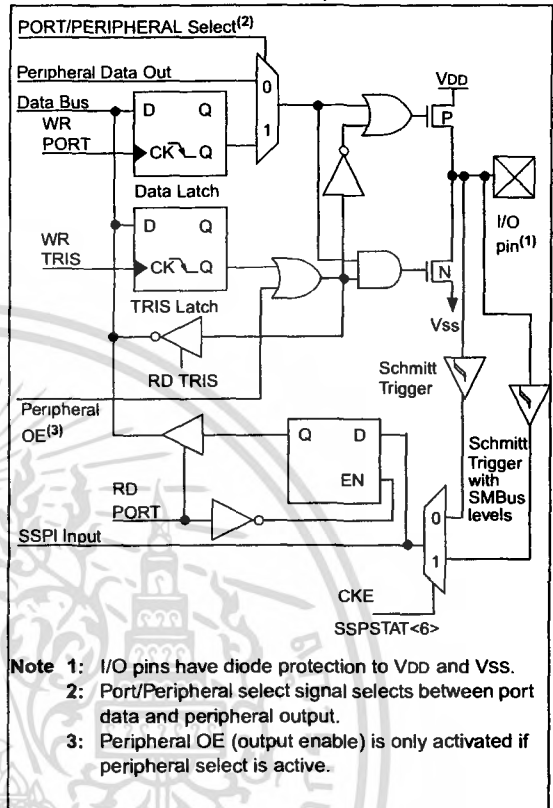
When the I<sup>2</sup>C module is enabled, the PORTC (3:4) pins can be configured with normal I<sup>2</sup>C levels or with SMBUS levels by using the CKE bit (SSPSTAT <6>).

When enabling peripheral functions, care should be taken in defining TRIS bits for each PORTC pin. Some peripherals override the TRIS bit to make a pin an output, while other peripherals override the TRIS bit to make a pin an input. Since the TRIS bit override is in effect while the peripheral is enabled, read-modify-write instructions (BSF, BCF, XORWF) with TRISC as destination should be avoided. The user should refer to the corresponding peripheral section for the correct TRIS bit settings.

**FIGURE 3-5: PORTC BLOCK DIAGRAM (PERIPHERAL OUTPUT OVERRIDE) RC<0:2> RC<5:7>**



**FIGURE 3-6: PORTC BLOCK DIAGRAM (PERIPHERAL OUTPUT OVERRIDE) RC<3:4>**



# PIC16F87X

**TABLE 3-5: PORTC FUNCTIONS**

Name	Bit#	Buffer Type	Function
RC0/T1OSO/T1CKI	bit0	ST	Input/output port pin or Timer1 oscillator output/Timer1 clock input
RC1/T1OSI/CCP2	bit1	ST	Input/output port pin or Timer1 oscillator input or Capture2 input/Compare2 output/PWM2 output
RC2/CCP1	bit2	ST	Input/output port pin or Capture1 input/Compare1 output/PWM1 output
RC3/SCK/SCL	bit3	ST	RC3 can also be the synchronous serial clock for both SPI and I <sup>2</sup> C modes.
RC4/SDI/SDA	bit4	ST	RC4 can also be the SPI Data In (SPI mode) or data I/O (I <sup>2</sup> C mode).
RC5/SDO	bit5	ST	Input/output port pin or Synchronous Serial Port data output
RC6/TX/CK	bit6	ST	Input/output port pin or USART Asynchronous Transmit or Synchronous Clock
RC7/RX/DT	bit7	ST	Input/output port pin or USART Asynchronous Receive or Synchronous Data

Legend: ST = Schmitt Trigger input

**TABLE 3-6: SUMMARY OF REGISTERS ASSOCIATED WITH PORTC**

Address	Name	Bit 7	Bit 6	Bit 5	Bit 4	Bit 3	Bit 2	Bit 1	Bit 0	Value on: POR, BOR	Value on all other resets
07h	PORTC	RC7	RC6	RC5	RC4	RC3	RC2	RC1	RC0	xxxx xxxx	nnnn nnnn
87h	TRISC	PORTC Data Direction Register								1111 1111	1111 1111

Legend: x = unknown, u = unchanged.

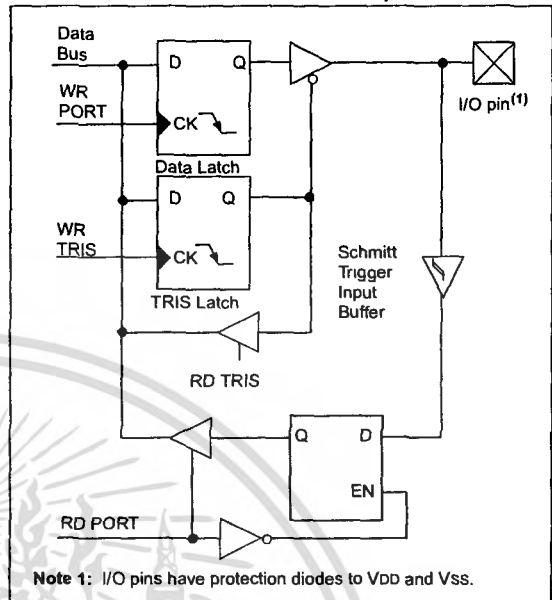
### 3.4 PORTD and TRISD Registers

This section is not applicable to the PIC16F873 or PIC16F876.

PORTD is an 8-bit port with Schmitt Trigger input buffers. Each pin is individually configurable as an input or output.

PORTD can be configured as an 8-bit wide microprocessor port (parallel slave port) by setting control bit PSPMODE (TRISE<4>). In this mode, the input buffers are TTL.

**FIGURE 3-7: PORTD BLOCK DIAGRAM (IN I/O PORT MODE)**



**TABLE 3-7: PORTD FUNCTIONS**

Name	Bit#	Buffer Type	Function
RD0/PSP0	bit0	ST/TTL <sup>(1)</sup>	Input/output port pin or parallel slave port bit0
RD1/PSP1	bit1	ST/TTL <sup>(1)</sup>	Input/output port pin or parallel slave port bit1
RD2/PSP2	bit2	ST/TTL <sup>(1)</sup>	Input/output port pin or parallel slave port bit2
RD3/PSP3	bit3	ST/TTL <sup>(1)</sup>	Input/output port pin or parallel slave port bit3
RD4/PSP4	bit4	ST/TTL <sup>(1)</sup>	Input/output port pin or parallel slave port bit4
RD5/PSP5	bit5	ST/TTL <sup>(1)</sup>	Input/output port pin or parallel slave port bit5
RD6/PSP6	bit6	ST/TTL <sup>(1)</sup>	Input/output port pin or parallel slave port bit6
RD7/PSP7	bit7	ST/TTL <sup>(1)</sup>	Input/output port pin or parallel slave port bit7

Legend: ST = Schmitt Trigger input TTL = TTL input

Note 1: Input buffers are Schmitt Triggers when in I/O mode and TTL buffer when in Parallel Slave Port Mode.

**TABLE 3-8: SUMMARY OF REGISTERS ASSOCIATED WITH PORTD**

Address	Name	Bit 7	Bit 6	Bit 5	Bit 4	Bit 3	Bit 2	Bit 1	Bit 0	Value on: POR, BOR	Value on all other resets
08h	PORTD	RD7	RD6	RD5	RD4	RD3	RD2	RD1	RD0	xxxx xxxx	nnnn nnnn
88h	TRISD	PORTD Data Direction Register								1111 1111	1111 1111
89h	TRISE	IBF	OBF	IBOV	PSPMODE	—	PORTE Data Direction Bits			0000 -111	0000 -111

Legend: x = unknown, u = unchanged, - = unimplemented read as '0'. Shaded cells are not used by PORTD.

# LM555/NE555/SA555

## Single Timer

### Features

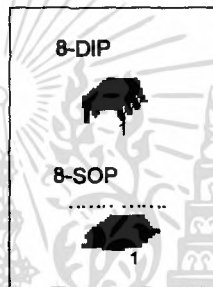
- High Current Drive Capability (200mA)
- Adjustable Duty Cycle
- Temperature Stability of 0.005%/°C
- Timing From  $\mu\text{Sec}$  to Hours
- Turn off Time Less Than  $2\mu\text{Sec}$

### Description

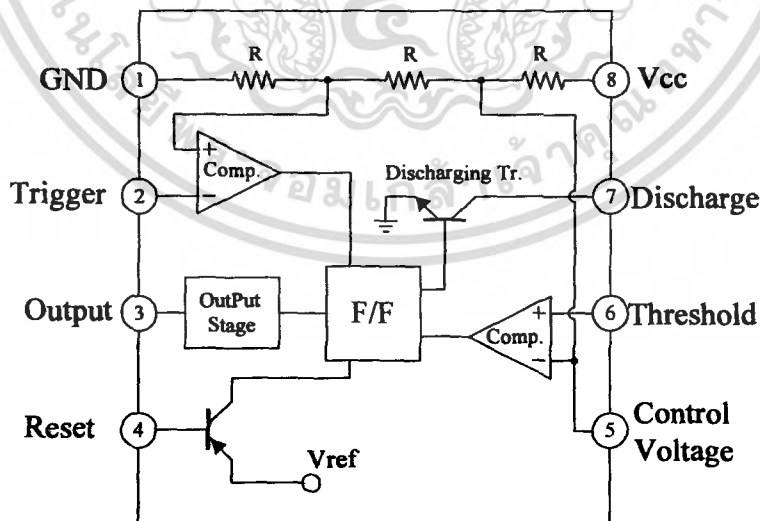
The LM555/NE555/SA555 is a highly stable controller capable of producing accurate timing pulses. With a monostable operation, the time delay is controlled by one external resistor and one capacitor. With an astable operation, the frequency and duty cycle are accurately controlled by two external resistors and one capacitor.

### Applications

- Precision Timing
- Pulse Generation
- Time Delay Generation
- Sequential Timing



### Internal Block Diagram



Rev. 1.0.3

**Absolute Maximum Ratings (TA = 25°C)**

Parameter	Symbol	Value	Unit
Supply Voltage	VCC	16	V
Lead Temperature (Soldering 10sec)	TLEAD	300	°C
Power Dissipation	Pd	600	mW
Operating Temperature Range LM555/NE555 SA555	TOPR	0 ~ +70 -40 ~ +85	°C
Storage Temperature Range	TSTG	-65 ~ +150	°C



## Electrical Characteristics

( $T_A = 25^\circ\text{C}$ ,  $V_{CC} = 5 \sim 15\text{V}$ , unless otherwise specified)

Parameter	Symbol	Conditions	Min.	Typ.	Max.	Unit
Supply Voltage	$V_{CC}$	-	4.5	-	16	V
Supply Current (Low Stable) (Note1)	$I_{CC}$	$V_{CC} = 5\text{V}$ , $R_L = \infty$	-	3	6	mA
		$V_{CC} = 15\text{V}$ , $R_L = \infty$	-	7.5	15	mA
Timing Error (Monostable) Initial Accuracy (Note2) Drift with Temperature (Note4) Drift with Supply Voltage (Note4)	ACCUR $\Delta t/\Delta T$ $\Delta t/\Delta V_{CC}$	$R_A = 1\text{k}\Omega$ to $100\text{k}\Omega$ $C = 0.1\mu\text{F}$	-	1.0 50 0.1	3.0 - 0.5	% ppm/ $^\circ\text{C}$ %/V
Timing Error (Astable) Initial Accuracy (Note2) Drift with Temperature (Note4) Drift with Supply Voltage (Note4)	ACCUR $\Delta t/\Delta T$ $\Delta t/\Delta V_{CC}$	$R_A = 1\text{k}\Omega$ to $100\text{k}\Omega$ $C = 0.1\mu\text{F}$	-	2.25 150 0.3	-	% ppm/ $^\circ\text{C}$ %/V
Control Voltage	$V_C$	$V_{CC} = 15\text{V}$	9.0	10.0	11.0	V
		$V_{CC} = 5\text{V}$	2.6	3.33	4.0	V
Threshold Voltage	$V_{TH}$	$V_{CC} = 15\text{V}$	-	10.0	-	V
		$V_{CC} = 5\text{V}$	-	3.33	-	V
Threshold Current (Note3)	$I_{TH}$	-	-	0.1	0.25	$\mu\text{A}$
Trigger Voltage	$V_{TR}$	$V_{CC} = 5\text{V}$	1.1	1.67	2.2	V
		$V_{CC} = 15\text{V}$	4.5	5	5.6	V
Trigger Current	$I_{TR}$	$V_{TR} = 0\text{V}$	-	0.01	2.0	$\mu\text{A}$
Reset Voltage	$V_{RST}$	-	0.4	0.7	1.0	V
Reset Current	$I_{RST}$	-	-	0.1	0.4	mA
Low Output Voltage	$V_{OL}$	$V_{CC} = 15\text{V}$ $I_{SINK} = 10\text{mA}$ $I_{SINK} = 50\text{mA}$	-	0.06 0.3	0.25 0.75	V V
		$V_{CC} = 5\text{V}$ $I_{SINK} = 5\text{mA}$	-	0.05	0.35	V
High Output Voltage	$V_{OH}$	$V_{CC} = 15\text{V}$ $I_{SOURCE} = 200\text{mA}$ $I_{SOURCE} = 100\text{mA}$	12.75	12.5 13.3	-	V V
		$V_{CC} = 5\text{V}$ $I_{SOURCE} = 100\text{mA}$	2.75	3.3	-	V
Rise Time of Output (Note4)	$t_R$	-	-	100	-	ns
Fall Time of Output (Note4)	$t_F$	-	-	100	-	ns
Discharge Leakage Current	$I_{LKG}$	-	-	20	100	nA

### Notes:

- When the output is high, the supply current is typically 1mA less than at  $V_{CC} = 5\text{V}$ .
- Tested at  $V_{CC} = 5.0\text{V}$  and  $V_{CC} = 15\text{V}$ .
- This will determine the maximum value of  $R_A + R_B$  for 15V operation, the max. total  $R = 20\text{M}\Omega$ , and for 5V operation, the max. total  $R = 6.7\text{M}\Omega$ .
- These parameters, although guaranteed, are not 100% tested in production.

## Application Information

Table 1 below is the basic operating table of 555 timer:

Table 1. Basic Operating Table

Threshold Voltage (V <sub>th</sub> )(PIN 6)	Trigger Voltage (V <sub>tr</sub> )(PIN 2)	Reset(PIN 4)	Output(PIN 3)	Discharging Tr. (PIN 7)
Don't care	Don't care	Low	Low	ON
V <sub>th</sub> > 2V <sub>cc</sub> / 3	V <sub>th</sub> > 2V <sub>cc</sub> / 3	High	Low	ON
V <sub>cc</sub> / 3 < V <sub>th</sub> < 2 V <sub>cc</sub> / 3	V <sub>cc</sub> / 3 < V <sub>th</sub> < 2 V <sub>cc</sub> / 3	High	-	-
V <sub>th</sub> < V <sub>cc</sub> / 3	V <sub>th</sub> < V <sub>cc</sub> / 3	High	High	OFF

When the low signal input is applied to the reset terminal, the timer output remains low regardless of the threshold voltage or the trigger voltage. Only when the high signal is applied to the reset terminal, the timer's output changes according to threshold voltage and trigger voltage.

When the threshold voltage exceeds 2/3 of the supply voltage while the timer output is high, the timer's internal discharge Tr. turns on, lowering the threshold voltage to below 1/3 of the supply voltage. During this time, the timer output is maintained low. Later, if a low signal is applied to the trigger voltage so that it becomes 1/3 of the supply voltage, the timer's internal discharge Tr. turns off, increasing the threshold voltage and driving the timer output again at high.

### 1. Monostable Operation

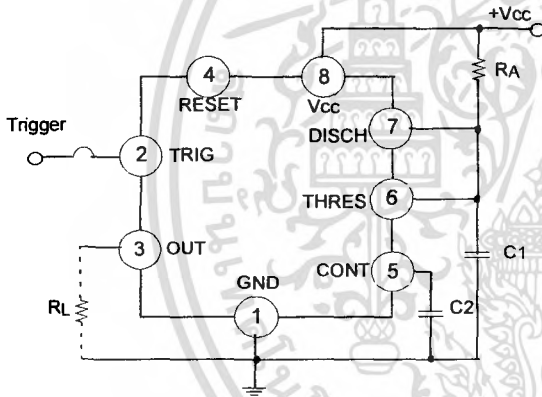


Figure 1. Monoatable Circuit

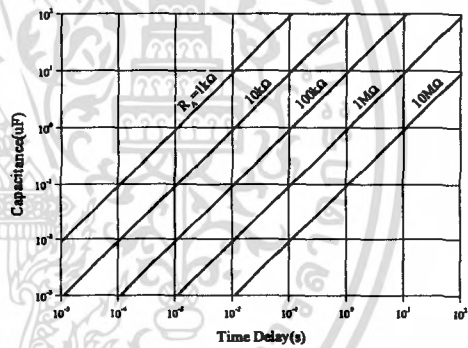


Figure 2. Resistance and Capacitance vs. Time delay(t<sub>d</sub>)

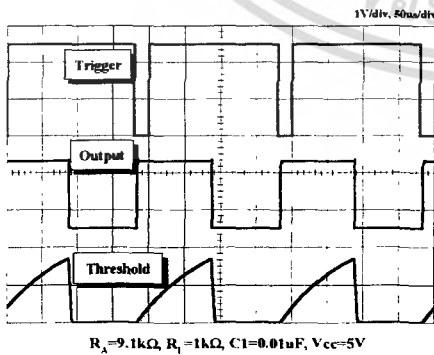


Figure 3. Waveforms of Monostable Operation

Figure 1 illustrates a monostable circuit. In this mode, the timer generates a fixed pulse whenever the trigger voltage falls below  $V_{cc}/3$ . When the trigger pulse voltage applied to the #2 pin falls below  $V_{cc}/3$  while the timer output is low, the timer's internal flip-flop turns the discharging Tr. off and causes the timer output to become high by charging the external capacitor C1 and setting the flip-flop output at the same time.

The voltage across the external capacitor C1,  $V_{C1}$  increases exponentially with the time constant  $t = R_A * C$  and reaches  $2V_{cc}/3$  at  $t_d = 1.1R_A * C$ . Hence, capacitor C1 is charged through resistor  $R_A$ . The greater the time constant  $R_A C$ , the longer it takes for the  $V_{C1}$  to reach  $2V_{cc}/3$ . In other words, the time constant  $R_A C$  controls the output pulse width.

When the applied voltage to the capacitor C1 reaches  $2V_{cc}/3$ , the comparator on the trigger terminal resets the flip-flop, turning the discharging Tr. on. At this time, C1 begins to discharge and the timer output converts to low.

In this way, the timer operating in the monostable repeats the above process. Figure 2 shows the time constant relationship based on  $R_A$  and C. Figure 3 shows the general waveforms during the monostable operation.

It must be noted that, for a normal operation, the trigger pulse voltage needs to maintain a minimum of  $V_{cc}/3$  before the timer output turns low. That is, although the output remains unaffected even if a different trigger pulse is applied while the output is high, it may be affected and the waveform does not operate properly if the trigger pulse voltage at the end of the output pulse remains at below  $V_{cc}/3$ . Figure 4 shows such a timer output abnormality.

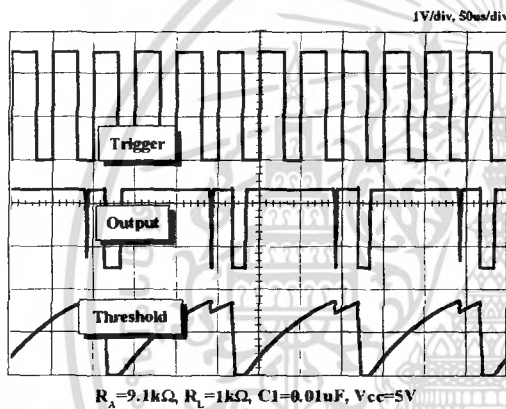


Figure 4. Waveforms of Monostable Operation (abnormal)

2. Astable Operation

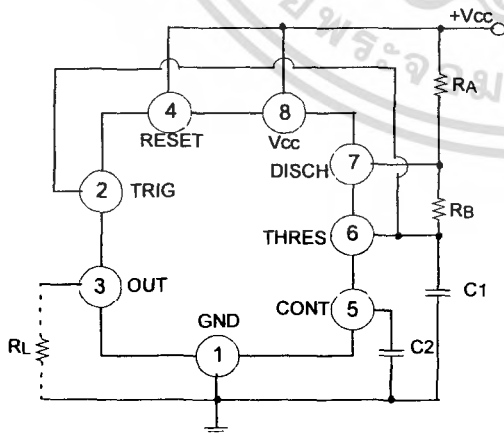


Figure 5. Astable Circuit

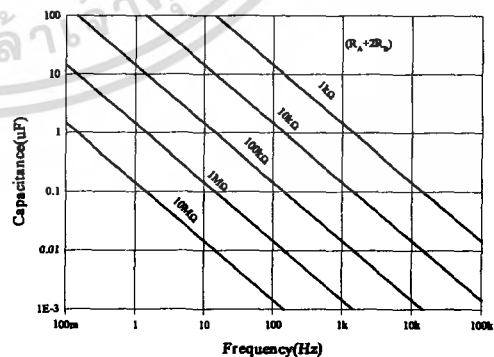


Figure 6. Capacitance and Resistance vs. Frequency

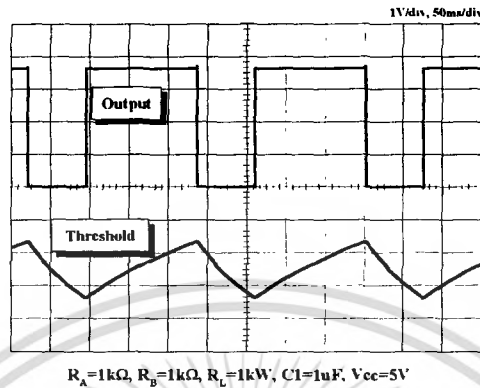
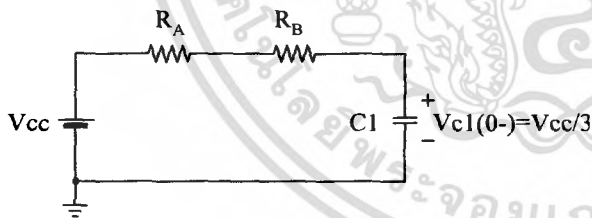


Figure 7. Waveforms of Astable Operation

An astable timer operation is achieved by adding resistor  $R_B$  to Figure 1 and configuring as shown on Figure 5. In the astable operation, the trigger terminal and the threshold terminal are connected so that a self-trigger is formed, operating as a multi vibrator. When the timer output is high, its internal discharging  $Tr$  turns off and the  $V_{C1}$  increases by exponential function with the time constant  $(R_A+R_B)*C$ .

When the  $V_{C1}$ , or the threshold voltage, reaches  $2V_{CC}/3$ , the comparator output on the trigger terminal becomes high, resetting the F/F and causing the timer output to become low. This in turn turns on the discharging  $Tr$  and the  $C1$  discharges through the discharging channel formed by  $R_B$  and the discharging  $Tr$ . When the  $V_{C1}$  falls below  $V_{CC}/3$ , the comparator output on the trigger terminal becomes high and the timer output becomes high again. The discharging  $Tr$  turns off and the  $V_{C1}$  rises again.

In the above process, the section where the timer output is high is the time it takes for the  $V_{C1}$  to rise from  $V_{CC}/3$  to  $2V_{CC}/3$ , and the section where the timer output is low is the time it takes for the  $V_{C1}$  to drop from  $2V_{CC}/3$  to  $V_{CC}/3$ . When timer output is high, the equivalent circuit for charging capacitor  $C1$  is as follows:



$$C_1 \frac{dv_{c1}}{dt} = \frac{V_{CC} - V(0-)}{R_A + R_B} \quad (1)$$

$$V_{C1}(0+) = V_{CC}/3 \quad (2)$$

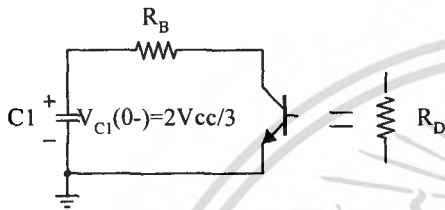
$$V_{C1}(t) = V_{CC} \left( 1 - \frac{2}{3} e^{-\left(\frac{t}{(R_A+R_B)C_1}\right)} \right) \quad (3)$$

Since the duration of the timer output high state( $t_H$ ) is the amount of time it takes for the  $V_{C1}(t)$  to reach  $2V_{CC}/3$ ,

$$V_{C1}(t) = \frac{2}{3}V_{CC} = V_{CC} \left( 1 - \frac{2}{3} e^{-\left(\frac{t_H}{(R_A + R_B)C_1}\right)} \right) \quad (4)$$

$$t_H = C_1(R_A + R_B)\ln 2 = 0.693(R_A + R_B)C_1 \quad (5)$$

The equivalent circuit for discharging capacitor C1, when timer output is low is, as follows:



$$C_1 \frac{dv_{C1}}{dt} + \frac{1}{R_A + R_B} V_{C1} = 0 \quad (6)$$

$$V_{C1}(t) = \frac{2}{3}V_{CC} e^{-\frac{t}{(R_A + R_D)C_1}} \quad (7)$$

Since the duration of the timer output low state ( $t_L$ ) is the amount of time it takes for the  $V_{C1}(t)$  to reach  $V_{CC}/3$ ,

$$\frac{1}{3}V_{CC} = \frac{2}{3}V_{CC} e^{-\frac{t_L}{(R_A + R_D)C_1}} \quad (8)$$

$$t_L = C_1(R_B + R_D)\ln 2 = 0.693(R_B + R_D)C_1 \quad (9)$$

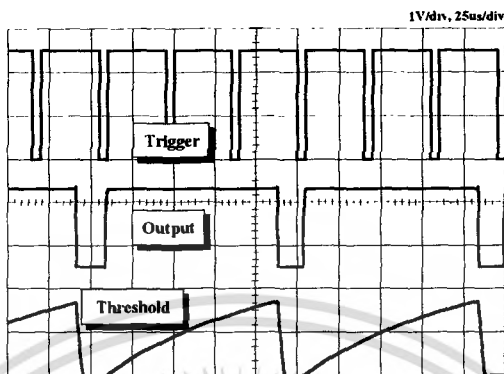
Since  $R_D$  is normally  $R_B \gg R_D$  although related to the size of discharging  $T_r$ ,  
 $t_L = 0.693R_B C_1$  (10)

Consequently, if the timer operates in astable, the period is the same with ' $T = t_H + t_L = 0.693(R_A + R_B)C_1 + 0.693R_B C_1 = 0.693(R_A + 2R_B)C_1$ ' because the period is the sum of the charge time and discharge time. And since frequency is the reciprocal of the period, the following applies.

$$\text{frequency, } f = \frac{1}{T} = \frac{1.44}{(R_A + 2R_B)C_1} \quad (11)$$

### 3. Frequency divider

By adjusting the length of the timing cycle, the basic circuit of Figure 1 can be made to operate as a frequency divider. Figure 8. illustrates a divide-by-three circuit that makes use of the fact that retriggering cannot occur during the timing cycle.



$R_A=9.1k\Omega, R_L=1k\Omega, C1=0.01\mu F, V_{cc}=5V$

Figure 8. Waveforms of Frequency Divider Operation

#### 4. Pulse Width Modulation

The timer output waveform may be changed by modulating the control voltage applied to the timer's pin 5 and changing the reference of the timer's internal comparators. Figure 9 illustrates the pulse width modulation circuit. When the continuous trigger pulse train is applied in the monostable mode, the timer output width is modulated according to the signal applied to the control terminal. Sine wave as well as other waveforms may be applied as a signal to the control terminal. Figure 10 shows the example of pulse width modulation waveform.

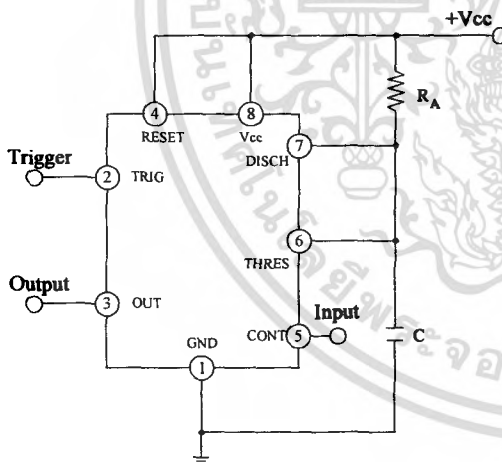
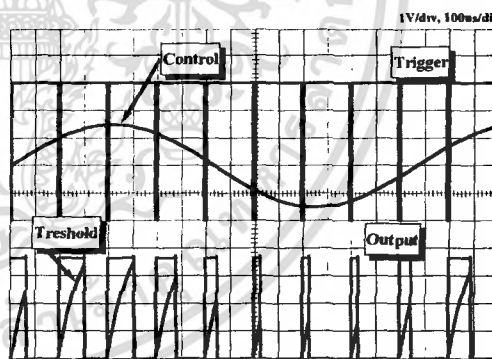


Figure 9. Circuit for Pulse Width Modulation



$R_A=9.1k\Omega, R_L=1k\Omega, C1=0.01\mu F, V_{cc}=5V$

Figure 10. Waveforms of Pulse Width Modulation

#### 5. Pulse Position Modulation

If the modulating signal is applied to the control terminal while the timer is connected for the astable operation as in Figure 11, the timer becomes a pulse position modulator.

In the pulse position modulator, the reference of the timer's internal comparators is modulated which in turn modulates the timer output according to the modulation signal applied to the control terminal.

Figure 12 illustrates a sine wave for modulation signal and the resulting output pulse position modulation : however, any wave shape could be used.

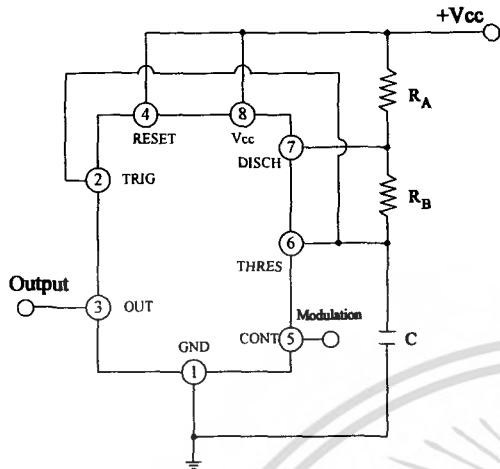


Figure 11. Circuit for Pulse Position Modulation

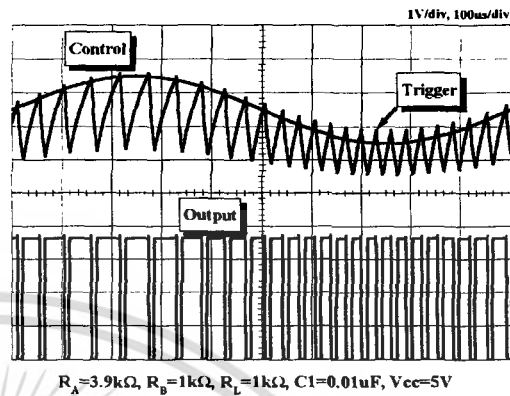


Figure 12. Waveforms of pulse position modulation

### 6. Linear Ramp

When the pull-up resistor RA in the monostable circuit shown in Figure 1 is replaced with constant current source, the VC1 increases linearly, generating a linear ramp. Figure 13 shows the linear ramp generating circuit and Figure 14 illustrates the generated linear ramp waveforms.

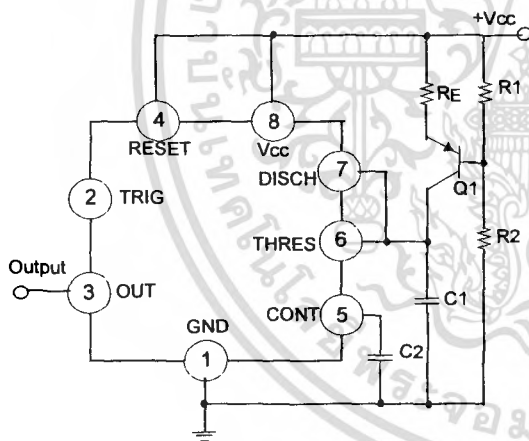


Figure 13. Circuit for Linear Ramp

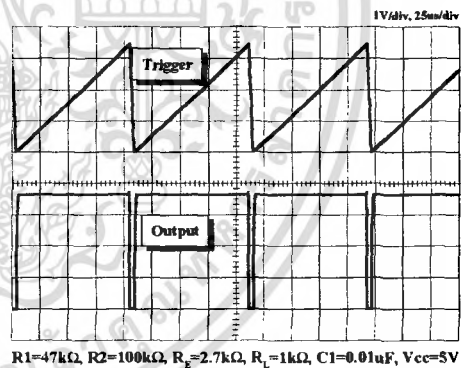


Figure 14. Waveforms of Linear Ramp

In Figure 13, current source is created by PNP transistor Q1 and resistor R1, R2, and RE.

$$I_C = \frac{V_{CC} - V_E}{R_E} \quad (12)$$

Here,  $V_E$  is

$$V_E = V_{BE} + \frac{R_2}{R_1 + R_2} V_{CC} \quad (13)$$

For example, if  $V_{CC}=15V$ ,  $R_E=20k\Omega$ ,  $R_1=5k\Omega$ ,  $R_2=10k\Omega$ , and  $V_{BE}=0.7V$ ,  
 $V_E=0.7V + 10V=10.7V$   
 $I_C=(15-10.7)/20k=0.215mA$

When the trigger starts in a timer configured as shown in Figure 13, the current flowing through capacitor C1 becomes a constant current generated by PNP transistor and resistors.

Hence, the  $V_C$  is a linear ramp function as shown in Figure 14. The gradient  $S$  of the linear ramp function is defined as follows:

$$S = \frac{V_{p-p}}{T} \quad (14)$$

Here the  $V_{p-p}$  is the peak-to-peak voltage.

If the electric charge amount accumulated in the capacitor is divided by the capacitance, the  $V_C$  comes out as follows:

$$V=Q/C \quad (15)$$

The above equation divided on both sides by  $T$  gives us

$$\frac{V}{T} = \frac{Q/T}{C} \quad (16)$$

and may be simplified into the following equation.

$$S=I/C \quad (17)$$

In other words, the gradient of the linear ramp function appearing across the capacitor can be obtained by using the constant current flowing through the capacitor.

If the constant current flow through the capacitor is  $0.215\text{mA}$  and the capacitance is  $0.02\mu\text{F}$ , the gradient of the ramp function at both ends of the capacitor is  $S = 0.215\text{m}/0.022\mu = 9.77\text{V/ms}$ .



# Octal High Voltage, High Current Darlington Transistor Arrays

The eight NPN Darlington connected transistors in this family of arrays are ideally suited for interfacing between low logic level digital circuitry (such as TTL, CMOS or PMOS/NMOS) and the higher current/voltage requirements of lamps, relays, printer hammers or other similar loads for a broad range of computer, industrial, and consumer applications. All devices feature open-collector outputs and free wheeling clamp diodes for transient suppression.

The ULN2803 is designed to be compatible with standard TTL families while the ULN2804 is optimized for 6 to 15 volt high level CMOS or PMOS.

## ULN2803 ULN2804

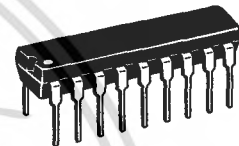
### OCTAL PERIPHERAL DRIVER ARRAYS

#### SEMICONDUCTOR TECHNICAL DATA

**MAXIMUM RATINGS** ( $T_A = 25^\circ\text{C}$  and rating apply to any one device in the package, unless otherwise noted.)

Rating	Symbol	Value	Unit
Output Voltage	$V_O$	50	V
Input Voltage (Except ULN2801)	$V_I$	30	V
Collector Current – Continuous	$I_C$	500	mA
Base Current – Continuous	$I_B$	25	mA
Operating Ambient Temperature Range	$T_A$	0 to +70	$^\circ\text{C}$
Storage Temperature Range	$T_{stg}$	-55 to +150	$^\circ\text{C}$
Junction Temperature	$T_J$	125	$^\circ\text{C}$

$R_{\theta JA} = 55^\circ\text{C/W}$   
Do not exceed maximum current limit per driver

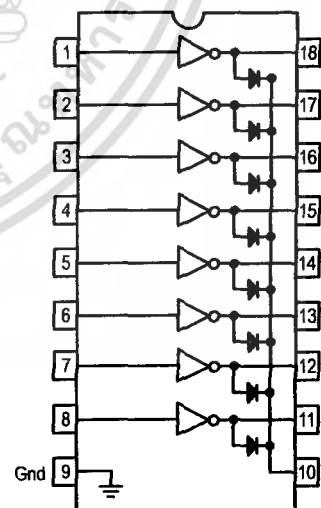


**A SUFFIX**  
PLASTIC PACKAGE  
CASE 707

#### ORDERING INFORMATION

Device	Characteristics		
	Input Compatibility	$V_{CE}(\text{Max})/I_C(\text{Max})$	Operating Temperature Range
ULN2803A	TTL, 5.0 V CMOS	50 V/500 mA	$T_A = 0 \text{ to } +70^\circ\text{C}$
ULN2804A	6 to 15 V CMOS, PMOS		

#### PIN CONNECTIONS



## ULN2803 ULN2804

### ELECTRICAL CHARACTERISTICS ( $T_A = 25^\circ\text{C}$ , unless otherwise noted)

Characteristic		Symbol	Min	Typ	Max	Unit
Output Leakage Current (Figure 1) ( $V_O = 50\text{ V}$ , $T_A = +70^\circ\text{C}$ ) ( $V_O = 50\text{ V}$ , $T_A = +25^\circ\text{C}$ ) ( $V_O = 50\text{ V}$ , $T_A = +70^\circ\text{C}$ , $V_I = 6.0\text{ V}$ ) ( $V_O = 50\text{ V}$ , $T_A = +70^\circ\text{C}$ , $V_I = 1.0\text{ V}$ )	All Types All Types ULN2802 ULN2804	$I_{CEX}$	-	-	100 50 500 500	$\mu\text{A}$
Collector-Emitter Saturation Voltage (Figure 2) ( $I_C = 350\text{ mA}$ , $I_B = 500\text{ }\mu\text{A}$ ) ( $I_C = 200\text{ mA}$ , $I_B = 350\text{ }\mu\text{A}$ ) ( $I_C = 100\text{ mA}$ , $I_B = 250\text{ }\mu\text{A}$ )	All Types All Types All Types	$V_{CE(sat)}$	-	1.1 0.95 0.85	1.6 1.3 1.1	V
Input Current – On Condition (Figure 4) ( $V_I = 17\text{ V}$ ) ( $V_I = 3.85\text{ V}$ ) ( $V_I = 5.0\text{ V}$ ) ( $V_I = 12\text{ V}$ )	ULN2802 ULN2803 ULN2804 ULN2804	$I_{I(on)}$	-	0.82 0.93 0.35 1.0	1.25 1.35 0.5 1.45	mA
Input Voltage – On Condition (Figure 5) ( $V_{CE} = 2.0\text{ V}$ , $I_C = 300\text{ mA}$ ) ( $V_{CE} = 2.0\text{ V}$ , $I_C = 200\text{ mA}$ ) ( $V_{CE} = 2.0\text{ V}$ , $I_C = 250\text{ mA}$ ) ( $V_{CE} = 2.0\text{ V}$ , $I_C = 300\text{ mA}$ ) ( $V_{CE} = 2.0\text{ V}$ , $I_C = 125\text{ mA}$ ) ( $V_{CE} = 2.0\text{ V}$ , $I_C = 200\text{ mA}$ ) ( $V_{CE} = 2.0\text{ V}$ , $I_C = 275\text{ mA}$ ) ( $V_{CE} = 2.0\text{ V}$ , $I_C = 350\text{ mA}$ )	ULN2802 ULN2803 ULN2803 ULN2803 ULN2804 ULN2804 ULN2804 ULN2804	$V_{I(on)}$	-	-	13 2.4 2.7 3.0 5.0 6.0 7.0 8.0	V
Input Current – Off Condition (Figure 3) ( $I_C = 500\text{ }\mu\text{A}$ , $T_A = +70^\circ\text{C}$ )	All Types	$I_{I(off)}$	50	100	-	$\mu\text{A}$
DC Current Gain (Figure 2) ( $V_{CE} = 2.0\text{ V}$ , $I_C = 350\text{ mA}$ )	ULN2801	$h_{FE}$	1000	-	-	-
Input Capacitance		$C_I$	-	15	25	pF
Turn-On Delay Time (50% $E_I$ to 50% $E_O$ )		$t_{on}$	-	0.25	1.0	$\mu\text{s}$
Turn-Off Delay Time (50% $E_I$ to 50% $E_O$ )		$t_{off}$	-	0.25	1.0	$\mu\text{s}$
Clamp Diode Leakage Current (Figure 6) ( $V_R = 50\text{ V}$ )	$T_A = +25^\circ\text{C}$ $T_A = +70^\circ\text{C}$	$I_R$	-	-	50 100	$\mu\text{A}$
Clamp Diode Forward Voltage (Figure 7) ( $I_F = 350\text{ mA}$ )		$V_F$	-	1.5	2.0	V

# ULN2803 ULN2804

## TEST FIGURES

(See Figure Numbers in Electrical Characteristics Table)

Figure 1.

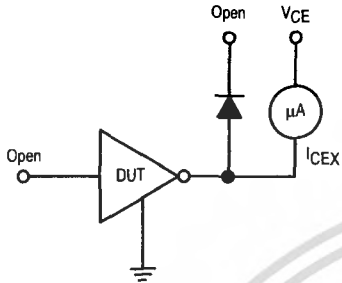


Figure 2.

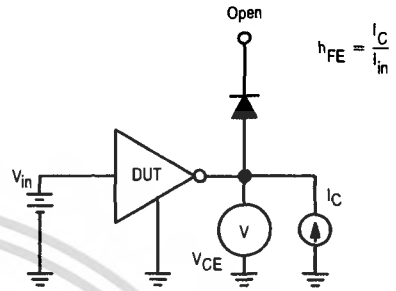


Figure 3.

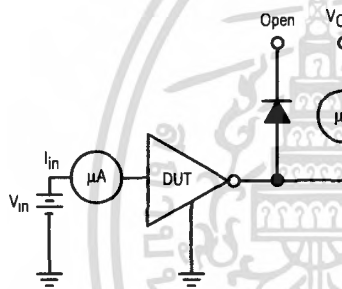


Figure 4.

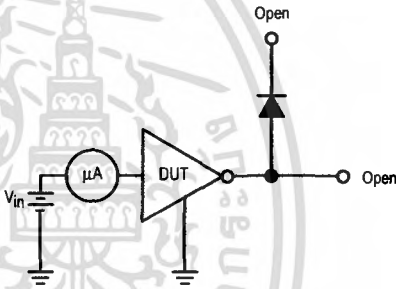


Figure 5.

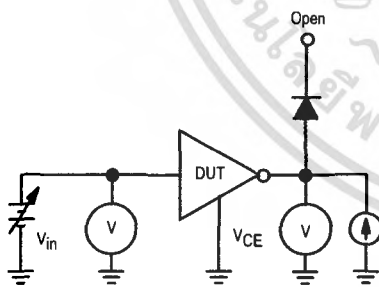


Figure 6.

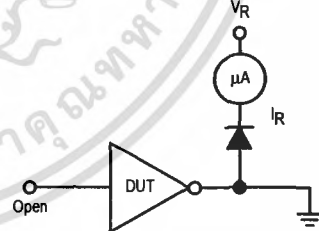
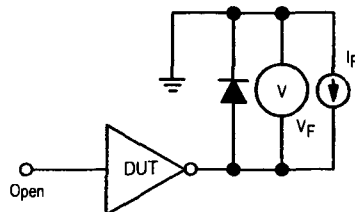


Figure 7.



# ULN2803 ULN2804

TYPICAL CHARACTERISTIC CURVES –  $T_A = 25^\circ\text{C}$ , unless otherwise noted  
Output Characteristics

Figure 8. Output Current versus Saturation Voltage

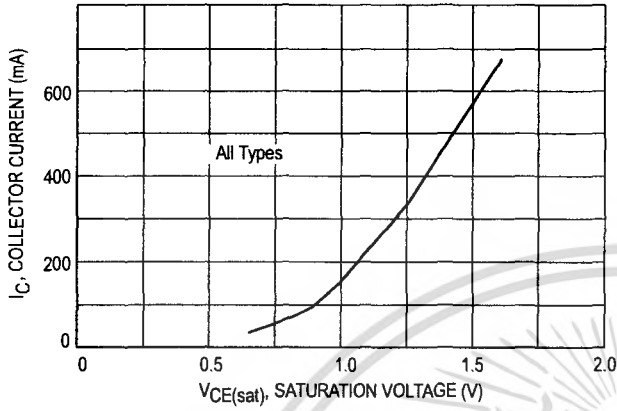
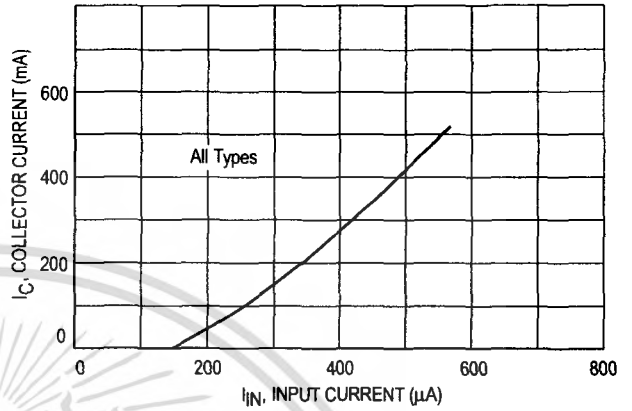


Figure 9. Output Current versus Input Current



## Input Characteristics

Figure 10. ULN2803 Input Current versus Input Voltage

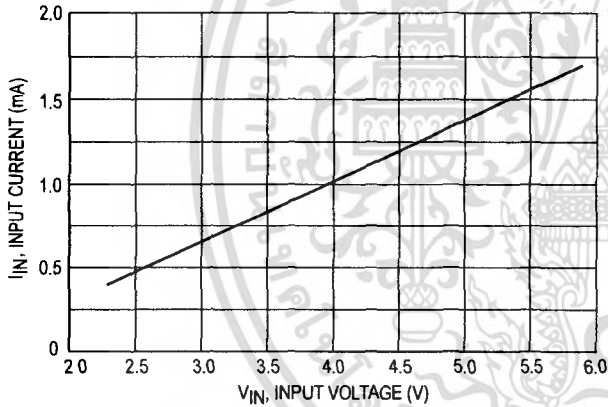


Figure 11. ULN2804 Input Current versus Input Voltage

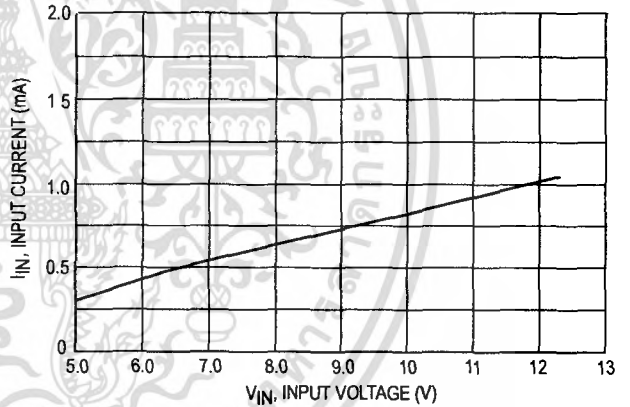
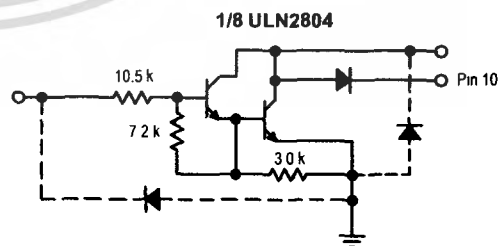
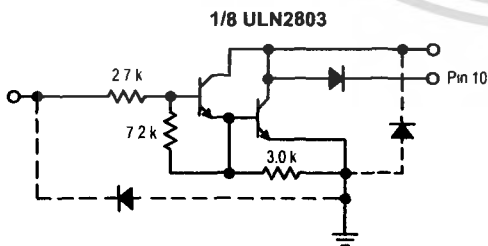


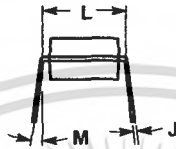
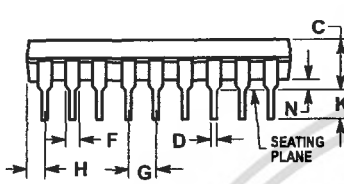
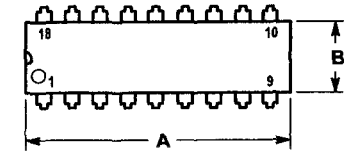
Figure 12. Representative Schematic Diagrams



# ULN2803 ULN2804

## OUTLINE DIMENSIONS

A SUFFIX  
PLASTIC PACKAGE  
CASE 707-02  
ISSUE C



NOTES.

1. POSITIONAL TOLERANCE OF LEADS (D), SHALL BE WITHIN 0.25 (0.010) AT MAXIMUM MATERIAL CONDITION, IN RELATION TO SEATING PLANE AND EACH OTHER
2. DIMENSION L TO CENTER OF LEADS WHEN FORMED PARALLEL.
3. DIMENSION B DOES NOT INCLUDE MOLD FLASH

DIM	MILLIMETERS		INCHES	
	MIN	MAX	MIN	MAX
A	22.22	23.24	0.875	0.915
B	6.10	6.60	0.240	0.260
C	3.56	4.57	0.140	0.180
D	0.36	0.58	0.014	0.022
F	1.27	1.78	0.050	0.070
G	2.54 BSC		0.100 BSC	
H	1.02	1.52	0.040	0.060
J	0.20	0.30	0.008	0.012
K	2.92	3.43	0.115	0.135
L	7.62 BSC		0.300 BSC	
M	0°		15°	
N	0.51	1.02	0.020	0.040

